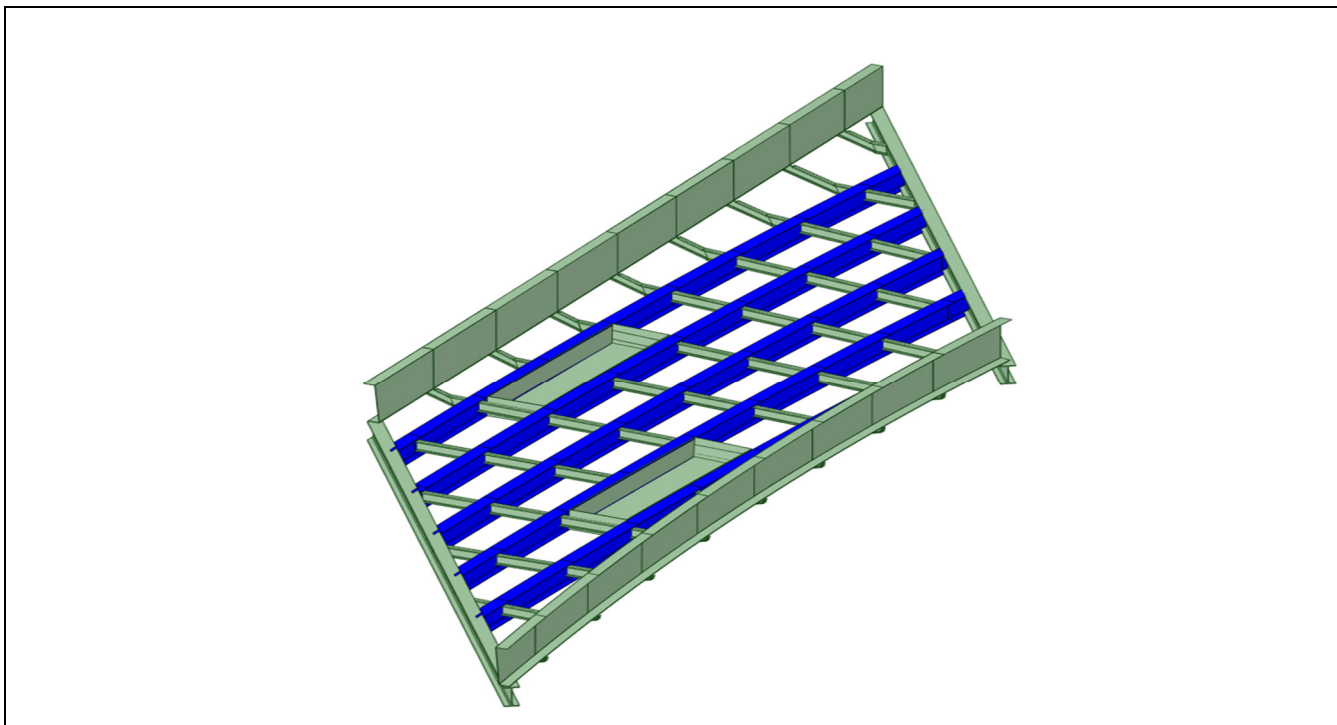




JOS VAN DEN
BERSSELAAR
c o n s t r u c t i e b v



ONDERDEEL : Statische berekening staalconstructie loopbrug in golfterrein te Cromvoirt

VERKOOPREGELNR. : M 02859-105

OPDRACHTGEVER : Golfclub Cromvoirt

ARCHITEKT : REDD

DOCUMENTNR. : M 02859-105-009

STATUS : **Goedkeuring**

C O N S T R U C T I E S I N S T A A L , R O E S T V R I J S T A A L E N A L U M I N I U M



ISO 9001



VCA**

Brabantsehoek 2 - 5071 NM Udenhout - 6097
Postbus 17 - 5070 AA Udenhout
Tel. 013 - 511 74 00 - Fax 013 - 511 74 50
E-mail adres: info@bersselaar.com
Internet: www.bersselaar.com

Rabobank rek.nr. 15.20.02.375
IBAN nr.: NL85RABO0152002375
SWIFTadres: RABONL2U
K.v.K. Tilburg nr. 18022840
BTW nummer NL 005138413B01



Op al onze opdrachten en overeenkomsten zijn uitsluitend de algemene verkoop-, leverings- en inkoopvoorwaarden van de Vereniging Samenwerkende Nederlandse Staalbouw van toepassing. Deze zijn gedeponeerd bij de arrondissementsrechtbank te Den Haag onder 9/2003. Een exemplaar hiervan zenden wij u op verzoek kosteloos toe. Wij wijzen de toepasselijkheid van uw algemene voorwaarden expliciet van de hand.

| | | |
|--|--|--|
|  Tel (0)10 - 482 68 50 www.pt-structural.com | Brug Golfbaan Cromvoirts Landgoed BV | Doc.nr. : 009 Rev.nr. : 0 Datum : 06-06-2017 |
| | Jos van den Bersselaar Constructie BV Statische berekening van de Golfbrugconstructie | Pagina : 2 |

Document geschiedenis

| Revisie | Auteur | Functie | Omschrijving | Datum |
|---------|-------------------|---------------------|-----------------|------------|
| 0 | D.J. van Gemerden | Structural Engineer | Ter goedkeuring | 06-06-2017 |
| | | | | |
| | | | | |
| | | | | |
| | | | | |

| | | |
|--|--|--|
|  Tel (0)10 - 482 68 50 www.pt-structural.com | Brug Golfbaan Cromvoirts Landgoed BV | Doc.nr. : 009 Rev.nr. : 0 Datum : 06-06-2017 |
| | Jos van den Bersselaar Constructie BV Statische berekening van de Golfbrugconstructie | Pagina : 3 |

Inhoud:

| | | |
|-------------|---|----|
| 1 | Algemene informatie..... | 4 |
| 2 | Referenties | 4 |
| 2.1 | Normen..... | 4 |
| 2.2 | Materiaal grootheden | 4 |
| 2.3 | Bijbehorende documenten | 4 |
| 2.3.1 | Tekeningen | 4 |
| 2.3.2 | Documenten..... | 4 |
| 3 | Beschrijving van het berekeningsmodel..... | 4 |
| 3.1 | Algemene informatie voor de berekening | 4 |
| 3.2 | Modellen..... | 6 |
| 4 | Belastingen..... | 6 |
| 4.1 | Belasting en materiaal factoren..... | 6 |
| 5 | Resultaten | 6 |
| 6 | Conclusies | 6 |
| Appendix A: | Algemene informatie en input voor de berekening. | 7 |
| Appendix B | Controle liggers | 8 |
| Appendix C | Computer uitvoer..... | 9 |
| Appendix D | Detail controles..... | 10 |

| | | |
|--|---|--|
|  Tel (0)10 - 482 68 50 www.pt-structural.com | Brug Golfbaan Cromvoirts Landgoed BV | Doc.nr. : 009 Rev.nr. : 0 Datum : 06-06-2017 |
| | Jos van den Berselaar Constructie BV Statische berekening van de Golfbrugconstructie | Pagina : 4 |

1 Algemene informatie.

Dit document bevat de statische controle van de staalconstructie van de golfbrug, voor een algemene omschrijving wordt verwezen naar de Basis of Design document (BOD) nr: M 02859-105-008.

De statische controle omvat de balk profielen en de maatgevende details in de constructie. Tevens worden de reacties aangegeven op de fundatie.

De fundatie is beschouwd als volledig stijf, positieve invloed door veerstijfheden van de fundatie zijn niet meegenomen.

De statische controle van de leuning is opgenomen in een separaat document.

Opmerking:

Maten zijn in millimeters, krachten in kN.

2 Referenties

2.1 Normen

Zie BOD

2.2 Materiaal grootheden

$\gamma_m = 1.0$ materiaal factor

| | | |
|-----------------|-------------------------|------------------------|
| Staalkwaliteit, | walsliggers en platen | S355J2 |
| | Sec. staal en dekplaat | S235J2 |
| | Platen leuningelementen | Corten \equiv S355J0 |

Voor dikten >40mm wordt een reductie op de vloeispanning in rekening gebracht.

2.3 Bijbehorende documenten

2.3.1 Tekeningen

Bijbehorend:

- Plantekeningen M 02859-105-001 t/m M 02859-105-004
- Palenplan en fundatie tek M 02859-105-006 en M 02859-105-007

2.3.2 Documenten

Bijbehorend:

BOD document nr. M 02859-105-008

3 Beschrijving van het berekeningsmodel

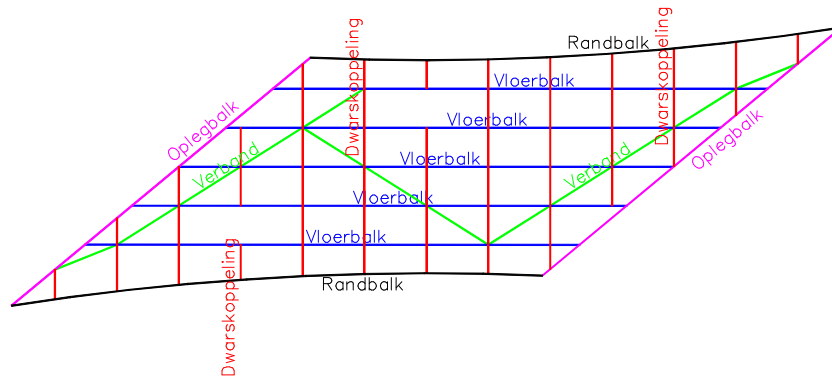
3.1 Algemene informatie voor de berekening

Deze berekening bevat de controle van de stalen constructie elementen.

Opbouw van de modellen:

- 1) Hoofdmodel van de constructie
- 2) Secundaire controle van enkele elementen

Het Hoofdmodel is gemaakt in het computerprogramma Nemetchek Scia. Het model bevat de vloerbalken, de dwarskoppelingen, de oplegbalken, de horizontale verbanden en de randbalken met de leuning.



Vloerbalken

De vloerbalken overspannen van opleg balk naar oplegbalk en zijn aan beide uiteinden in de sterke richting van het profiel momentvast verbonden. In de zwakke richting zijn ze scharnierend verbonden. De dekplaten zijn "los" op de vloerbalken gedacht (sleufgaten en kikkerplaten) en hebben als zodanig geen invloed op het verticaal draagvermogen van de vloerbalken.

Dwarskoppelingen

De dwarskoppelingen zijn momentvast verbonden.

Oplegbalken

De oplegbalken met de onderliggende opleggingen vormen de verbinding naar de fundatie.

Verbanden

De verbandstaven zijn aan de uiteinden scharnierend verbonden met de andere constructie elementen.

Randbalken

De randbalken overspannen van dwarskoppeling naar dwarskoppeling en zijn aan de einden scharnierend verbonden.

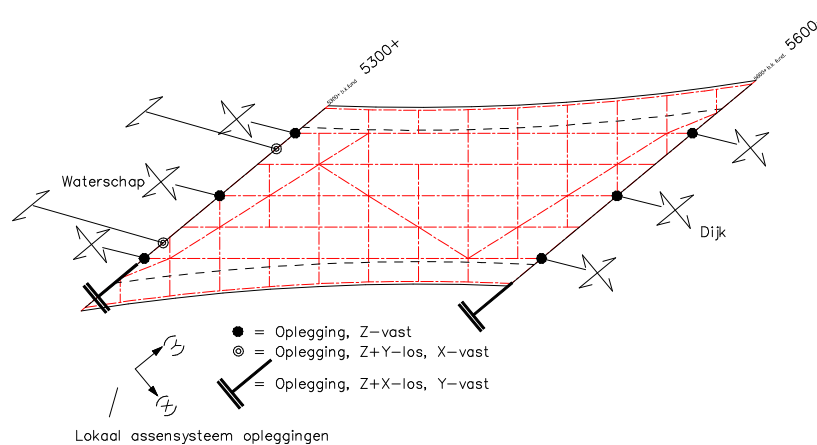
Leuningen

De leuningen zijn alleen gemodelleerd om de juiste belastingen op de juiste positie in te voeren. Voor controle zie separaat document.

De horizontale stabiliteit

De horizontale stabiliteit wordt voorzien door middel van de horizontale verbandstaven. De positieve invloed van de aanwezige dekplaten zijn ten aanzien van de horizontale stabiliteit verwaarloosd.

De opleggingen



Het oplegschema

| | | |
|--|--|--|
|  Tel (0)10 - 482 68 50 www.pt-structural.com | Brug Golfbaan Cromvoirts Landgoed BV | Doc.nr. : 009 Rev.nr. : 0 Datum : 06-06-2017 |
| | Jos van den Bersselaar Constructie BV Statische berekening van de Golfbrugconstructie | Pagina : 6 |

3.2 Modellen

Het model van de hoofdconstructie van de brug is een 3D staaf model. De staafcontrole is uitgevoerd door middel van de spanningscontrole in het model, eventueel aangevuld met hand/excel berekeningen, als opgenomen in appendix B.

Software:
 Nemetschek Scia versie 16.1.62
 MS-Word
 MS-Excel

4 Belastingen

De belastingen op de constructie zijn weergegeven in de BOD.

4.1 Belasting en materiaal factoren

Als vermeld in de BOD

5 Resultaten

De spanningen worden getoetst aan de rekenwaarde van de vloeigrens, waarbij de optredende spanningen zijn gecombineerd tot de Von Mises equivalente spanning volgens:

$$\sigma_{vM} = \sqrt{(\sigma_n + \sigma_b)^2 + 3\tau^2},$$

waarbij σ_{vM} de Von Mises spanning is, σ_n normaal spanning, σ_b buigspanning en τ de schuifspanning.

6 Conclusies

- De invloeden van gelijkmatige temperatuurdeviatie zijn, door het oplegschema, te verwaarlozen,
- De invloed van zettingen van de landhoofden zijn, door de torsie slappe constructie, te verwaarlozen,
- De belastinggevallen met de meeste impact zijn Eigen Gewicht en de Nuttige Belasting
- De verticale ondersteuning komen nooit onder trek

De berekende optredende spanningen zijn lager dan de toelaatbare spanningen en de berekende U.C. zijn lager dan 1.0.

De optredende verplaatsingen zijn kleiner dan de toelaatbare.

De constructie voldoet aan de daarvoor gestelde eisen.

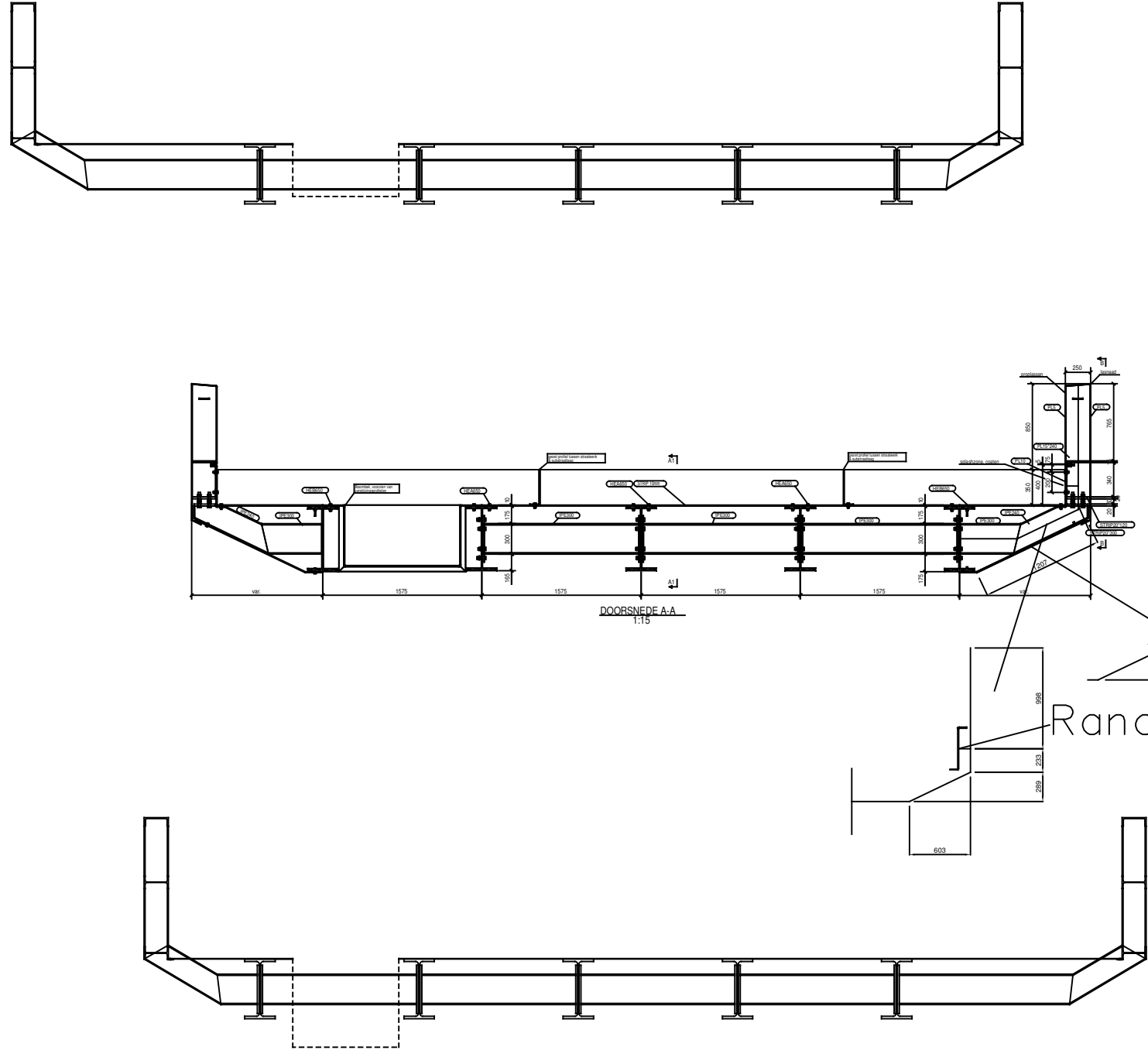
| | | |
|--|--|--|
|  Tel (0)10 - 482 68 50 www.pt-structural.com | Brug Golfbaan Cromvoirts Landgoed BV | Doc.nr. : 009 Rev.nr. : 0 Datum : 06-06-2017 |
| | Jos van den Bersselaar Constructie BV Statische berekening van de Golfbrugconstructie | Pagina : 7 |

Appendix A: Algemene informatie en input voor de berekening.

Zie ook bijbehorende gebruikte tekening

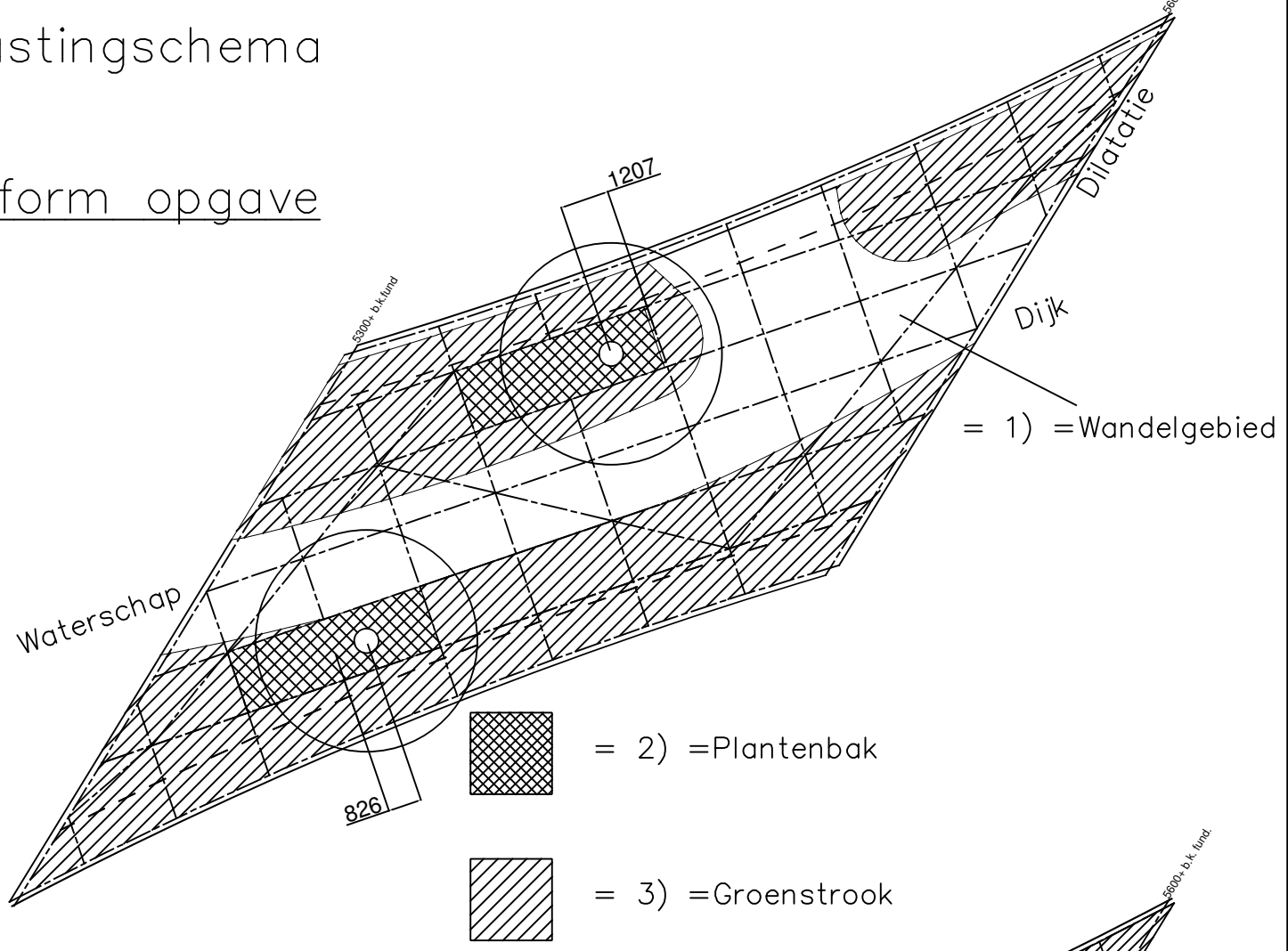
- A 1.1 Schema van de Constructie
- A 1.2 Schets van Constructie Doorsneden
- A 2.1 Schema van de aan te zetten krachten Eigen Gewicht
- A 2.2 Balkschema
- A 3.1 Algemene informatie en belastingaanzet
- A 3.2 Belastingcombinaties
- A 4 Controle gewichten Tekla tekenmodel versus Scia Rekenmodel

Schema, doorsneden

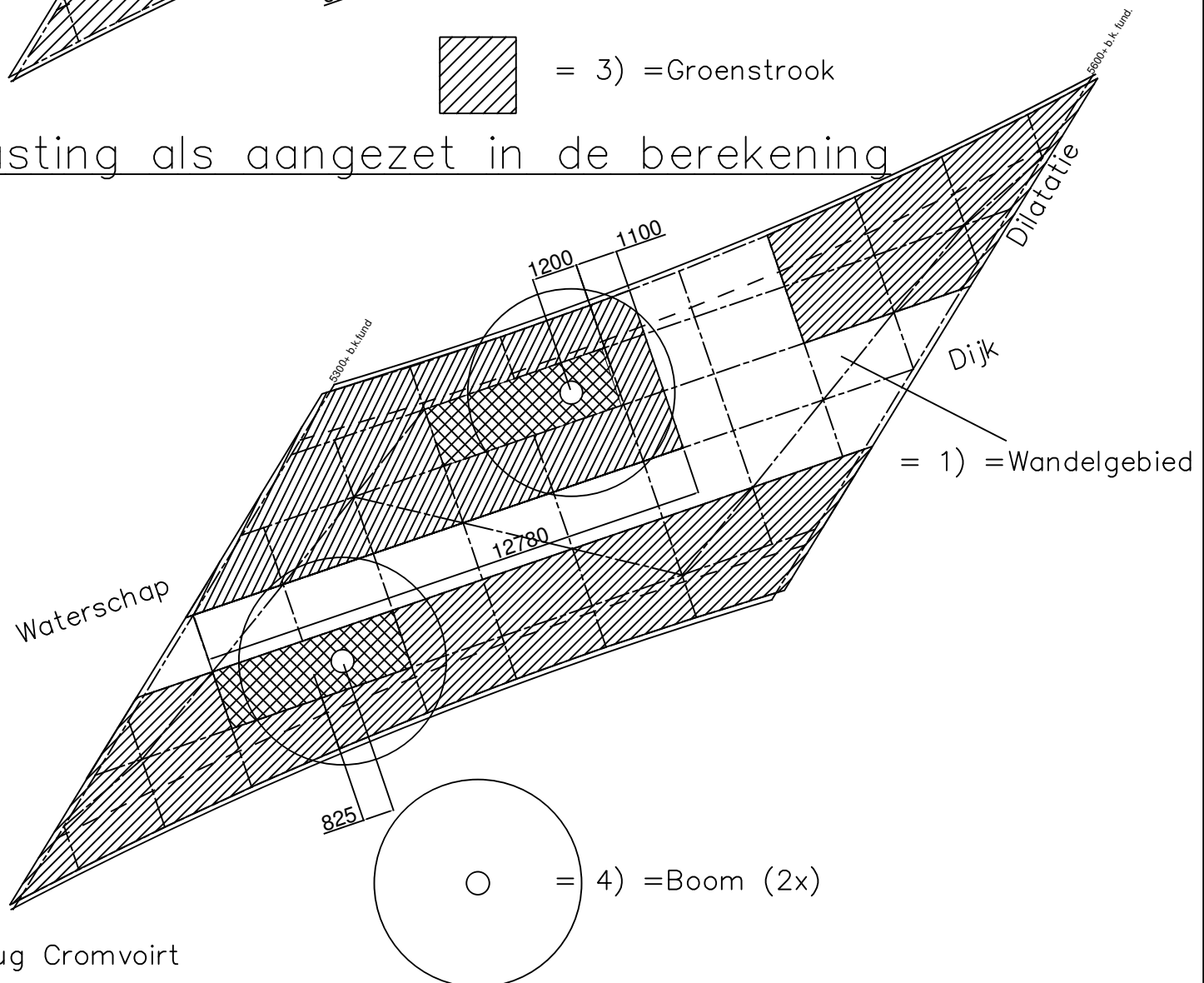


Belastingschema

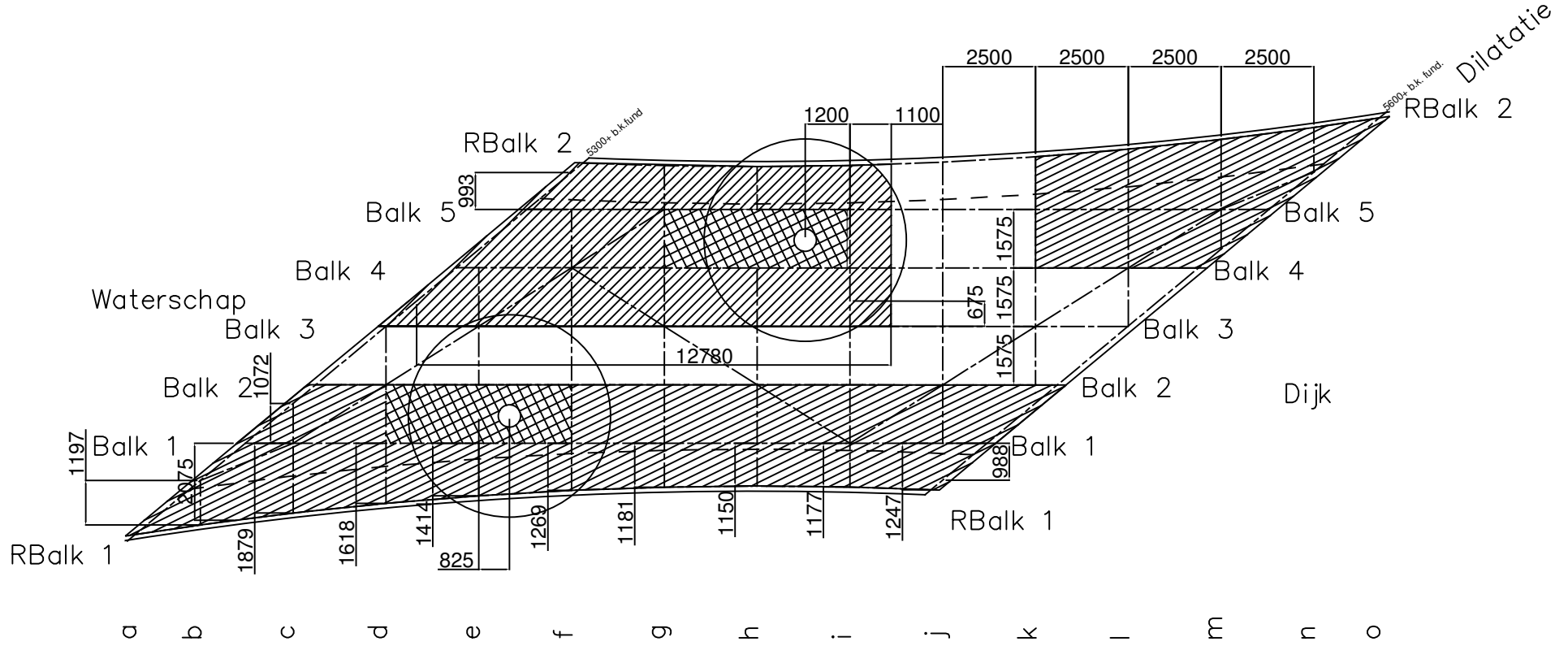
Conform opgave



Belasting als aangezet in de berekening



Balkschema



Zie blad A 2-1 en A 3 (Document 002) voor belastingen

| | |
|--------|---------|
| Datum: | 6-06-17 |
| Rev: | 0 |
| Auteur | DvG |

 Betreft: **Golfbrug Cromvoirt, Jos van den Besselaar**

Algemene Informatie en belastingaanzet

Materiaal

 Materiaal **S355** (EN 10025-2 or 3) $f_{yud} = 355 \text{ N/mm}^2$ $E_d = 210000 \text{ N/mm}^2$

Vloerplaten

 Materiaal **S235** (EN 10025-2 or 3) $f_{yud} = 235 \text{ N/mm}^2$
 $\gamma_{m0} = 1.0$ Materiaal factor

Opmerking: Cortenstaal is qua constructieve materiaal eigenschappen gelijkwaardig aan S355

Belasting factoren

 $\gamma_f = 1.1$ Compensatie factor over eigen gewicht voor sec. staal, lassen, verf etc.

 $\gamma_g = 1.2$ Belasting factor E.G. $\gamma_g = 0.9$ Belasting factor E.G.

 $\gamma_g = 1.35$ Belasting factor E.G. bij alleen E.G.

 $\gamma_v = 1.5$ Belasting factor N.B.

 S.W. _{steel} = 7.85 kg/dm³

 S.W. _{grond} = 2000 kg/m³

 S.W. _{substraat} = 1500 kg/m³

 S.W. _{schuimbeton} = 600 kg/m³

 S.W. _{slijtlaag} = 2100 kg/m³

Belastingen

1) Eigen Gewicht

1) Looppad

| | | | |
|---------------|-----------------------|------------------------------|----------------------------|
| Opbouw pakket | Dekplaat | 0.79 kN/m ² | |
| | Grond/zand | 0.40 kN/m ² | $\delta = 0.02 \text{ m}$ |
| | Schuimbeton | 2.10 kN/m ² | $\delta = 0.35 \text{ m}$ |
| | Slijtlaag | 0.18 kN/m ² | $\delta = 0.008 \text{ m}$ |
| | Water/vocht | 0.43 kN/m ² | Aanname |
| | Waterdichte afwerking | 0.10 kN/m ² | |
| | | <hr/> 4.00 kN/m ² | Totaal E.G. |

2) Grondvlak

| | | | |
|---------------|-----------------------|------------------------------|---------------------------|
| Opbouw pakket | Dekplaat | 0.79 kN/m ² | |
| | Substraat | 5.25 kN/m ² | $\delta = 0.35 \text{ m}$ |
| | Water/vocht | 0.36 kN/m ² | Aanname |
| | Waterdichte afwerking | 0.10 kN/m ² | |
| | | <hr/> 6.50 kN/m ² | Totaal E.G. |

3) Plantenbak

| | | | |
|---------------|-----------------------|-------------------------------|---------------------------|
| Opbouw pakket | Dekplaat | 0.79 kN/m ² | |
| | Grond | 14.25 kN/m ² | $\delta = 0.95 \text{ m}$ |
| | Asfalt | 0.00 kN/m ² | $\delta = 0.00 \text{ m}$ |
| | Water/vocht | 0.86 kN/m ² | |
| | Waterdichte afwerking | 0.10 kN/m ² | |
| | | <hr/> 16.00 kN/m ² | Totaal E.G. |

 4) Boom 12.00 kN Op 1.20 m

| | |
|--------|---------|
| Datum: | 6-06-17 |
| Rev: | 0 |
| Auteur | DvG |

 Betreft: **Golfbrug Cromvoirt, Jos van den Besselaar**
Algemene Informatie en belastingaanzet

$q = 8.33 \text{ kN/m}^2$ 1.20 m
 5) Leuning 3.40 kN/m opgave 11-04

Overspanningslengten

Zie Blad A2.2 voor overzicht

| | | RB1-B1 | B1-B2 | B2-B3 | B3-B4 | B4-B5 | B5-RB2 |
|---|----------|--------|-------|-------|-------|-------|--------|
| a | oversp L | 0 | | | | | |
| b | oversp L | 1197 | | | | | |
| c | oversp L | 1879 | 1575 | 1075 | | | |
| d | oversp L | 1618 | 1575 | 1575 | | | |
| e | oversp L | 1414 | 1575 | 1575 | 1575 | 500 | |
| f | oversp L | 1269 | 1575 | 1575 | 1575 | 1575 | 1247 |
| g | oversp L | 1181 | 1575 | 1575 | 1575 | 1575 | 1177 |
| h | oversp L | 1150 | 1575 | 1575 | 1575 | 1575 | 1150 |
| i | oversp L | 1177 | 1575 | 1575 | 1575 | 1575 | 1181 |
| j | oversp L | 1247 | 1575 | 1575 | 1575 | 1575 | 1269 |
| k | oversp L | | 500 | 1575 | 1575 | 1575 | 1414 |
| l | oversp L | | | | 1575 | 1575 | 1618 |
| m | oversp L | | | | | 1075 | 1879 |
| n | oversp L | | | | | | 1197 |
| o | oversp L | | | | | | 0 |

Eigen Gewicht

Balkbelastingen op model in kN/m

Zie Blad A2-2 voor overzicht

| | Rbalk 1 | Balk 1 | Balk 2 | Balk 3 | Balk 4 | Balk 5 | Rbalk 2 |
|---|---------|--------|--------|--------|--------|--------|---------|
| a | 0.00 | | | | | | |
| b | 3.89 | 6.10 | | | | | |
| c | 6.10 | 11.22 | 7.26 | | | | |
| d | 5.25 | 10.37 | 8.26 | 3.15 | 0.00 | | |
| e | 4.59 | 17.19 | 15.75 | 8.26 | 6.74 | 1.62 | |
| f | 4.12 | 16.72 | 15.75 | 8.26 | 10.23 | 9.16 | 4.05 |
| g | 3.84 | 8.95 | 8.26 | 8.26 | 10.23 | 8.94 | 3.82 |
| h | 3.73 | 8.85 | 8.26 | 8.26 | 17.71 | 14.31 | 3.73 |
| i | 3.82 | 8.94 | 8.26 | 6.30 | 17.71 | 14.56 | 3.84 |
| j | 4.05 | 9.16 | 8.26 | 6.30 | 6.30 | 5.69 | 2.54 |
| k | | 1.62 | 4.77 | 6.30 | 6.30 | 5.98 | 2.83 |
| l | | | | 3.15 | 8.26 | 10.37 | 5.25 |
| m | | | | | 2.15 | 9.59 | 6.10 |
| n | | | | | | 6.10 | 3.89 |
| o | | | | | | | 0.00 |

| | |
|--------|---------|
| Datum: | 6-06-17 |
| Rev: | 0 |
| Auteur | DvG |

 Betreft: **Golfbrug Cromvoirt, Jos van den Besselaar**

Algemene Informatie en belastingaanzet

2) Nuttige Belasting

 Op grondplaat 4.00 kN/m^2 In gebruik $\psi = 0.40$

 P= 5.00 kN , Geconcentreerde belasting op $0,3 \times 0,3\text{m}$

 Balkbelastingen op model in kN/m Zie Blad A2.2 voor overzicht

| | Rbalk 1 | Balk 1 | Balk 2 | Balk 3 | Balk 4 | Balk 5 | Rbalk 2 |
|---|---------|--------|--------|--------|--------|--------|---------|
| a | 0.00 | | | | | | |
| b | 2.39 | 2.39 | | | | | |
| c | 3.76 | 6.91 | 5.30 | | | | |
| d | 3.24 | 6.39 | 6.30 | 3.15 | | | |
| e | 2.83 | 5.98 | 6.30 | 6.30 | 4.15 | 1.00 | |
| f | 2.54 | 5.69 | 6.30 | 6.30 | 6.30 | 5.64 | 2.49 |
| g | 2.36 | 5.51 | 6.30 | 6.30 | 6.30 | 5.50 | 2.35 |
| h | 2.30 | 5.45 | 6.30 | 6.30 | 6.30 | 5.45 | 2.30 |
| i | 2.35 | 5.50 | 6.30 | 6.30 | 6.30 | 5.51 | 2.36 |
| j | 2.49 | 5.64 | 6.30 | 6.30 | 6.30 | 5.69 | 2.54 |
| k | | 1.00 | 4.15 | 6.30 | 6.30 | 5.98 | 2.83 |
| l | | | | 3.15 | 6.30 | 6.39 | 3.24 |
| m | | | | | 2.15 | 5.91 | 3.76 |
| n | | | | | | 2.39 | 2.39 |
| o | | | | | | | 0.00 |

3) Zettingen

 $\psi = 1.00$
 $\delta_1 = 5 \text{ mm}$
 $\delta_2 = 0 \text{ mm}$
 $\delta_3 = -5 \text{ mm}$

4) Leuningbelasting

 $\psi = 0.00$
 $q = 0.80 \text{ kN/m}$

5) Wind

 $q_{p(z)} = 0.541 \text{ kN/m}^2$ $\psi = 0.30$

 Boom $h = 10 \text{ m}$
 $b = 5 \text{ m}$
 $C = 1.2$
 $H = 32.46 \text{ kN}$
 $[m]$ c $q = [kN/m]$

Dwars Leuningen

 $h_{1\text{tot}} = 1.95$ 1.2 1.27 te verdelen over hoogte

 Bovenrand 0.63

 Onderrand 0.32

 Buitenste HE profiel 0.32

Begroeiingsband

 $h_{2\text{tot}} = 1.15$ 1.2 0.75 Aangezet op 3 middelste HE profielen
 0.25 kN/m/ligger

Leuningen aan beide zijden van de brug worden gelijkmatig belast gedacht. HE profielen onder het dek worden geacht in de luwte te liggen

| | |
|--------|---------|
| Datum: | 6-06-17 |
| Rev: | 0 |
| Auteur | DvG |

 Betreft: **Golfbrug Cromvoirt, Jos van den Besselaar**
Algemene Informatie en belastingaanzet

| | | | |
|---------------|------|------|--|
| Wrijving | [m] | c | q= [kN/m] |
| Gemiddelde B= | 10.5 | 0.04 | 0.45 te verdelen over de 3 middelste HE profiele 0.15 kN/m/ligger |

| | |
|------------------------|--|
| <u>Langs</u> Leuningen | 40% van de dwarswind |
| | Bovenrand 0.25 |
| | Onderrand 0.13 |
| | Buitenste HE profiel 0.13 |
| h2tot= | 2 1.2 1.30 Aangezet op 1 rij IPE profielen |

6) Temperatuur $\lambda = 1.20E-05$ $\psi = 0.30$

$\Delta t1 = 45$ °C

$\Delta t2 = -35$ °C

| | | | |
|-----------------------|---------------|---------------|--|
| <i>Verplaatsingen</i> | $\Delta t1 =$ | $\Delta t2 =$ | Zie blad A 1.1 voor schema |
| | [m] | [mm] | [mm] |
| L1= | 20.000 | 10.8 | -8.4 Overspanning langsliggers |
| L2= | 9.868 | 5.3 | -4.1 Breedte gemeten over de opleggingen |
| a= | 12.758 | 6.9 | -5.4 |
| b= | 15.381 | 8.3 | -6.5 |

| | |
|--------|---------|
| Datum: | 6-06-17 |
| Rev: | 0 |
| Auteur | DvG |

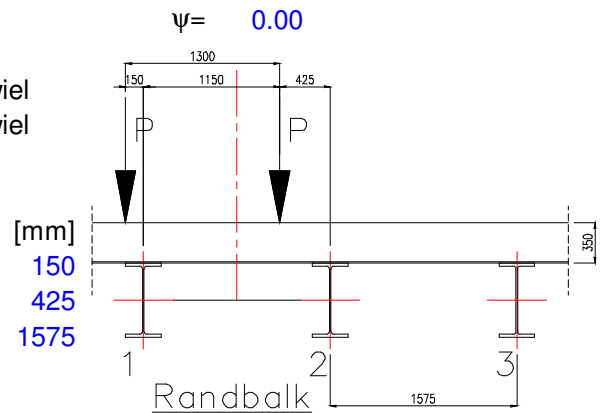
 Betreft: **Golfbrug Cromvoirt, Jos van den Besselaar**
Algemene Informatie en belastingaanzet

 7) Onderhoudswagen

$P_1 = 80 \text{ kN}$ $P = 40 \text{ kN/wiel}$
 $P_2 = 40 \text{ kN}$ $P = 20 \text{ kN/wiel}$
 $a = 3 \text{ mm}$ Tussenafstand

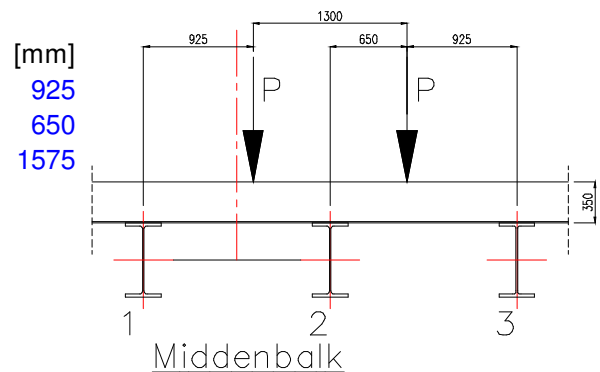
Randbalk

$P = 40 \text{ kN}$ $a = 150 \text{ [mm]}$
 $R_1 = 54.60 \text{ kN}$ $b = 425 \text{ [mm]}$
 $R_2 = 25.40 \text{ kN}$ $l = 1575 \text{ [mm]}$



Middenbalk

$P = 40 \text{ kN}$ $a = 925 \text{ [mm]}$
 $R_1 = R_3 = 16.51 \text{ kN}$ $b = 650 \text{ [mm]}$
 $R_2 = 46.98 \text{ kN}$ $l = 1575 \text{ [mm]}$



4 gevallen

- Maximaal boven eind steunpunt/buitenste hoofdbalk
- Maximaal moment in buitenste hoofdbalk
- Maximaal boven eind middelste steunpunt/hoofdbalk
- Maximaal moment in middelste hoofdbalk
- Maximaal moment in een na buitenste hoofdbalk

Horizontaalkrachten in de langsrichting

$g = 60\%$ Percentage van de verticaal kracht P

| Randbalk | (1) | (2) | (1)+(2) |
|----------|-------|-------|----------|
| $P =$ | 24 | 12 | 36 kN |
| $H_1 =$ | 32.76 | 16.38 | 49.14 kN |
| $H_2 =$ | 15.24 | 7.62 | 22.86 kN |

Middenbalk (niet in rekening gebracht)

| | | | |
|---------------|-------|-------|----------|
| $P =$ | 24 | 12 | 36 kN |
| $H_1 = H_3 =$ | 9.90 | 4.95 | 14.86 kN |
| $H_2 =$ | 28.19 | 14.10 | 42.29 kN |



Boelewerf 22
2987 VD Ridderkerk
Tel: (+31) 10 - 4826850

| | |
|---------|---------|
| Datum: | 6-06-17 |
| Rev: | 0 |
| Auteur: | DvG |

Betreft: **Golfbrug Cromvoirt, Jos van den Besselaar**

Belastingcombinaties en factoren

$\gamma_g = 1.20$ LF E.G. $\gamma_g = 0.90$ LF E.G. gunstig
 $\gamma_v = 1.50$ LF N.B.

| | | ULS | | | | | | | | | | | Leuning | | | | | | | | | | | | | | | | | | | | | | | |
|----------|-------------|------------|-------|-------|-------|-------|-------|-------|-------|-------|-------|-------|---------|-------|-------|-------|-------|-------|-------|-------|-------|-------|-------|-------|-------|-------|-------|-------|-------|-------|-------|-------|-------|-------|-------|------|
| Scia | | $\psi_0 =$ | BC 01 | BC 02 | BC 03 | BC 04 | BC 05 | BC 06 | BC 07 | BC 08 | BC 09 | BC 10 | BC 11 | BC 12 | BC 13 | BC 14 | BC 15 | BC 16 | BC 17 | BC 18 | BC 19 | BC 20 | BC 21 | BC 22 | BC 23 | BC 24 | BC 25 | BC 26 | BC 27 | BC 28 | BC 29 | BC 30 | BC 31 | BC 32 | BC 33 | |
| LC 01 | E.G. const | 1.10 | 1.32 | 1.32 | 1.32 | 1.32 | 0.90 | 1.32 | 1.32 | 1.32 | 1.32 | 1.32 | 1.32 | 0.90 | 1.32 | 1.32 | 1.32 | 1.32 | 1.32 | 1.32 | 1.32 | 1.32 | 1.32 | 1.32 | 1.32 | 1.32 | 0.90 | 1.32 | 1.32 | 1.32 | 1.32 | 1.32 | 1.32 | 1.32 | 1.32 | 1.32 |
| LC 02 | E.G. aanv | 1.00 | 1.20 | 1.20 | 1.20 | 1.20 | 0.90 | 1.20 | 1.20 | 1.20 | 1.20 | 1.20 | 1.20 | 0.90 | 1.20 | 1.20 | 1.20 | 1.20 | 1.20 | 1.20 | 1.20 | 1.20 | 1.20 | 1.20 | 1.20 | 1.20 | 0.90 | 1.20 | 1.20 | 1.20 | 1.20 | 1.20 | 1.20 | 1.20 | 1.20 | 1.20 |
| LC 03 | N.B. 1 half | 0.40 | 1.50 | | 0.60 | | | | | | 1.50 | 1.50 | | 0.60 | | | | | | | | | | | 1.50 | | | | | | | | | | | |
| LC 04 | N.B. 2 geh | 0.40 | | 1.50 | | 0.60 | | 0.60 | 0.60 | | 1.50 | | 1.50 | | 0.60 | 0.60 | 0.60 | 0.60 | 0.60 | 0.60 | 0.60 | 0.60 | 0.60 | 0.60 | | 1.50 | | 0.60 | 0.60 | 0.60 | 0.60 | 0.60 | 0.60 | 0.60 | 0.60 | |
| LC 05 | Wind-Dw | 0.30 | | | 1.50 | 1.50 | 1.50 | | | | | 0.45 | 0.45 | 0.45 | | | | | | 0.45 | 0.45 | 0.45 | 0.45 | 0.45 | 0.45 | 0.45 | | | | | | | | | | |
| LC 06 | Wind-La | 0.30 | | | | | | 1.50 | -1.50 | | | | | | | | | | | | | | | | | | | | | | | | | | | |
| LC 07+08 | Temp 1+2 | 0.30 | | | | | | | 1.50 | | | | | | | | | | | 0.45 | 0.45 | 0.45 | 0.45 | 0.45 | | | | | 0.45 | 1.50 | 0.45 | 0.45 | 0.45 | 0.45 | 0.45 | |
| LC 09 | Zetting 1 | 1.00 | | | | | | | | 1.50 | 1.50 | | | | | | | | | 1.50 | 1.50 | 1.50 | 1.50 | 1.50 | | | | | | | | | | | | |
| LC 10 | Zetting 2 | 1.00 | | | | | | | | 1.50 | 1.50 | | | | | | | | | 1.50 | 1.50 | 1.50 | 1.50 | 1.50 | | | | | | | | | | | | |
| LC 11 | Leuningen | 0.00 | | | | | | | | | | 1.50 | 1.50 | 1.50 | | | | | | | | | | | | | | | | | | | | | | |
| LC 12 | Onderh a | 0.00 | | | | | | | | | | | | | 1.50 | | | | | 1.50 | | | | | | | | | | | | | | | | |
| LC 13 | Onderh b | 0.00 | | | | | | | | | | | | | | 1.50 | | | | 1.50 | | | | | | | | | | | | | | | | |
| LC 14 | Onderh c | 0.00 | | | | | | | | | | | | | | | 1.50 | | | | 1.50 | | | | | | | | | | | | | | | |
| LC 15 | Onderh d | 0.00 | | | | | | | | | | | | | | | | 1.50 | | | | 1.50 | | | | | | | | | | | | | | |
| LC 16 | Onderh e | 0.00 | | | | | | | | | | | | | | | | | 1.50 | | | | 1.50 | | | | | | | | | | | | | |
| LC 17 | Ond a/b hor | 0.00 | | | | | | | | | | | | | 1.50 | 1.50 | | | | | | | | | | | | | | | | | | | | |
| LC 18 | Temp 3 | 0.30 | | | | | | | | | | | | | | | | | | | | | | | | | | | | | | | | | | |

| | | SLS | | | | | | | | | |
|----------|-------------|------------|-------|-------|-------|-------|-------|-------|-------|-------|-------|
| Scia | | $\psi_0 =$ | BC 41 | BC 42 | BC 43 | BC 44 | BC 45 | BC 46 | BC 47 | BC 48 | BC 49 |
| LC 01 | E.G. const | 1.10 | 1.10 | 1.10 | 1.10 | 1.10 | 1.10 | 1.10 | 1.10 | 1.10 | 1.10 |
| LC 02 | E.G. aanv | 1.00 | 1.00 | 1.00 | 1.00 | 1.00 | 1.00 | 1.00 | 1.00 | 1.00 | 1.00 |
| LC 03 | N.B. 1 half | 0.40 | | | | | | | | | |
| LC 04 | N.B. 2 geh | 0.40 | | 1.00 | 0.40 | 0.40 | 0.40 | 0.40 | 0.40 | 1.00 | 1.00 |
| LC 05 | Wind-Dw | 0.30 | | | 1.00 | | | | | | |
| LC 06 | Wind-La | 0.30 | | | | 1.00 | | | | -0.30 | -0.30 |
| LC 07+08 | Temp 1+2 | 0.30 | | | | | | | | | |
| LC 09 | Zetting 1 | 1.00 | | | | 1.00 | | | 1.00 | | |
| LC 10 | Zetting 2 | 1.00 | | | | 1.00 | | | 1.00 | | |
| LC 11 | Leuningen | 0.00 | | | | | | | | | |
| LC 12 | Onderh a | 0.00 | | | | | | | | | |
| LC 13 | Onderh b | 0.00 | | | | | 1.00 | 1.00 | | | |
| LC 14 | Onderh c | 0.00 | | | | | | | | | |
| LC 15 | Onderh d | 0.00 | | | | | | | | | |
| LC 16 | Onderh e | 0.00 | | | | | | | | | |
| LC 17 | Ond a/b hor | 0.00 | | | | | | | | | |
| LC 18 | Temp 3 | 0.30 | | | | | | | | -1.00 | 1.00 |

| | |
|--------|---------|
| Datum: | 2-06-17 |
| Rev: | 0 |
| Auteur | DvG |

 Betreft: **Golfbrug Cromvoirt, Jos van den Besselaar**
Controle Eigen Gewicht Scia Model-Tekla Model
Materiaal

| | | | | | |
|-------------|-------------------------------|-------------|-----------------------|---------|--------------------------|
| Materiaal | S355 (EN 10025-2 or 3) | $f_{yud} =$ | 355 N/mm ² | $E_d =$ | 210000 N/mm ² |
| Vloerplaten | | | | | |
| Materiaal | S235 (EN 10025-2 or 3) | $f_{yud} =$ | 235 N/mm ² | | |
| | $\gamma_{m0} =$ | 1.0 | Materiaal factor | | |

Belasting factoren
 $\gamma_f =$ **1.1** Compensatie factor over eigen gewicht voor sec. staal, lassen, verf etc.

| | | | |
|--------------------------------|---|----|-----------------|
| Gewicht Tekla Model | 70 ton | 1) | 70000 kg |
| Gewicht Scia Model | 37680 kg | | |
| | 41448 kg, inclusief γ_f | | 41448 |
| Gewicht leuning | 14688 kg (toegevoegde permanente belasting) | | 14688 |
| Gewicht dekplaat en plantenbak | 14137 kg (toegevoegde permanente belasting) | | 14137 |
| | | 2) | 70273 kg |

1) en 2) komen overeen, dus mag geconcludeerd worden dat de gekozen factoren kloppen

| | | |
|--|--|--|
|  Tel (0)10 - 482 68 50 www.pt-structural.com | Brug Golfbaan Cromvoirts Landgoed BV | Doc.nr. : 009 Rev.nr. : 0 Datum : 06-06-2017 |
| | Jos van den Bersselaar Constructie BV Statische berekening van de Golfbrugconstructie | Pagina : 8 |

Appendix B Controle liggers

| | | |
|-----|-------------------------------------|----------------------------------|
| B 1 | Dekplaat, plantenbak en verstijvers | |
| B 2 | Profielcontrole randbalk | |
| B 3 | Bepaling zeeg in vloerbalken | (aanvullend op computer uitvoer) |
| B 4 | Profielcontrole vloerbalken | (aanvullend op computer uitvoer) |
| B 5 | Profielcontrole diagonalen | (aanvullend op computer uitvoer) |
| B 6 | Profielcontrole dwarskoppelingen | (aanvullend op computer uitvoer) |

| | |
|---------|---------|
| Datum: | 6-06-17 |
| Rev: | 0 |
| Auteur: | DvG |

 Betreft: **Golfbrug Cromvoirt, Jos van den Besselaar**
Dekplaat, plantenbak en verstijvers

Dit gedeelte bevat een handcontrole van de dekplaat en de bodemplaat van de plantenbak en de onderliggende verstijvers. De platen liggen "los" op de hoofdbalken en doen als zodanig niet mee in de globale krachtwerving. σ geeft de karakteristieke spanning weer, met σ_{sd} wordt de rekenspanning (incl factoren) weergegeven.

Materiaal S235

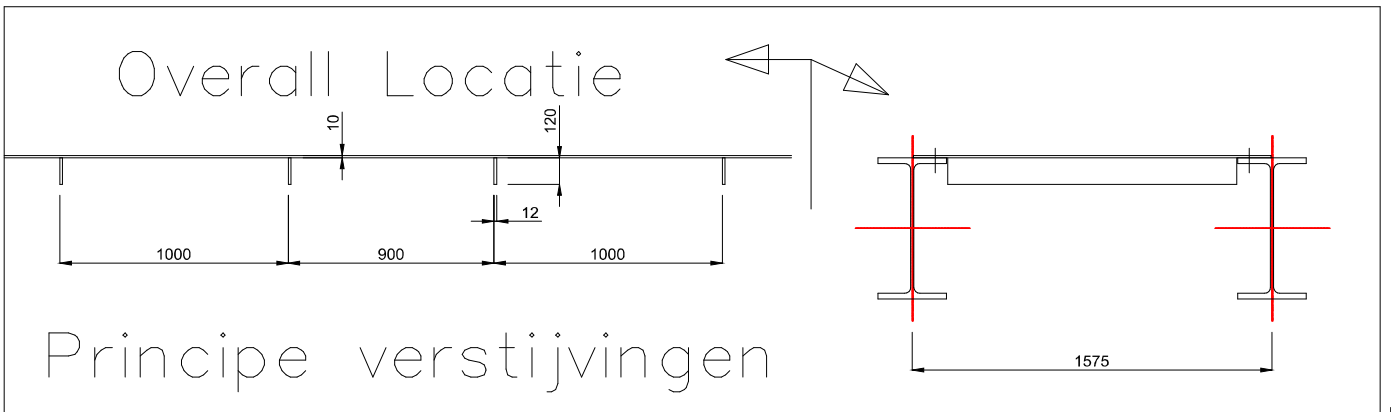
| | | | | | |
|---------------|-----------------------|---|--------------|--------------------------|------|
| $f_{y,u;d}$ | 235 N/mm ² | | E | 210000 N/mm ² | |
| $f_{w,u;d}$ | 208 N/mm ² | (uiterste spanning in de las volgens de EN) | | | |
| γ_{g1} | 1.2 LF E.G. | γ_{g2} | 1.35 LF E.G. | γ_{M1} | 1.00 |
| γ_v | 1.5 LF N.B. | | | | |

Vloerplaat

| | | | | | |
|-----------------------|-------------------------|--------------------------------------|---|-------------------------------|-----------------------|
| t | 10 mm | G | 78.5 kg/m ² | | |
| W_y | 16.7 cm ³ /m | | | | |
| $L_{1,2}$ | 1.0 m | | maximaal h.o.h. verstijvers t.p.v. 1 en 2 | | |
| L_3 | 1.0 m | | maximaal h.o.h. verstijvers t.p.v. 3 | | |
| L_4 | 0.75 m | | maximaal h.o.h. verstijvers t.p.v. 4 | | |
| <i>E.G.</i> | | | | | |
| q_1 | 4.00 kN/m ² | ter plaatse van 1) Loopvlak | M_{y1} | 0.40 kNm | (=1/10 qL_1^2) |
| q_2 | 6.50 kN/m ² | ter plaatse van 2) Grondvak | M_{y2} | 0.65 kNm | (=1/10 qL_2^2) |
| q_3 | 16.00 kN/m ² | ter plaatse van 3) Plantenbak | M_{y3} | 1.60 kNm | (=1/10 qL_3^2) |
| q_4 | 16.00 kN/m ² | ter plaatse van 4) Boom | M_{y4} | 1.12 kNm | (=1/10 qL_4^2) |
| q_5 | 8.33 kN/m ² | ter plaatse van 4) Boom | M_{y5} | 0.59 kNm | (=1/10 qL_4^2) |
| q_4+q_5 | 24.33 kN/m ² | | M_{y4+5} | 1.71 kNm | |
| <i>N.B.</i> | 4.0 kN/m ² | ter plaatse van 1) en 2) | $M_{y1,2}$ | 0.40 kNm | (=1/10 $qL_{1,2}^2$) |
| <i>N.B.</i> | 4.0 kN/m ² | ter plaatse van 3) | M_{y3} | 0.40 kNm | (=1/10 qL_3^2) |
| <i>N.B.</i> | 4.0 kN/m ² | ter plaatse van 4) | M_{y4} | 0.23 kNm | (=1/10 qL_4^2) |
| of | | | | | |
| P | 5.00 kN | ter plaatse van 1) Loopvlak | M_{y1} | 0.83 kNm/m | (=1/6 PL_1) |
| P | 5.00 kN | ter plaatse van 2) Grondvak | M_{y2} | 0.83 kNm/m | (=1/6 PL_2) |
| P | 5.00 kN | ter plaatse van 3) Plantenbak | M_{y3} | 0.83 kNm/m | (=1/6 PL_3) |
| q-last q en p-last | | | | | |
| M_{y1tot} | 0.80 | 1.23 kNm | | ter plaatse van 1) Loopvlak | |
| M_{y2tot} | 1.05 | 2.03 kNm | | ter plaatse van 2) Grondvak | |
| M_{y3tot} | 2.00 | 3.17 kNm | | ter plaatse van 3) Plantenbak | |
| M_{y4tot} | 1.94 | n.v.t. kNm | | ter plaatse van 4) Boom | |
| | | σ_{sd} | σ_{sd} | | |
| | | [N/mm ²] | [N/mm ²] | | |
| M_{y1sd} | 1.08 | 1.60 | 64.8 | 96.0 | |
| M_{y2sd} | 1.45 | 1.97 | 87.3 | 118.5 | |
| M_{y3sd} | 2.88 | 3.40 | 172.8 | 204.0 | |
| M_{y4sd} | 2.65 | | 159.2 | | |
| M_{y4sd} | 2.31 | $\gamma_{g2} \cdot M_{y\text{e.g.}}$ | 138.6 | | |

| U.C.= | |
|-------|------|
| 0.28 | 0.41 |
| 0.37 | 0.50 |
| 0.74 | 0.87 |
| 0.68 | |
| 0.59 | |

| | |
|---------|---------|
| Datum: | 6-06-17 |
| Rev: | 0 |
| Auteur: | DvG |

 Betreft: **Golfbrug Cromvoirt, Jos van den Besselaar**
Dekplaat, plantenbak en verstijvers

Verstijver onder de dekplaat

$t = 12$ mm
 $h = 120$ mm
 $h_{tot} = 130$ mm
 $L_a = 1.575$ m

$G = 11.3$ kg/m
 $I = 583$ cm⁴

$W_{y_{max}} = 220.2$ cm³
 $W_{y_{min}} = 56.3$ cm³

h.o.h. hoofdbalken= overspanningslengte verstijvers

E.G.

| | | | |
|--------------------|---------------------|----------------|-------------------------------|
| $q_1 = 4.00$ kN/m | $M_{y1} = 1.24$ kNm | $(=1/8qL_a^2)$ | ter plaatse van 1) Loopvlak |
| $q_2 = 6.50$ kN/m | $M_{y2} = 2.01$ kNm | $(=1/8qL_a^2)$ | ter plaatse van 2) Grondvak |
| $q_3 = 16.00$ kN/m | $M_{y3} = 4.96$ kNm | $(=1/8qL_a^2)$ | ter plaatse van 3) Plantenbak |
| $q_4 = 18.25$ kN/m | $M_{y4} = 5.66$ kNm | $(=1/8qL_a^2)$ | ter plaatse van 4) Boom |

N.B. q-last

| | | | |
|------------------|---------------------|--------------|-------------------------------|
| $q_1 = 4.0$ kN/m | $M_{y1} = 1.24$ kNm | $(=1/8qL^2)$ | ter plaatse van 1) Loopvlak |
| $q_2 = 4.0$ kN/m | $M_{y2} = 1.24$ kNm | $(=1/8qL^2)$ | ter plaatse van 2) Grondvak |
| $q_3 = 4.0$ kN/m | $M_{y3} = 1.24$ kNm | $(=1/8qL^2)$ | ter plaatse van 3) Plantenbak |
| $q_4 = 3.0$ kN/m | $M_{y4} = 0.93$ kNm | $(=1/8qL^2)$ | ter plaatse van 4) Boom |

| | | |
|-----------------------|----------------------|--|
| | $\sigma_{sd} =$ | |
| | [N/mm ²] | |
| $M_{y1sd} = 3.35$ kNm | 59.5 | |
| $M_{y2sd} = 4.51$ kNm | 80.1 | |
| $M_{y3sd} = 8.93$ kNm | 158.6 | |

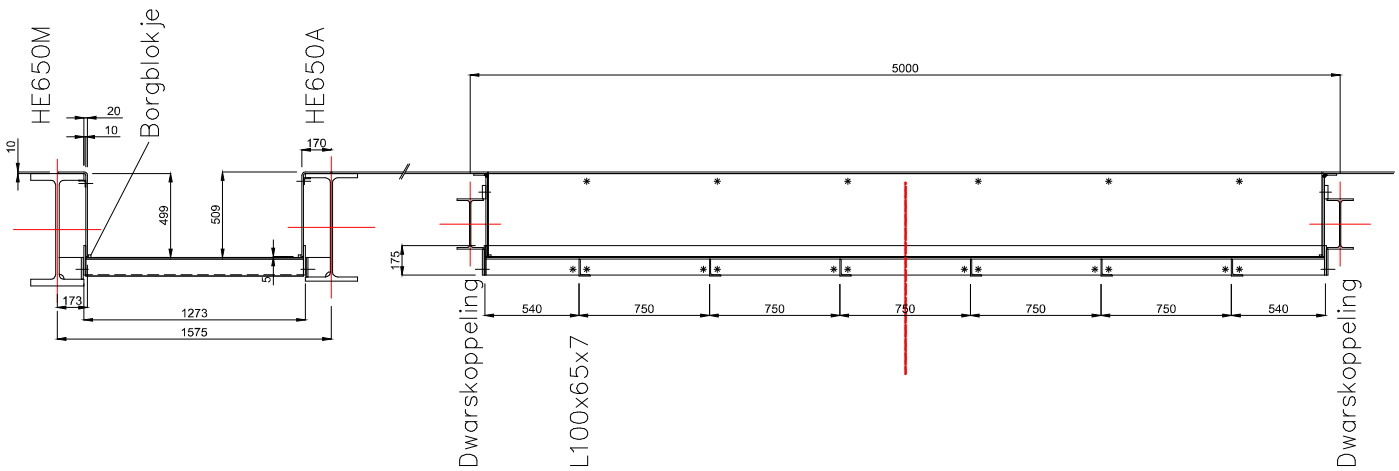
| |
|-------|
| U.C.= |
| 0.25 |
| 0.34 |
| 0.68 |

| | |
|---------|---------|
| Datum: | 6-06-17 |
| Rev: | 0 |
| Auteur: | DvG |

Betreft: **Golfbrug Cromvoirt, Jos van den Besselaar**

Dekplaat, plantenbak en verstijvers

Verstijver onder de plaat bij plantenbak



Profiel **L100*65*7**

h= 100 mm

htot= 110 mm

M_{y4sd} = 9.60 kNm

G= 8.8 kg/m

I= 540.2 cm⁴

σ_{sd} =
[N/mm²]

150.4

$W_{y_{max}}$ = 212.9 cm³

$W_{y_{min}}$ = 63.8 cm³

U.C.=

0.64

| | |
|---------|---------|
| Datum: | 6-06-17 |
| Rev: | 0 |
| Auteur: | DvG |

 Betreft: **Golfbrug Cromvoirt, Jos van den Besselaar**
Controle randbalk

Dit gedeelte bevat een handcontrole van het randprofiel

 σ geeft de karakteristieke spanning weer, met σ_{sd} wordt de rekenspanning (incl factoren) weergegeven.

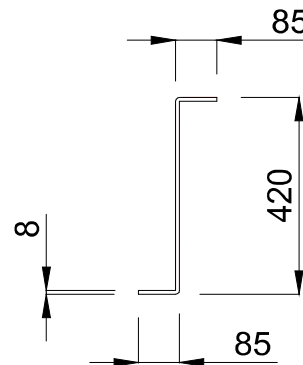
Materiaal S355

| | | | | |
|---------------|-----------------------|---|-----------------|--------------------------|
| $f_{y,u;d}$ = | 355 N/mm ² | | E= | 210000 N/mm ² |
| $f_{w,u;d}$ = | 262 N/mm ² | (uiterste spanning in de las volgens de EN) | | |
| γ_g = | 1.2 LF E.G. | | γ_{M1} = | 1.00 |
| γ_v = | 1.5 LF N.B. | | | |

Staafkrachten uit model

| Member | css | Case | N [kN] | Vy [kN] | Vz [kN] | Mx [kNm] | My [kNm] | Mz [kNm] |
|--------|----------|---------|-----------|------------|------------|-------------|-------------|-------------|
| B140 | CS13 - Z | CO7/2 | -16.10 | 1.28 | 14.71 | 1.36 | -0.06 | 0.01 |
| B290 | CS13 - Z | CO6/16 | 0.71 | -1.14 | -8.31 | 0.88 | 0.02 | -0.01 |
| B225 | CS13 - Z | CO10/10 | -11.86 | -4.06 | -18.79 | 4.16 | -1.04 | -0.19 |
| B128 | CS13 - Z | CO11/8 | -6.33 | 4.02 | 18.77 | -0.19 | -0.47 | -0.08 |
| B225 | CS13 - Z | CO8/20 | -10.20 | -2.07 | -18.99 | 1.96 | -0.75 | -0.11 |
| B128 | CS13 - Z | CO9/6 | -7.53 | 2.03 | 19.00 | 2.02 | -0.77 | -0.06 |
| B142 | CS13 - Z | CO10/10 | -8.71 | 3.59 | 14.61 | -2.91 | -0.08 | -0.07 |
| B225 | CS13 - Z | CO10/10 | -11.86 | -4.02 | -18.45 | 4.16 | -0.57 | -0.09 |
| B224 | CS13 - Z | CO1/21 | -10.23 | 0.00 | 0.00 | 0.19 | 10.19 | 1.10 |
| B224 | CS13 - Z | CO10/10 | -12.13 | 0.00 | 0.00 | 0.23 | 10.17 | 1.21 |

| | |
|------------------|----------|
| $M_{bysdmax}$ = | 10.2 kNm |
| $M_{bzs dmax}$ = | 1.2 kNm |
| M_{tsdmax} = | 4.2 kNm |


Profiel

| | | | | | | |
|-------------|-----------------------|---------|-----------------------|------------------|-----------------------|-------------------|
| A= | 45.9 cm ² | I_y = | 10168 cm ⁴ | i_y = | 148.8 mm | |
| W_{ely} = | 484.2 cm ³ | I_z = | 84 cm ⁴ | i_z = | 13.5 mm | |
| W_{ply} = | 606.6 cm ³ | I_t = | 9.8 cm ⁴ | Gewicht | 36.0 kg/m | |
| W_{elz} = | 19.7 cm ³ | S_y = | 303.3 cm ³ | $S_{y\ flens}$ = | 140.1 cm ³ | |
| W_{plz} = | 35.4 cm ³ | S_z = | 17.7 cm ³ | A_{web} = | 33.6 cm ² | =hxt _w |

| | |
|--------|---------|
| Datum: | 6-06-17 |
| Rev: | 0 |
| Auteur | DvG |

 Betreft: **Golfbrug Cromvoirt, Jos van den Besselaar**
Controle randbalk
PROFIELGEGEVENS

h= 420.0 mm
 b= 85.0 mm
 r= 0.0 mm
 tw= 8.0 mm
 t_{fl}= 8.0 mm
 h_{lijf}= 404 mm

M_{by}
 M_{bz}
 M_t

Stress check

[N/mm²]
 $\sigma_{max} = 21.0 = M_{y\text{sd}}/W_{ely}$
 $\sigma_{max} = 61.5 = M_{z\text{sd}}/W_{elz}$
 $\tau_{max} = 338.3 = M_{t\text{sd}}/W_{elt}$ 1)

| |
|-------|
| U.C.= |
| 0.06 |
| 0.17 |
| 0.95 |

M_{plud}= 215.34 kNm

h/t= 50.5

Opmerking 1) De torsiecomponent wordt opgenomen door de dekplaat

Klasse 3 $\alpha_y = 0.81$ $h_{lijf\ max} = 807.1$ mm bij zuivere buiging >>> h_{lijf}
 273.4 mm bij zuivere druk

Druk in de bovenrand van het profiel
Doorsnede

h= 75 mm = t_{fl} + 1/6 × h_{lijf}
 b= 85 mm
 t= 8 mm
 r= 0 mm

Material= S355

L_{buc}= 2125 mm 0.85 (reductiefactor) L_{sys}= 2500

Static values

A= 12.19 cm² I_y= 63.4 cm⁴ i_y= 22.8 mm
 W_{ely}= 11.6 cm³ I_z= 85.8 cm⁴ i_z= 2.0 mm
 W_{elz}= 14.4 cm³ I_{max}= 119.6 cm⁴ i_a= 2.4 mm
 I_{min}= 29.6 cm⁴ i_b= 15.6 mm
 e_y= 20.65 mm h= 378.7 mm

i(y)= i(z)= 22.8 mm λe= 76.41 k= 0.49

i(ς)= 15.6 mm λ η= 136.43

t= 8 mm λ η rel= 1.79

λ_{ef;rel;max}= 1.79

ω_{buc}= 0.238

| |
|------------------------------|
| N _{cud} = 102.82 kN |
|------------------------------|

N= 16.10 kN N₁= 8.05 kN (=N/2)

M= 10.2 kNm N₂= 26.91 kN (=M/h)

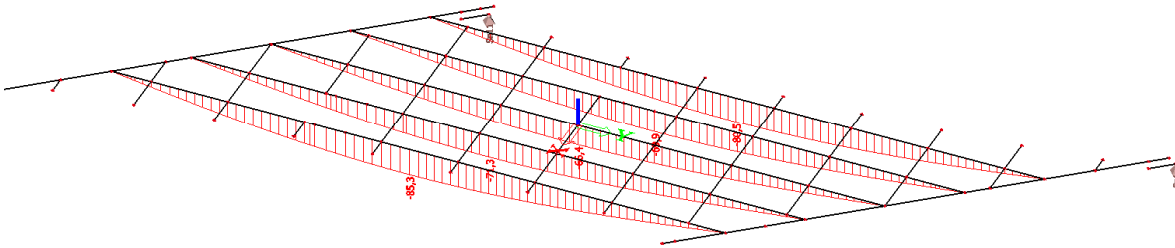
N_{csdot}= 34.96 kN

| |
|------------|
| U.C.= 0.34 |
|------------|

| | |
|---------|---------|
| Datum: | 6-06-17 |
| Rev: | 0 |
| Auteur: | DvG |

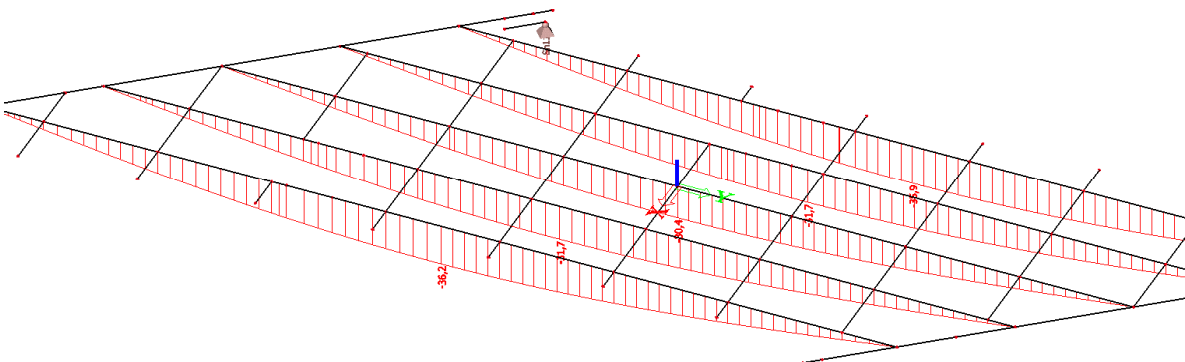
 Betreft: **Golfbrug Cromvoirt, Jos van den Besselaar**
Bepaling zeeg in vloerbalken HE650A/HE650M

Doorbuigingen Eigen Gewicht



| | Eigen Ge [mm] | N.B. [mm] | Architectonisch 80.0 mm | | | Zeeg= E.G. +1/3xN.B.+ Archit |
|--------|------------------|--------------|-------------------------|-------------------|----------------|------------------------------|
| | | | Zeeg [mm] | Praktisch [mm] | Totaal [mm] | |
| Balk 1 | -80.5 | -35.9 | 92.5 | 100.0 | 180.0 | E.G. L/ N.B. L/ -248 -557 |
| Balk 2 | -69.9 | -31.7 | 80.5 | 90.0 | 170.0 | -286 -631 |
| Balk 3 | -66.4 | -30.4 | 76.5 | 80.0 | 160.0 | -301 -658 |
| Balk 4 | -71.3 | -31.7 | 81.9 | 90.0 | 170.0 | -281 -631 |
| Balk 5 | -85.3 | -36.2 | 97.4 | 100.0 | 180.0 | -234 -552 |

Doorbuiging Nuttige Belasting



| | |
|--------|---------|
| Datum: | 6-06-17 |
| Rev: | 0 |
| Auteur | DvG |

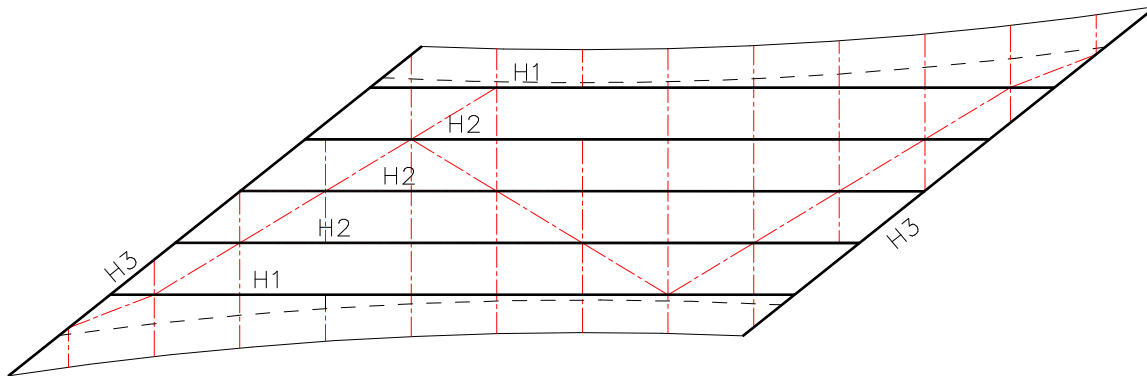
 Betreft: **Golfbrug Cromvoirt, Jos van den Besselaar**
Controle van de vloerbalken

Dit gedeelte bevat een aanvullende controle

 σ geeft de karakteristieke spanning weer, met σ_{sd} wordt de rekenspanning (incl factoren) weergegeven.

Materiaal S355

| | | | |
|---------------|-----------------------|---|--------------------------|
| $f_{y,u;d}$ = | 355 N/mm ² | E= | 210000 N/mm ² |
| $f_{w,u;d}$ = | 262 N/mm ² | (uiterste spanning in de las volgens de EN) | |
| γ_g = | 1.2 LF E.G. | γ_{M1} = | 1.00 |
| γ_v = | 1.5 LF N.B. | | |


Hoofdbalken H1

| | | |
|--------------|----------------|---|
| N_{csd} = | 198.22 kN druk | Krachten treden niet tegelijkertijd en op dezelfde locatie op |
| M_{ysd} = | 2311.23 kNm | |
| M_{zsd} = | 168.03 kNm | V_{zsd} = 513.81 kNm |
| L_{bucY} = | 2500 mm | |
| L_{bucZ} = | 2500 mm | |

 Profiel **HE650M**

| | | | | | |
|-------------|------------------------|---------|------------------------|-------------------------|---|
| A= | 373.7 cm ² | I_y = | 281666 cm ⁴ | i_y = | 274.5 mm |
| W_{ely} = | 8433.1 cm ³ | I_z = | 18978 cm ⁴ | i_z = | 71.3 mm |
| W_{ply} = | 9657.0 cm ³ | I_t = | 1584.3 cm ⁴ | Gewicht= | 293.4 kg/m |
| W_{elz} = | 1244.4 cm ³ | S_y = | 4828.5 cm ³ | $S_{y \text{ flens}}$ = | 4049.4 cm ³ |
| W_{plz} = | 1935.6 cm ³ | S_z = | 967.8 cm ³ | A_{web} = | 140.28 cm ² = hxt _w |

| | |
|--------|---------|
| Datum: | 6-06-17 |
| Rev: | 0 |
| Auteur | DvG |

 Betreft: **Golfbrug Cromvoirt, Jos van den Besselaar**
Controle van de vloerbalken
Controle Alleen druk

Zuivere knik conform EN 1993-1-1, art. 6.3

h/w= 2.19

| | | | | | | | | |
|----------|---|------|-----------------------|-------|-----------------------|-------|---------------|-----------------------|
| Curve y= | A | 0.21 | $\lambda_y =$ | 9.1 | $\lambda_z =$ | 35.1 | $f_{yud} =$ | 355 N/mm ² |
| Curve z= | B | 0.34 | $\lambda_{\bar{y}} =$ | 0.12 | $\lambda_{\bar{z}} =$ | 0.45 | $\lambda_1 =$ | 77.51 |
| | | | $\chi_y =$ | 1.018 | $\chi_z =$ | 0.905 | $\gamma_m =$ | 1.0 |

 $N_{c;u;dY} = 13505.03$ kN

 $N_{c;u;dZ} = 12002.18$ kN

U.C.= 0.01

U.C.= 0.02

Zie de computer uitvoer voor van Mises checks

Stress check

 [N/mm²]

| | | | |
|-----|-------------------|---|--|
| (1) | $\sigma_{by} =$ | 274.1 = M_{ySD}/W_{ely} | |
| (2) | $\sigma_{fl} =$ | 223.5 | |
| (6) | $\sigma_{bz} =$ | 135.0 = M_{zSD}/W_{elz} | |
| (3) | $\sigma_c =$ | 5.3 = N_{cSD}/A | |
| (4) | $\tau_{max} =$ | 41.9 = $R_{maxSD} \times S / (t_w \times l)$ | |
| (5) | $\tau_{fl} =$ | 35.2 = $R_{maxSD} \times S_{fl} / (t_w \times l)$ | |
| | $\sigma_{equ1} =$ | 231.7 (2 en 5) | |
| | $\sigma_{equ2} =$ | 236.8 (2, 3 en 5) | |
| | $\sigma_{equ3} =$ | 279.4 (1 en 2) | |

U.C.=

0.77

0.38

0.20

0.65

0.67

0.79

 $\omega_{kip} = 0.95$
 $n_y/n_y-1 = 1.00$
 $n_z/n_z-1 = 1.00$
 $\sigma_{b2} = 288.5 = M_{ySD}/W_{el}/\omega_{kip.ny/n_y-1}$
 $\sigma_{c2} = 5.9 = N_{cSD}/A/\chi_z$
 $\sigma_{tot} = 294.4$

0.83

Hoofdbalken H2
 $N_{cSD} = 130.54$ kN druk

 $M_{ySD} = 1216.79$ kNm

 $M_{zSD} = 50.27$ kNm

 $L_{bucY} = 2500$ mm

 $L_{bucZ} = 2500$ mm

Krachten treden niet tegelijkertijd en op dezelfde locatie op

 $V_{zSD} = 264.86$ kNm

Profiel HE650A
 $A = 241.6$ cm²
 $W_{ely} = 5474.3$ cm³
 $W_{ply} = 6136.3$ cm³
 $W_{elz} = 781.5$ cm³
 $W_{plz} = 1204.8$ cm³
 $I_y = 175177$ cm⁴
 $I_z = 11722$ cm⁴
 $I_t = 457.6$ cm⁴
 $S_y = 3068.1$ cm³
 $S_z = 602.4$ cm³
 $i_y = 269.2$ mm

 $i_z = 69.7$ mm

Gewicht= 189.7 kg/m

 $S_{y\ flens} = 2567.3$ cm³
 $A_{web} = 86.4$ cm²

 =hxt_w

| | |
|---------|---------|
| Datum: | 6-06-17 |
| Rev: | 0 |
| Auteur: | DvG |

 Betreft: **Golfbrug Cromvoirt, Jos van den Besselaar**
Controle van de vloerbalken
Controle Alleen druk

Zuivere knik conform EN 1993-1-1, art. 6.3

| | | | | | | | |
|----------|------|------|-----------------------|-------|-----------------------|-------|-----------------------------------|
| h/w= | 2.13 | | | | | | |
| Curve y= | A | 0.21 | $\lambda_y =$ | 9.3 | $\lambda_z =$ | 35.9 | $f_{yud} =$ 355 N/mm ² |
| Curve z= | B | 0.34 | $\lambda_{\bar{y}} =$ | 0.12 | $\lambda_{\bar{z}} =$ | 0.46 | $\lambda_1 =$ 77.51 |
| | | | $\chi_y =$ | 1.017 | $\chi_z =$ | 0.900 | $\gamma_m =$ 1.0 |

$$N_{c;u;dY} = 8727.32 \text{ kN}$$

$$N_{c;u;dZ} = 7722.13 \text{ kN}$$

$$U.C. = 0.01$$

$$U.C. = 0.02$$

Zie de computer uitvoer voor van Mises checks

Stress check

| | | | |
|-----|-------------------|---|-------|
| | | [N/mm ²] | U.C.= |
| (1) | $\sigma_{by} =$ | 222.3 = M_{ySD}/W_{ely} | 0.63 |
| (2) | $\sigma_{fl} =$ | 189.2 | |
| (6) | $\sigma_{bz} =$ | 64.3 = M_{zSD}/W_{elz} | 0.18 |
| (3) | $\sigma_c =$ | 5.4 = N_{cSD}/A | |
| (4) | $\tau_{max} =$ | 34.4 = $R_{maxSD} \times S / (t_w \times l)$ | 0.17 |
| (5) | $\tau_{fl} =$ | 28.8 = $R_{maxSD} \times S_{fl} / (t_w \times l)$ | |
| | $\sigma_{equ1} =$ | 195.7 (2 en 5) | 0.55 |
| | $\sigma_{equ2} =$ | 200.9 (2, 3 en 5) | 0.57 |
| | $\sigma_{equ3} =$ | 227.7 (1 en 2) | 0.64 |
| | $\omega_{kip} =$ | 0.94 | |
| | $n_y/n_y - 1 =$ | 1.00 | |
| | $n_z/n_z - 1 =$ | 1.00 | |
| | $\sigma_{b2} =$ | 236.5 = $M_{ySD}/W_{el}/\omega_{kip.ny}/n_y - 1$ | |
| | $\sigma_{c2} =$ | 6.0 = $N_{cSD}/A/\chi_z$ | |
| | $\sigma_{tot} =$ | 242.5 | 0.68 |

Oplegbalken H3

$$N_{cSD} = 292.93 \text{ kN druk}$$

$$M_{ySD} = 224.74 \text{ kNm}$$

$$M_{zSD} = 64.49 \text{ kNm}$$

$$L_{bucY} = 1575 \text{ mm}$$

$$L_{bucZ} = 1575 \text{ mm}$$

Krachten treden niet tegelijkertijd en op dezelfde locatie op

$$M_{tSD} = 27.64 \text{ kNm}$$

$$V_{zSD} = 179.65 \text{ kNm}$$

 Profiel **HE650A**

$$A = 241.6 \text{ cm}^2$$

$$W_{ely} = 5474.3 \text{ cm}^3$$

$$W_{ply} = 6136.3 \text{ cm}^3$$

$$W_{elz} = 781.5 \text{ cm}^3$$

$$W_{plz} = 1204.8 \text{ cm}^3$$

$$I_y = 175177 \text{ cm}^4$$

$$I_z = 11722 \text{ cm}^4$$

$$I_t = 457.6 \text{ cm}^4$$

$$S_y = 3068.1 \text{ cm}^3$$

$$S_z = 602.4 \text{ cm}^3$$

$$i_y = 269.2 \text{ mm}$$

$$i_z = 69.7 \text{ mm}$$

$$\text{Gewicht} = 189.7 \text{ kg/m}$$

$$S_{y \text{ flens}} = 2567.3 \text{ cm}^3$$

$$A_{web} = 86.4 \text{ cm}^2 = h \times t_w$$

Controle Alleen druk

Zuivere knik conform EN 1993-1-1, art. 6.3

| | | | | | | | |
|----------|------|------|-----------------------|-------|-----------------------|-------|-----------------------------------|
| h/w= | 2.13 | | | | | | |
| Curve y= | A | 0.21 | $\lambda_y =$ | 5.8 | $\lambda_z =$ | 22.6 | $f_{yud} =$ 355 N/mm ² |
| Curve z= | B | 0.34 | $\lambda_{\bar{y}} =$ | 0.08 | $\lambda_{\bar{z}} =$ | 0.29 | $\lambda_1 =$ 77.51 |
| | | | $\chi_y =$ | 1.027 | $\chi_z =$ | 0.967 | $\gamma_m =$ 1.0 |

$$N_{c;u;dY} = 8809.89 \text{ kN}$$

$$N_{c;u;dZ} = 8296.14 \text{ kN}$$

$$U.C. = 0.03$$

$$U.C. = 0.04$$

| | |
|--------|---------|
| Datum: | 6-06-17 |
| Rev: | 0 |
| Auteur | DvG |

 Betreft: **Golfbrug Cromvoirt, Jos van den Besselaar**
Controle van de vloerbalken

Zie de computer uitvoer voor von Mises checks

Stress check

| | | [N/mm ²] | U.C.= |
|-------------|-----|--|-------|
| | (1) | $\sigma_{by} = 41.1 = M_{y_{sd}} / W_{ely}$ | 0.12 |
| | (2) | $\sigma_{fl} = 34.9$ | |
| | (6) | $\sigma_{bz} = 82.5 = M_{z_{sd}} / W_{elz}$ | 0.23 |
| Torsie | (7) | $\tau_{lijf} = 81.5 = M_{tsd} / W_{eltwlijf}$ | 0.40 |
| | (8) | $\tau_{flens} = 157.0 = M_{tsd} / W_{eltwflens}$ | 0.77 |
| | (3) | $\sigma_c = 12.1 = N_{csd} / A$ | |
| Dwarskracht | (4) | $\tau_{max} = 23.3 = R_{max_{sd}} \times S / (t_w \times l)$ | 0.11 |
| | (5) | $\tau_{fl} = 19.5 = R_{max_{sd}} \times S_{fl} / (t_w \times l)$ | |

| | |
|---------|---------|
| Datum: | 6-06-17 |
| Rev: | 0 |
| Auteur: | DvG |

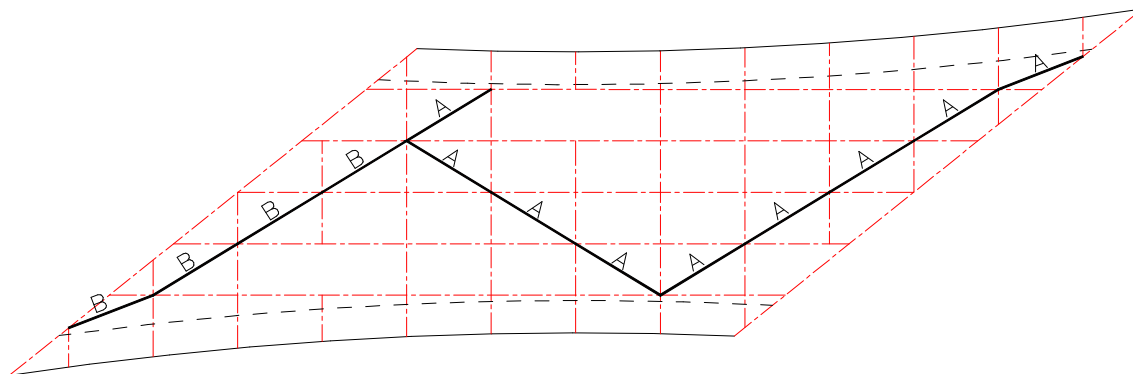
 Betreft: **Golfbrug Cromvoirt, Jos van den Besselaar**
Controle van de diagonalen

Dit gedeelte bevat een aanvullende controle

 σ geeft de karakteristieke spanning weer, met σ_{sd} wordt de rekenspanning (incl factoren) weergegeven.

Materiaal S355

| | | | |
|---------------|-----------------------|---|--------------------------|
| $f_{y,u;d}$ = | 355 N/mm ² | E = | 210000 N/mm ² |
| $f_{w,u;d}$ = | 262 N/mm ² | (uiterste spanning in de las volgens de EN) | |
| γ_g = | 1.2 LF E.G. | γ_{M1} = | 1.00 |
| γ_v = | 1.5 LF N.B. | | |


Vloer verbanden A

| | | |
|--------------|----------------|-------------|
| N_{csd} = | 352.00 kN druk | Zie ook D 5 |
| L_{bucY} = | 2955 mm | |
| L_{bucZ} = | 2955 mm | |

Profiel HE140A

| | | | | | |
|-------------|-----------------------|---------|----------------------|------------------------|---------------------------------------|
| A = | 31.4 cm ² | I_y = | 1033 cm ⁴ | i_y = | 57.3 mm |
| W_{ely} = | 155.3 cm ³ | I_z = | 389 cm ⁴ | i_z = | 35.2 mm |
| W_{ply} = | 173.5 cm ³ | I_t = | 8.1 cm ⁴ | Gewicht= | 24.7 kg/m |
| W_{elz} = | 55.6 cm ³ | S_y = | 86.7 cm ³ | $S_{y\text{ flens}}$ = | 80.3 cm ³ |
| W_{plz} = | 84.8 cm ³ | S_z = | 42.4 cm ³ | A_{web} = | 7.315 cm ² = $h \cdot x_t$ |

Controle Alleen druk

Zuivere knik conform EN 1993-1-1, art. 6.3

| | | | | | | | | |
|----------|------|------|---------------------|-------|---------------------|-------|---------------|-----------------------|
| h/w = | 0.95 | | | | | | | |
| Curve y= | B | 0.34 | λ_y = | 51.5 | λ_z = | 83.9 | f_{yud} = | 355 N/mm ² |
| Curve z= | C | 0.49 | $\bar{\lambda}_y$ = | 0.66 | $\bar{\lambda}_z$ = | 1.08 | λ_1 = | 77.51 |
| | | | χ_y = | 0.803 | χ_z = | 0.493 | γ_m = | 1.0 |

| | |
|----------------|-----------|
| $N_{c;u;dY}$ = | 895.77 kN |
| $N_{c;u;dZ}$ = | 550.18 kN |

| | |
|-------|------|
| U.C.= | 0.39 |
| U.C.= | 0.64 |

| | |
|--------|---------|
| Datum: | 6-06-17 |
| Rev: | 0 |
| Auteur | DvG |

 Betreft: **Golfbrug Cromvoirt, Jos van den Besselaar**
Controle van de diagonalen
Vloer verbanden B

$N_{csd} = 425.00$ kN druk Zie ook D 6
 $L_{bucY} = 2955$ mm
 $L_{bucZ} = 2955$ mm

Profiel HE160A

| | | |
|-----------------------------------|-------------------------------|--|
| $A = 38.8$ cm ² | $I_y = 1673$ cm ⁴ | $i_y = 65.7$ mm |
| $W_{ely} = 220.1$ cm ³ | $I_z = 615$ cm ⁴ | $i_z = 39.8$ mm |
| $W_{ply} = 245.1$ cm ³ | $I_t = 12.1$ cm ⁴ | Gewicht = 30.4 kg/m |
| $W_{elz} = 76.9$ cm ³ | $S_y = 122.6$ cm ³ | $S_{y\ flens} = 113.5$ cm ³ |
| $W_{plz} = 117.6$ cm ³ | $S_z = 58.8$ cm ³ | $A_{web} = 9.12$ cm ² =hxt _w |

Controle Alleen druk

Zuivere knik conform EN 1993-1-1, art. 6.3

| | | | | | |
|--------------|------|----------------------------|----------------------------|-----------------------------------|--|
| $h/w = 0.95$ | | | | | |
| Curve y = B | 0.34 | $\lambda_y = 45.0$ | $\lambda_z = 74.2$ | $f_{yud} = 355$ N/mm ² | |
| Curve z = C | 0.49 | $\lambda_{\bar{y}} = 0.58$ | $\lambda_{\bar{z}} = 0.96$ | $\lambda_1 = 77.51$ | |
| | | $\chi_y = 0.847$ | $\chi_z = 0.565$ | $\gamma_m = 1.0$ | |

| |
|---------------------------|
| $N_{c;u;dY} = 1165.48$ kN |
|---------------------------|

| |
|--------------------------|
| $N_{c;u;dZ} = 778.08$ kN |
|--------------------------|

| |
|-------------|
| U.C. = 0.36 |
|-------------|

| |
|-------------|
| U.C. = 0.55 |
|-------------|

| | |
|---------|---------|
| Datum: | 6-06-17 |
| Rev: | 0 |
| Auteur: | DvG |

 Betreft: **Golfbrug Cromvoirt, Jos van den Besselaar**

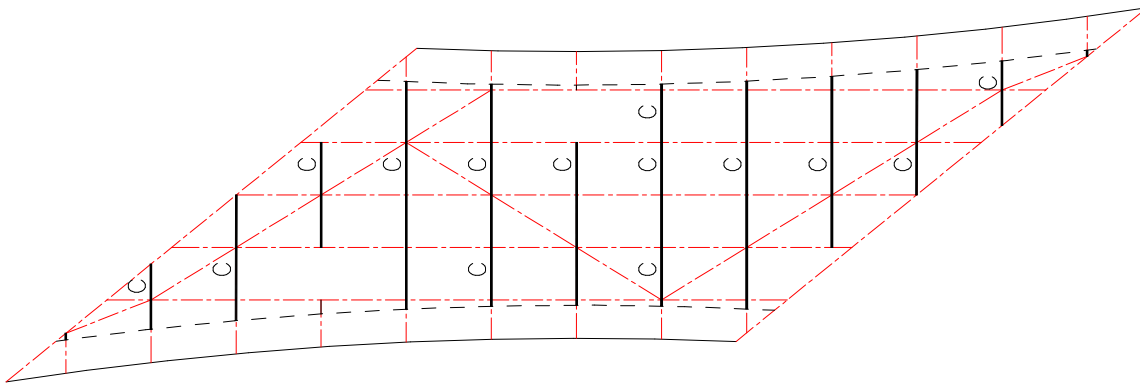
Controle van de dwars koppelingen

Dit gedeelte bevat een aanvullende controle

 σ geeft de karakteristieke spanning weer, met σ_{sd} wordt de rekenspanning (incl factoren) weergegeven.

Materiaal S355

| | | | |
|---------------|-----------------------|---|--------------------------|
| $f_{y,u;d}$ = | 355 N/mm ² | E = | 210000 N/mm ² |
| $f_{w,u;d}$ = | 262 N/mm ² | (uiterste spanning in de las volgens de EN) | |
| γ_g = | 1.2 LF E.G. | γ_{M1} = | 1.00 |
| γ_v = | 1.5 LF N.B. | | |



Dwarskoppelingen C

| | | |
|--------------|----------------|---|
| N_{csd} = | 199.90 kN druk | (Trek is gerekend als druk) |
| M_{ysd} = | 75.78 kNm | Krachten treden niet tegelijkertijd en op dezelfde locatie op |
| M_{zsd} = | 16.49 kNm | V_{zsd} = 108.33 kNm |
| L_{bucY} = | 1575 mm | |
| L_{bucZ} = | 1575 mm | |

Profiel IPE300

| | | | | | |
|-------------|-----------------------|---------|-----------------------|------------------------|---|
| A = | 53.8 cm ² | I_y = | 8356 cm ⁴ | i_y = | 124.6 mm |
| W_{ely} = | 557.1 cm ³ | I_z = | 604 cm ⁴ | i_z = | 33.5 mm |
| W_{ply} = | 628.4 cm ³ | I_t = | 19.9 cm ⁴ | Gewicht= | 42.2 kg/m |
| W_{elz} = | 80.5 cm ³ | S_y = | 314.2 cm ³ | $S_{y\text{ flens}}$ = | 256.6 cm ³ |
| W_{plz} = | 125.2 cm ³ | S_z = | 62.6 cm ³ | A_{web} = | 21.3 cm ² = hxt _w |

| | |
|--------|---------|
| Datum: | 6-06-17 |
| Rev: | 0 |
| Auteur | DvG |

 Betreft: **Golfbrug Cromvoirt, Jos van den Besselaar**
Controle van de dwars koppelingen

Dit gedeelte bevat een aanvullende controle

Controle Alleen druk

Zuivere knik conform EN 1993-1-1, art. 6.3

| | | | | | | | |
|----------|------|------|----------------------|-------|----------------------|-------|----------------------------------|
| h/w= | 2.00 | | | | | | |
| Curve y= | A | 0.21 | $\lambda_y=$ | 12.6 | $\lambda_z=$ | 47.0 | $f_{yud}=$ 355 N/mm ² |
| Curve z= | B | 0.34 | $\lambda_{\bar{y}}=$ | 0.16 | $\lambda_{\bar{z}}=$ | 0.61 | $\lambda_1=$ 77.51 |
| | | | $\chi_y=$ | 1.008 | $\chi_z=$ | 0.834 | $\gamma_m=$ 1.0 |

| | |
|---------------|------------|
| $N_{c;u;dY}=$ | 1925.67 kN |
| $N_{c;u;dZ}=$ | 1592.59 kN |

| | |
|-------|------|
| U.C.= | 0.10 |
| U.C.= | 0.13 |

Zie de computer uitvoer voor von Mises checks

Stress check

| | | [N/mm ²] | U.C.= |
|-----------------|------------------|--|-------|
| (1) | $\sigma_b=$ | 136.0 = M_{ySD}/W_{el} | 0.38 |
| (2) | $\sigma_{fl}=$ | 115.4 | |
| (3) | $\sigma_c=$ | 37.1 = N_{cSD}/A | |
| (4) | $\tau_{max}=$ | 57.4 = $R_{maxSD} \times S / (t_w \times I)$ | 0.28 |
| (5) | $\tau_{fl}=$ | 46.9 = $R_{maxSD} \times S_{fl} / (t_w \times I)$ | |
| | $\sigma_{equ1}=$ | 141.1 (2 en 5) | 0.40 |
| | $\sigma_{equ2}=$ | 172.8 (2, 3 en 5) | 0.49 |
| | $\sigma_{equ3}=$ | 173.2 (1 en 2) | 0.49 |
| $\omega_{kip}=$ | 0.9 | | |
| $n_y/n_y-1=$ | 1.00 | $\sigma_{b2}=$ 151.1 = $M_{ySD}/W_{el}/\omega_{kip,n_y/n_y-1}$ | |
| $n_z/n_z-1=$ | 1.03 | $\sigma_{c2}=$ 44.6 = $N_{cSD}/A/\chi_z$ | |
| | | $\sigma_{tot}=$ 195.7 | 0.55 |

| | | |
|--|--|--|
|  Tel (0)10 - 482 68 50 www.pt-structural.com | Brug Golfbaan Cromvoirts Landgoed BV | Doc.nr. : 009 Rev.nr. : 0 Datum : 06-06-2017 |
| | Jos van den Bersselaar Constructie BV Statische berekening van de Golfbrugconstructie | Pagina : 9 |

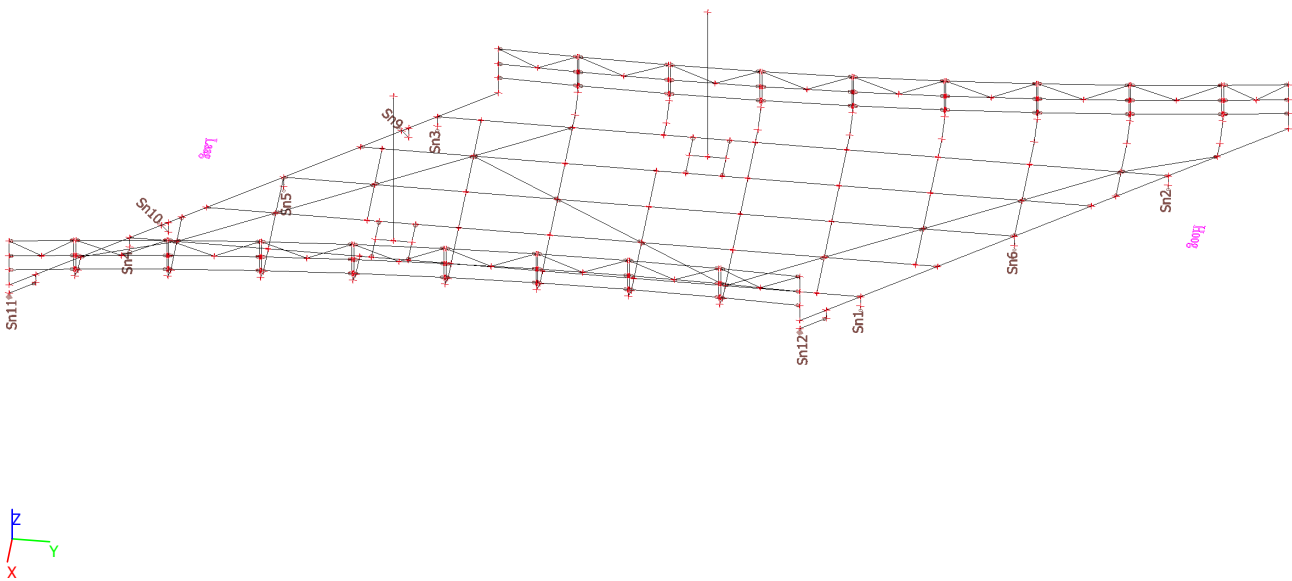
Appendix C Computer uitvoer

- C 1 Uitvoer hoofdmodel
- C 2 Uitvoer plaatmodel zijpanelen

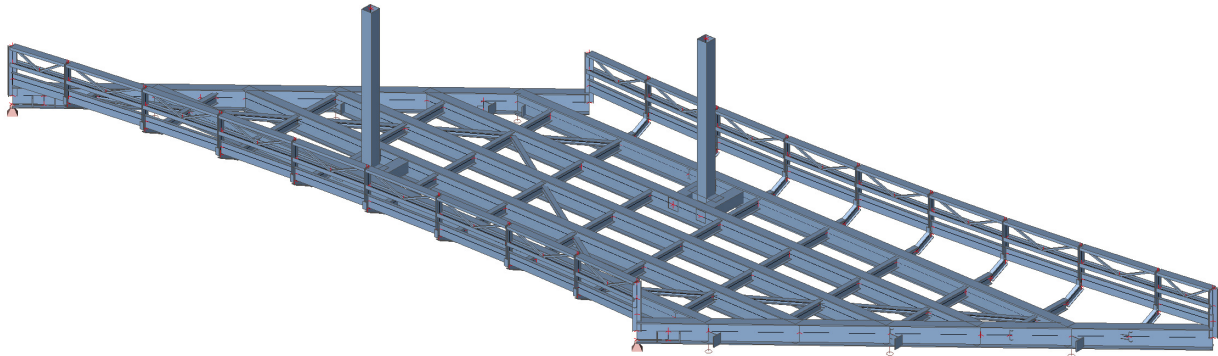
1. Algemene Informatie

Het toegepaste materiaal is S355. De aangegeven leuningen zijn indicatief en alleen gebruikt voor de belastinginvoer. De verbindingen tussen de leuningelementen onderling zijn scharnierend en schuivend zodat de leuningen in het globale systeem geen dragende functie hebben. Hetzelfde geldt voor de 2 "bomen" die als een staalprofiel van 5m hoog zijn aangegeven. In het brugdek zijn twee profielen opgenomen, die er voor zorgen dat de krachten worden afgegeven, maar geen dragend effect in de brugconstructie verzorgen.

2. Analysis model



3. Analysis model / Steel data



4. Load cases

| Name | Description Spec | Action type Load type | LoadGroup | Direction |
|------|---------------------|--------------------------|-----------|-----------|
| LC1 | E.G. constructie | Permanent Self weight | LG1 | -Z |
| LC2 | E.G. aanvullend | Permanent Standard | LG1 | |
| LC3 | N.B. 1 Half | Permanent Standard | LG1 | |
| LC4 | N.B. 2 Geheel | Permanent Standard | LG1 | |
| LC5 | Wind Dwars | Permanent Standard | LG1 | |
| LC6 | Wind Langs | Permanent Standard | LG1 | |
| LC7 | Temperatuur 1 | Permanent Standard | LG1 | |
| LC8 | Temperatuur 2 | Permanent Standard | LG1 | |
| LC9 | Zettingen 1 | Permanent Standard | LG1 | |
| LC10 | Zettingen 2 | Permanent Standard | LG1 | |
| LC11 | Leuning belasting | Permanent Standard | LG1 | |
| LC12 | Onderhoudswagen a | Permanent Standard | LG1 | |
| LC13 | Onderhoudswagen b | Permanent Standard | LG1 | |
| LC14 | Onderhoudswagen c | Permanent Standard | LG1 | |
| LC15 | Onderhoudswagen d | Permanent | LG1 | |

Project Jos van den Bersselaar

| Name | Description Spec | Action type Load type | LoadGroup | Direction |
|------|---------------------------------|--------------------------|-----------|-----------|
| | | Standard | | |
| LC16 | Onderhoudswagen e | Permanent Standard | LG1 | |
| LC17 | Onderh a/b horizontaal langs | Permanent Standard | LG1 | |
| LC18 | Temperatuur 3 | Permanent Standard | LG1 | |

5. Combinations

| Name | Description | Type | Load cases | Coeff. [-] |
|------|-------------|---------------------|--|---|
| CO1 | | Envelope - ultimate | LC1 - E.G. constructie LC2 - E.G. aanvullend LC3 - N.B. 1 Half | 1,32 1,20 1,50 |
| CO2 | | Envelope - ultimate | LC1 - E.G. constructie LC2 - E.G. aanvullend LC4 - N.B. 2 Geheel | 1,32 1,20 1,50 |
| CO3 | | Envelope - ultimate | LC1 - E.G. constructie LC2 - E.G. aanvullend LC3 - N.B. 1 Half LC5 - Wind Dwars | 1,32 1,20 0,60 1,50 |
| CO4 | | Envelope - ultimate | LC1 - E.G. constructie LC2 - E.G. aanvullend LC4 - N.B. 2 Geheel LC5 - Wind Dwars | 1,32 1,20 0,60 1,50 |
| CO5 | | Envelope - ultimate | LC1 - E.G. constructie LC2 - E.G. aanvullend LC5 - Wind Dwars | 0,90 0,90 1,50 |
| CO6 | | Envelope - ultimate | LC1 - E.G. constructie LC2 - E.G. aanvullend LC4 - N.B. 2 Geheel LC6 - Wind Langs | 1,32 1,20 0,60 1,50 |
| CO7 | | Envelope - ultimate | LC1 - E.G. constructie LC2 - E.G. aanvullend LC4 - N.B. 2 Geheel LC6 - Wind Langs LC7 - Temperatuur 1 LC8 - Temperatuur 2 | 1,32 1,20 0,60 -1,50 1,50 1,50 |
| CO8 | | Envelope - ultimate | LC1 - E.G. constructie LC2 - E.G. aanvullend LC3 - N.B. 1 Half LC9 - Zettingen 1 LC10 - Zettingen 2 | 1,32 1,20 1,50 1,50 1,50 |
| CO9 | | Envelope - ultimate | LC1 - E.G. constructie LC2 - E.G. aanvullend LC4 - N.B. 2 Geheel LC9 - Zettingen 1 LC10 - Zettingen 2 | 1,32 1,20 1,50 1,50 1,50 |
| CO10 | | Envelope - ultimate | LC1 - E.G. constructie LC2 - E.G. aanvullend LC3 - N.B. 1 Half LC5 - Wind Dwars LC11 - Leuning belasting | 1,32 1,20 1,50 0,45 1,50 |
| CO11 | | Envelope - ultimate | LC1 - E.G. constructie LC2 - E.G. aanvullend LC4 - N.B. 2 Geheel LC5 - Wind Dwars LC11 - Leuning belasting | 1,32 1,20 1,50 0,45 1,50 |
| CO12 | | Envelope - ultimate | LC1 - E.G. constructie LC2 - E.G. aanvullend LC3 - N.B. 1 Half LC5 - Wind Dwars LC11 - Leuning belasting | 0,90 0,90 0,60 0,45 1,50 |

Project Jos van den Bersselaar

| Name | Description | Type | Load cases | Coeff. [-] |
|--------------------------|-------------|---------------------|--|------------|
| CO13 | | Envelope - ultimate | LC1 - E.G. constructie | 1,32 |
| | | | LC2 - E.G. aanvullend | 1,20 |
| | | | LC4 - N.B. 2 Geheel | 0,60 |
| | | | LC12 - Onderhoudswagen a | 1,50 |
| | | | LC17 - Onderh a/b horizontaal langs | 1,50 |
| CO14 | | Envelope - ultimate | LC1 - E.G. constructie | 1,32 |
| | | | LC2 - E.G. aanvullend | 1,20 |
| | | | LC4 - N.B. 2 Geheel | 0,60 |
| | | | LC13 - Onderhoudswagen b | 1,50 |
| CO15 | | Envelope - ultimate | LC1 - E.G. constructie | 1,32 |
| | | | LC2 - E.G. aanvullend | 1,20 |
| | | | LC4 - N.B. 2 Geheel | 0,60 |
| | | | LC14 - Onderhoudswagen c | 1,50 |
| CO16 | | Envelope - ultimate | LC1 - E.G. constructie | 1,32 |
| | | | LC2 - E.G. aanvullend | 1,20 |
| | | | LC4 - N.B. 2 Geheel | 0,60 |
| | | | LC15 - Onderhoudswagen d | 1,50 |
| CO17 | | Envelope - ultimate | LC1 - E.G. constructie | 1,32 |
| | | | LC2 - E.G. aanvullend | 1,20 |
| | | | LC4 - N.B. 2 Geheel | 0,60 |
| | | | LC16 - Onderhoudswagen e | 1,50 |
| CO18 | | Envelope - ultimate | LC1 - E.G. constructie | 1,32 |
| | | | LC2 - E.G. aanvullend | 1,20 |
| | | | LC4 - N.B. 2 Geheel | 0,60 |
| | | | LC5 - Wind Dwars | 0,45 |
| | | | LC7 - Temperatuur 1 | 0,45 |
| | | | LC8 - Temperatuur 2 | 0,45 |
| | | | LC9 - Zettingen 1 | 1,50 |
| | | | LC10 - Zettingen 2 | 1,50 |
| LC12 - Onderhoudswagen a | 1,50 | | | |
| CO19 | | Envelope - ultimate | LC1 - E.G. constructie | 1,32 |
| | | | LC2 - E.G. aanvullend | 1,20 |
| | | | LC4 - N.B. 2 Geheel | 0,60 |
| | | | LC5 - Wind Dwars | 0,45 |
| | | | LC7 - Temperatuur 1 | 0,45 |
| | | | LC8 - Temperatuur 2 | 0,45 |
| | | | LC9 - Zettingen 1 | 1,50 |
| | | | LC10 - Zettingen 2 | 1,50 |
| LC13 - Onderhoudswagen b | 1,50 | | | |
| CO20 | | Envelope - ultimate | LC1 - E.G. constructie | 1,32 |
| | | | LC2 - E.G. aanvullend | 1,20 |
| | | | LC4 - N.B. 2 Geheel | 0,60 |
| | | | LC5 - Wind Dwars | 0,45 |
| | | | LC7 - Temperatuur 1 | 0,45 |
| | | | LC8 - Temperatuur 2 | 0,45 |
| | | | LC9 - Zettingen 1 | 1,50 |
| | | | LC10 - Zettingen 2 | 1,50 |
| LC14 - Onderhoudswagen c | 1,50 | | | |
| CO21 | | Envelope - ultimate | LC1 - E.G. constructie | 1,32 |
| | | | LC2 - E.G. aanvullend | 1,20 |
| | | | LC4 - N.B. 2 Geheel | 0,60 |
| | | | LC5 - Wind Dwars | 0,45 |
| | | | LC7 - Temperatuur 1 | 0,45 |
| | | | LC8 - Temperatuur 2 | 0,45 |
| | | | LC9 - Zettingen 1 | 1,50 |
| LC10 - Zettingen 2 | 1,50 | | | |
| LC15 - Onderhoudswagen d | 1,50 | | | |
| CO22 | | Envelope - ultimate | LC1 - E.G. constructie | 1,32 |
| | | | LC2 - E.G. aanvullend | 1,20 |
| | | | LC4 - N.B. 2 Geheel | 0,60 |
| | | | LC5 - Wind Dwars | 0,45 |
| | | | LC7 - Temperatuur 1 | 0,45 |
| | | | LC8 - Temperatuur 2 | 0,45 |
| LC9 - Zettingen 1 | 1,50 | | | |
| LC10 - Zettingen 2 | 1,50 | | | |

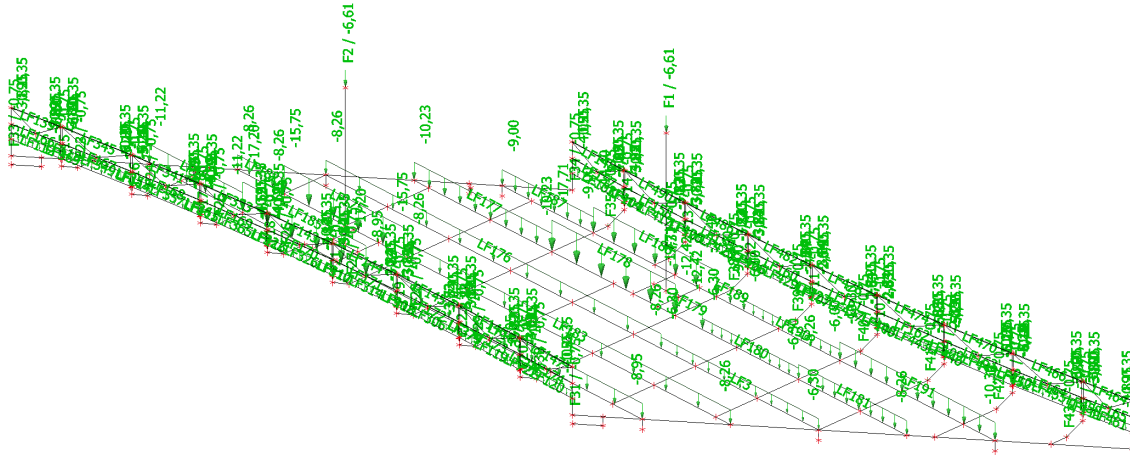
Project Jos van den Bersselaar

| Name | Description | Type | Load cases | Coeff. [-] |
|------|-------------|---------------------|--------------------------|------------|
| | | | LC16 - Onderhoudswagen e | 1,50 |
| CO23 | | Envelope - ultimate | LC1 - E.G. constructie | 1,32 |
| | | | LC2 - E.G. aanvullend | 1,20 |
| | | | LC3 - N.B. 1 Half | 1,50 |
| | | | LC5 - Wind Dwars | 0,45 |
| CO24 | | Envelope - ultimate | LC1 - E.G. constructie | 1,32 |
| | | | LC2 - E.G. aanvullend | 1,20 |
| | | | LC4 - N.B. 2 Geheel | 1,50 |
| | | | LC5 - Wind Dwars | 0,45 |
| CO25 | | Envelope - ultimate | LC1 - E.G. constructie | 1,32 |
| | | | LC2 - E.G. aanvullend | 1,20 |
| | | | LC4 - N.B. 2 Geheel | 0,60 |
| | | | LC5 - Wind Dwars | -1,50 |
| CO26 | | Envelope - ultimate | LC1 - E.G. constructie | 0,90 |
| | | | LC2 - E.G. aanvullend | 0,90 |
| | | | LC5 - Wind Dwars | -1,50 |
| CO27 | | Envelope - ultimate | LC1 - E.G. constructie | 1,32 |
| | | | LC2 - E.G. aanvullend | 1,20 |
| | | | LC4 - N.B. 2 Geheel | 0,60 |
| | | | LC5 - Wind Dwars | 1,50 |
| | | | LC7 - Temperatuur 1 | 0,45 |
| | | | LC8 - Temperatuur 2 | 0,45 |
| CO28 | | Envelope - ultimate | LC1 - E.G. constructie | 1,32 |
| | | | LC2 - E.G. aanvullend | 1,20 |
| | | | LC4 - N.B. 2 Geheel | 0,60 |
| | | | LC5 - Wind Dwars | 0,00 |
| | | | LC7 - Temperatuur 1 | 1,50 |
| | | | LC8 - Temperatuur 2 | 1,50 |
| | | | LC18 - Temperatuur 3 | 1,50 |
| CO29 | | Envelope - ultimate | LC1 - E.G. constructie | 1,32 |
| | | | LC2 - E.G. aanvullend | 1,20 |
| | | | LC4 - N.B. 2 Geheel | 0,60 |
| | | | LC5 - Wind Dwars | 0,45 |
| | | | LC6 - Wind Langs | 0,45 |
| | | | LC7 - Temperatuur 1 | 0,45 |
| | | | LC8 - Temperatuur 2 | 0,45 |
| | | | LC9 - Zettingen 1 | 1,50 |
| | | | LC10 - Zettingen 2 | 1,50 |
| | | | LC12 - Onderhoudswagen a | 1,50 |
| | | | LC18 - Temperatuur 3 | 0,45 |
| CO30 | | Envelope - ultimate | LC1 - E.G. constructie | 1,32 |
| | | | LC2 - E.G. aanvullend | 1,20 |
| | | | LC4 - N.B. 2 Geheel | 0,60 |
| | | | LC5 - Wind Dwars | 0,45 |
| | | | LC6 - Wind Langs | 0,45 |
| | | | LC7 - Temperatuur 1 | 0,45 |
| | | | LC8 - Temperatuur 2 | 0,45 |
| | | | LC9 - Zettingen 1 | 1,50 |
| | | | LC10 - Zettingen 2 | 1,50 |
| | | | LC13 - Onderhoudswagen b | 1,50 |
| | | | LC18 - Temperatuur 3 | 0,45 |
| CO31 | | Envelope - ultimate | LC1 - E.G. constructie | 1,32 |
| | | | LC2 - E.G. aanvullend | 1,20 |
| | | | LC4 - N.B. 2 Geheel | 0,60 |
| | | | LC5 - Wind Dwars | 0,45 |
| | | | LC6 - Wind Langs | 0,45 |
| | | | LC7 - Temperatuur 1 | 0,45 |
| | | | LC8 - Temperatuur 2 | 0,45 |
| | | | LC9 - Zettingen 1 | 1,50 |
| | | | LC10 - Zettingen 2 | 1,50 |
| | | | LC14 - Onderhoudswagen c | 1,50 |
| | | | LC18 - Temperatuur 3 | -0,45 |
| CO32 | | Envelope - ultimate | LC1 - E.G. constructie | 1,32 |
| | | | LC2 - E.G. aanvullend | 1,20 |
| | | | LC4 - N.B. 2 Geheel | 0,60 |
| | | | LC5 - Wind Dwars | 0,45 |

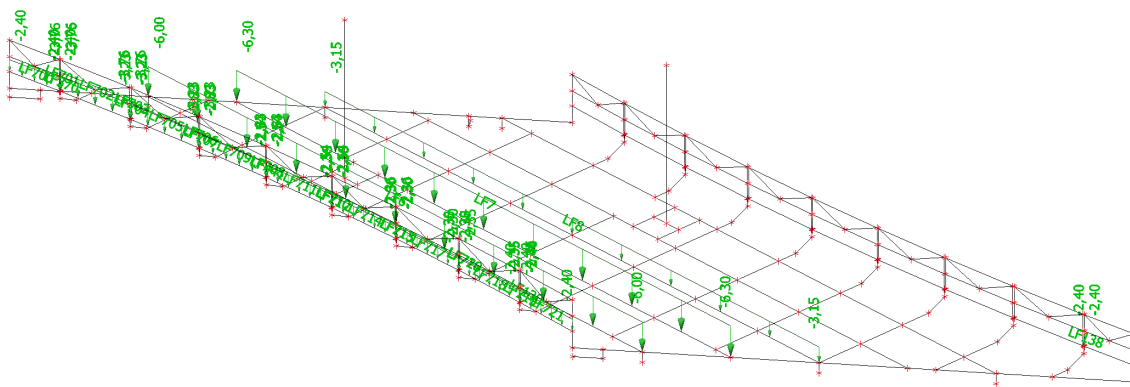
Project Jos van den Bersselaar

| Name | Description | Type | Load cases | Coeff. [-] |
|------|-------------|---------------------|--------------------------|------------|
| | | | LC6 - Wind Langs | 0,45 |
| | | | LC7 - Temperatuur 1 | 0,45 |
| | | | LC8 - Temperatuur 2 | 0,45 |
| | | | LC9 - Zettingen 1 | 1,50 |
| | | | LC10 - Zettingen 2 | 1,50 |
| | | | LC15 - Onderhoudswagen d | 1,50 |
| | | | LC18 - Temperatuur 3 | -0,45 |
| CO33 | | Envelope - ultimate | LC1 - E.G. constructie | 1,32 |
| | | | LC2 - E.G. aanvullend | 1,20 |
| | | | LC4 - N.B. 2 Geheel | 0,60 |
| | | | LC5 - Wind Dwars | 0,45 |
| | | | LC6 - Wind Langs | 0,45 |
| | | | LC7 - Temperatuur 1 | 0,45 |
| | | | LC8 - Temperatuur 2 | 0,45 |
| | | | LC9 - Zettingen 1 | 1,50 |
| | | | LC10 - Zettingen 2 | 1,50 |
| | | | LC16 - Onderhoudswagen e | 1,50 |
| | | | LC18 - Temperatuur 3 | 0,45 |
| CO41 | | Envelope - ultimate | LC1 - E.G. constructie | 1,10 |
| | | | LC2 - E.G. aanvullend | 1,00 |
| CO42 | | Envelope - ultimate | LC1 - E.G. constructie | 1,10 |
| | | | LC2 - E.G. aanvullend | 1,00 |
| | | | LC4 - N.B. 2 Geheel | 1,00 |
| CO43 | | Envelope - ultimate | LC1 - E.G. constructie | 1,10 |
| | | | LC2 - E.G. aanvullend | 1,00 |
| | | | LC4 - N.B. 2 Geheel | 0,40 |
| | | | LC5 - Wind Dwars | 1,00 |
| CO44 | | Envelope - ultimate | LC1 - E.G. constructie | 1,10 |
| | | | LC2 - E.G. aanvullend | 1,00 |
| | | | LC4 - N.B. 2 Geheel | 0,40 |
| | | | LC6 - Wind Langs | 1,00 |
| CO45 | | Envelope - ultimate | LC1 - E.G. constructie | 1,10 |
| | | | LC2 - E.G. aanvullend | 1,00 |
| | | | LC4 - N.B. 2 Geheel | 0,40 |
| | | | LC9 - Zettingen 1 | 1,00 |
| | | | LC10 - Zettingen 2 | 1,00 |
| CO46 | | Envelope - ultimate | LC1 - E.G. constructie | 1,10 |
| | | | LC2 - E.G. aanvullend | 1,00 |
| | | | LC4 - N.B. 2 Geheel | 0,40 |
| | | | LC13 - Onderhoudswagen b | 1,00 |
| CO47 | | Envelope - ultimate | LC1 - E.G. constructie | 1,10 |
| | | | LC2 - E.G. aanvullend | 1,00 |
| | | | LC4 - N.B. 2 Geheel | 0,40 |
| | | | LC9 - Zettingen 1 | 1,00 |
| | | | LC10 - Zettingen 2 | 1,00 |
| | | | LC13 - Onderhoudswagen b | 1,00 |
| CO48 | | Envelope - ultimate | LC1 - E.G. constructie | 1,10 |
| | | | LC2 - E.G. aanvullend | 1,00 |
| | | | LC4 - N.B. 2 Geheel | 1,00 |
| | | | LC6 - Wind Langs | -0,30 |
| | | | LC18 - Temperatuur 3 | -1,00 |
| CO49 | | Envelope - ultimate | LC1 - E.G. constructie | 1,10 |
| | | | LC2 - E.G. aanvullend | 1,00 |
| | | | LC4 - N.B. 2 Geheel | 1,00 |
| | | | LC6 - Wind Langs | -0,30 |
| | | | LC18 - Temperatuur 3 | 1,00 |

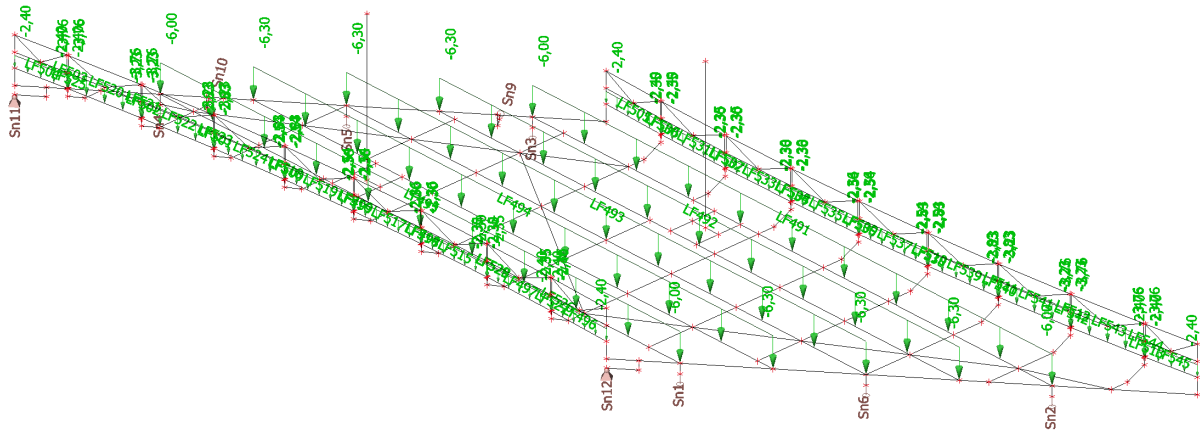
6. LC2 Eigen Gewicht aanvullend



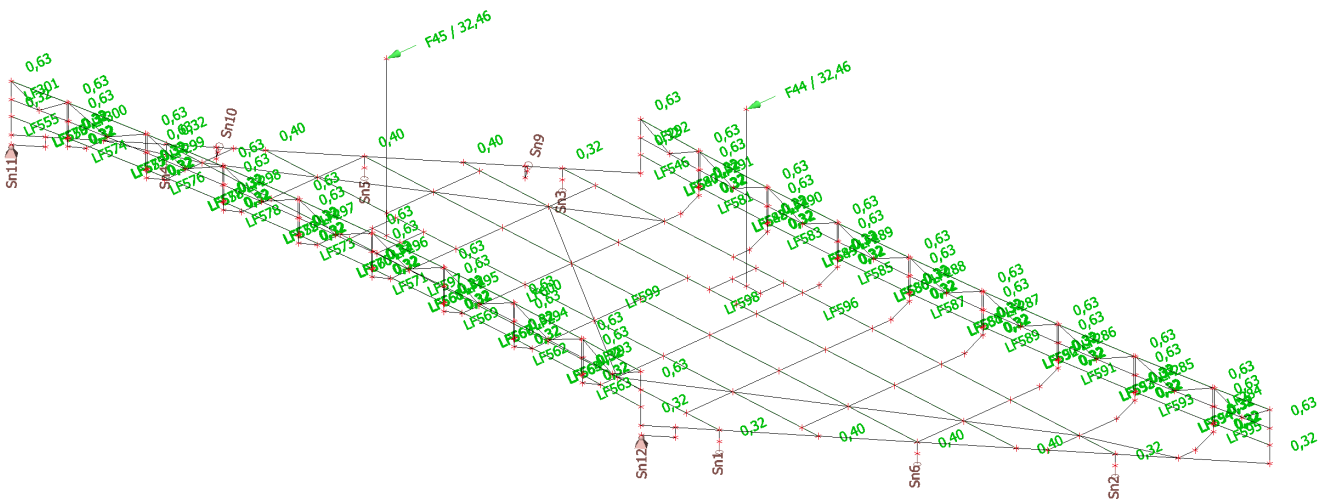
7. LC3 Nuttige Belasting Half



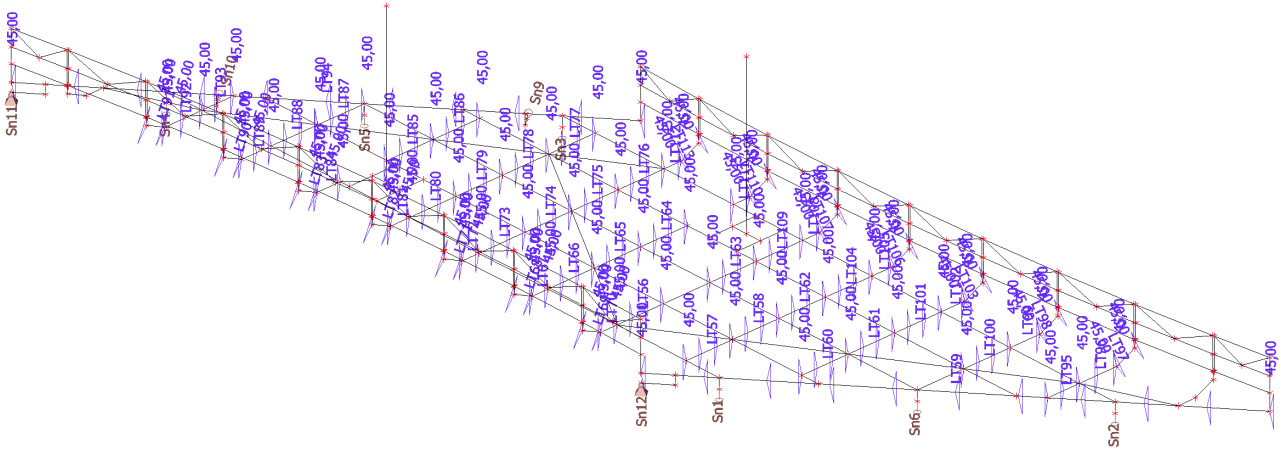
8. LC4 Nuttige Belasting Geheel



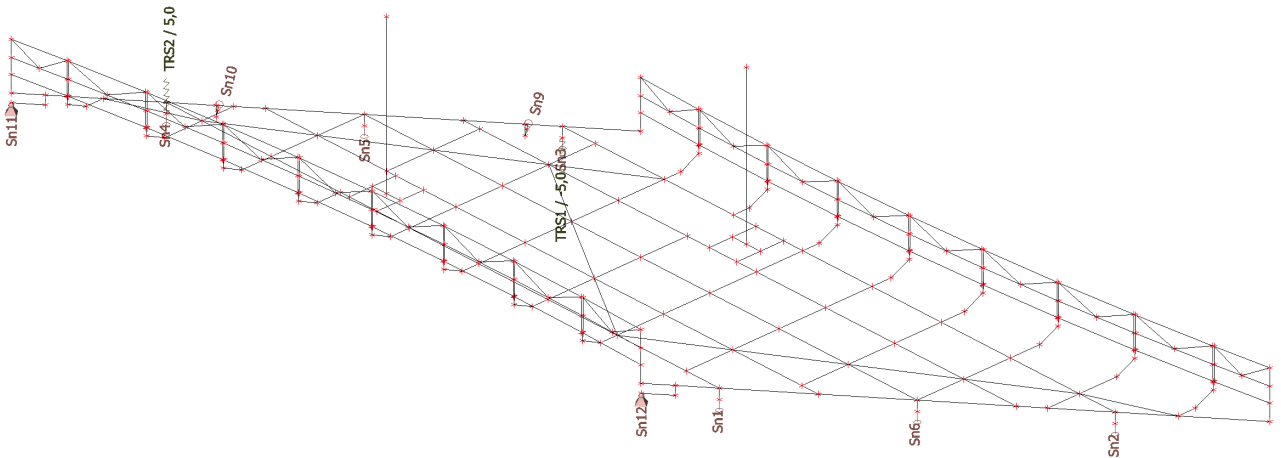
9. LC5 Wind Dwars



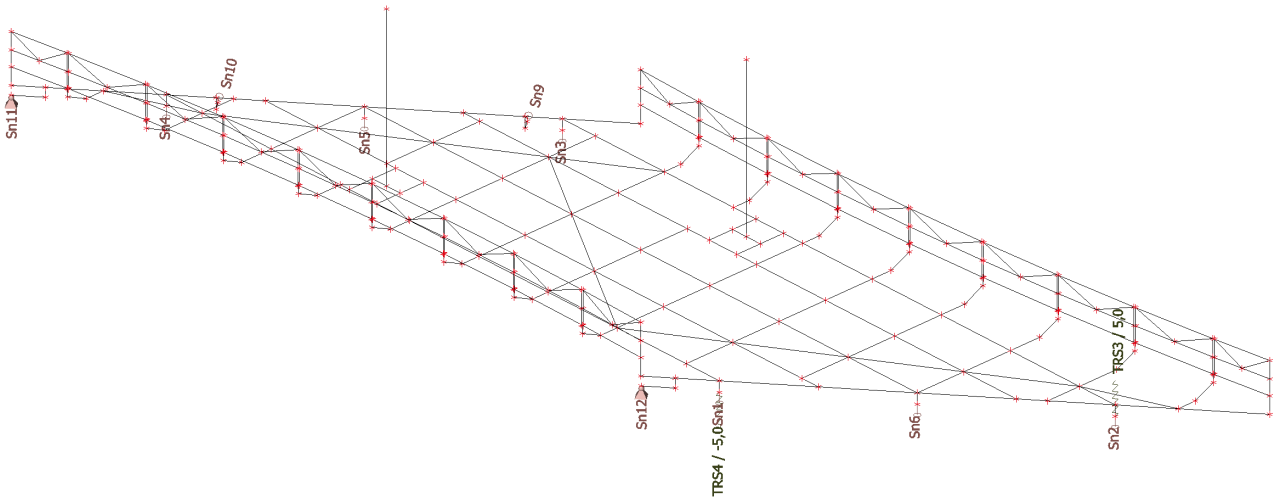
12. LC8 Temperatuur 2 (Dwars)



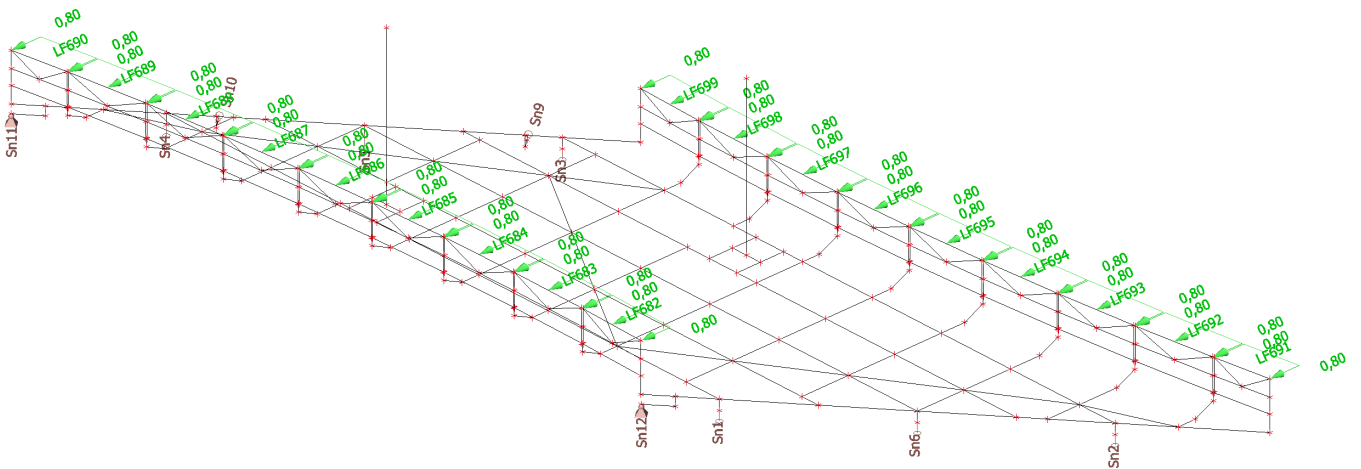
13. LC9 Zettingen 1



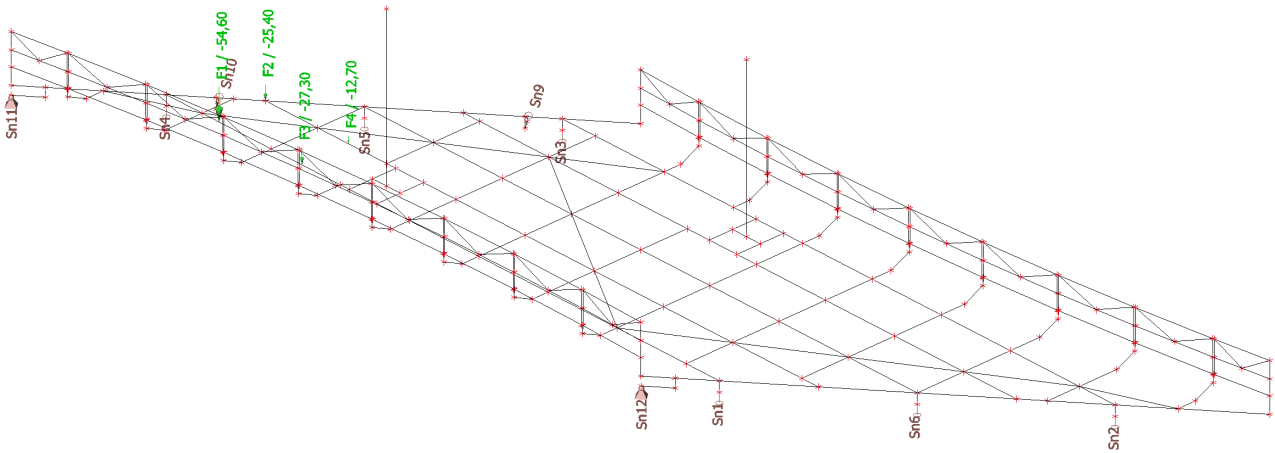
14. LC10 Zettingen 2



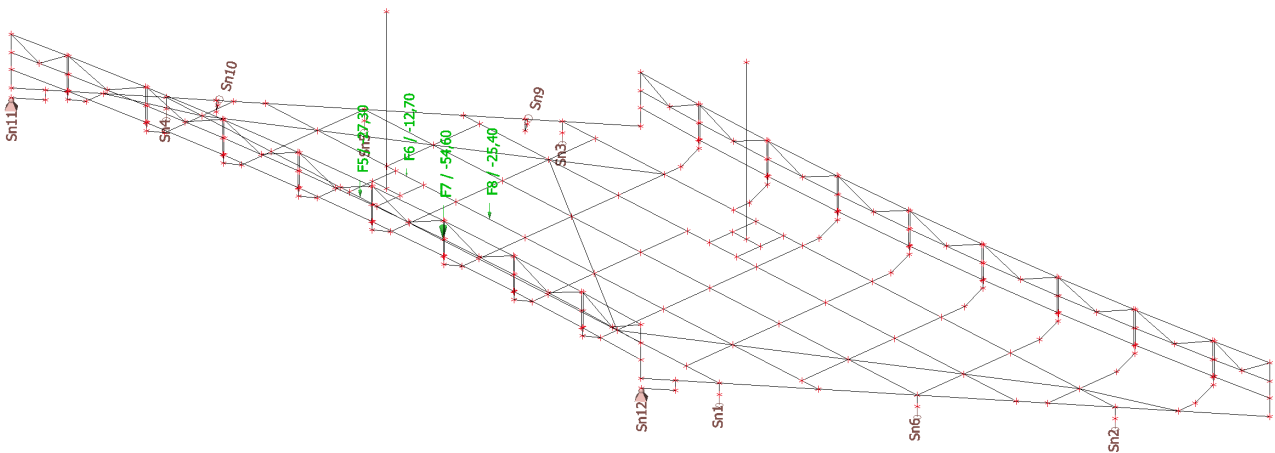
15. LC11 Leuning belasting



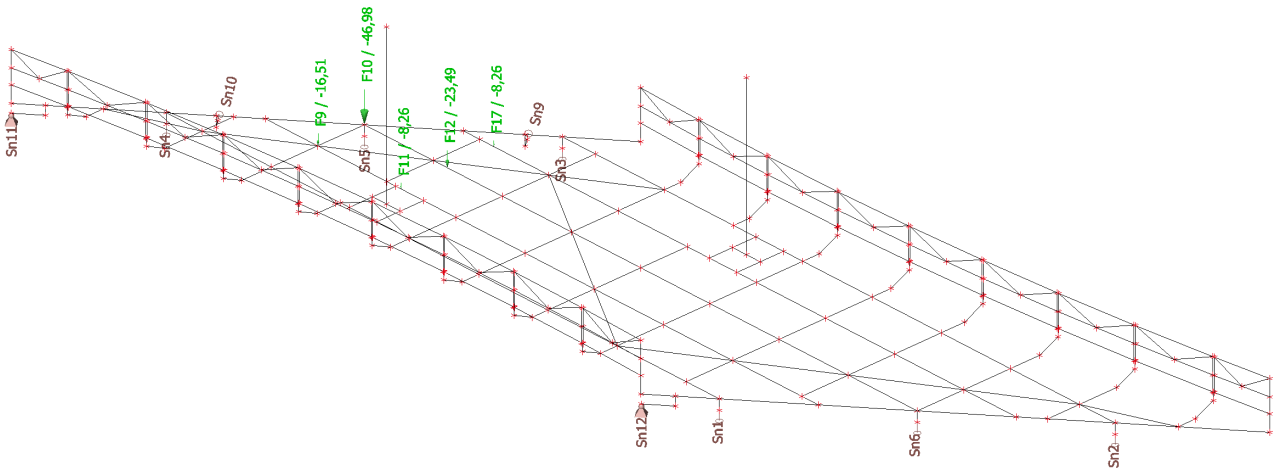
16. LC12 Onderhoud a



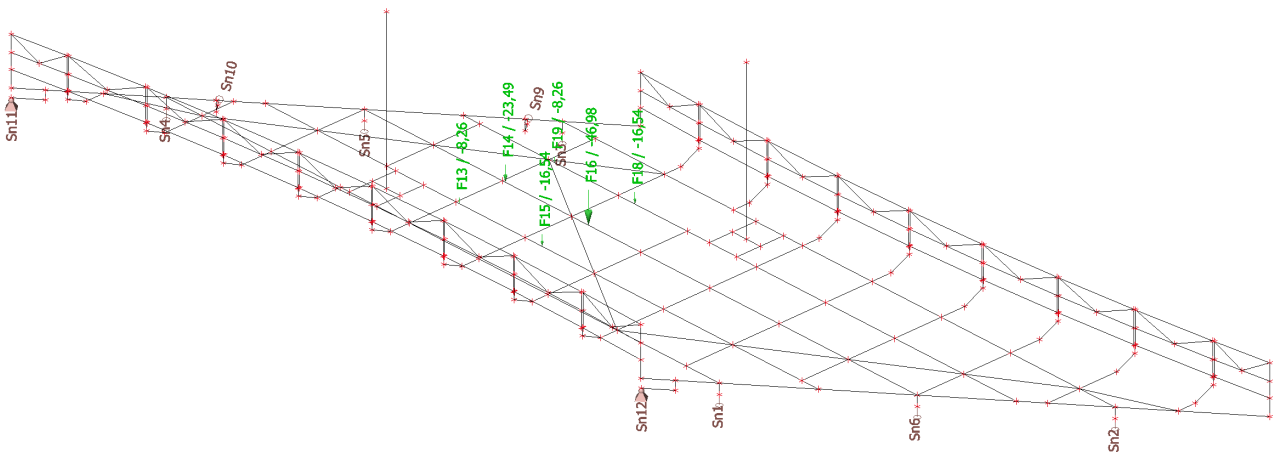
17. LC13 Onderhoud b



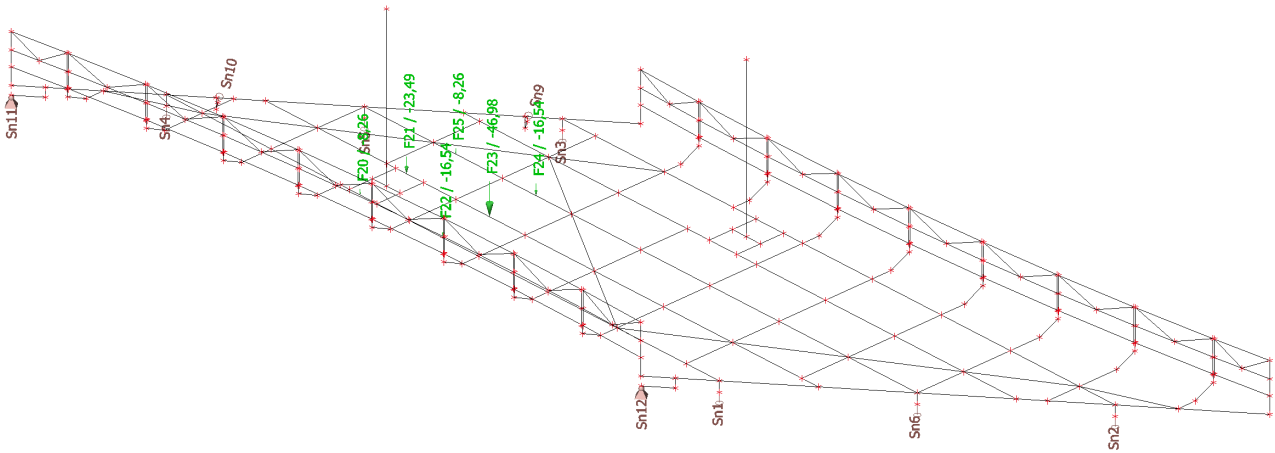
18. LC14 Onderhoud c



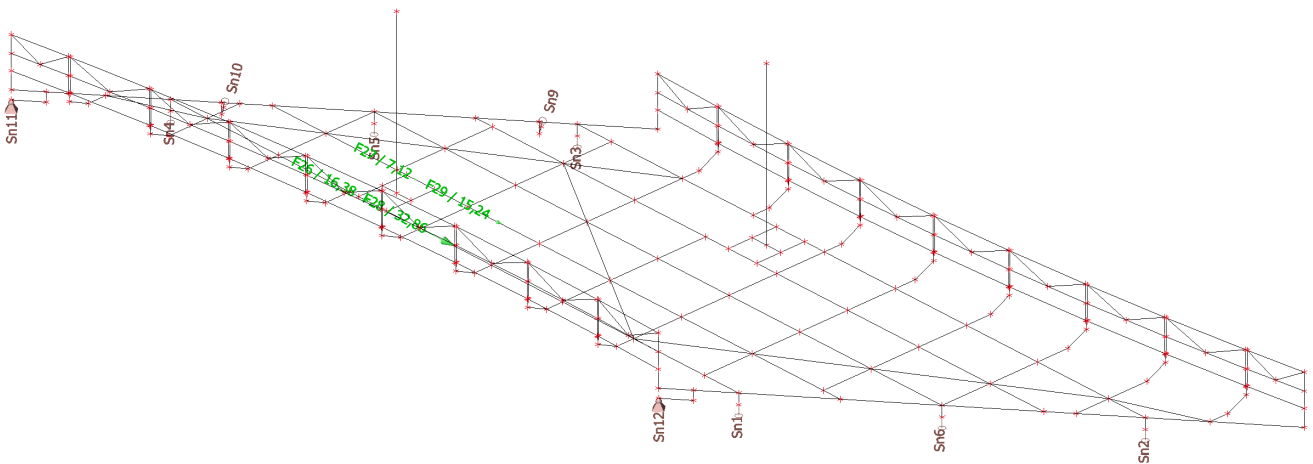
19. LC15 Onderhoud d



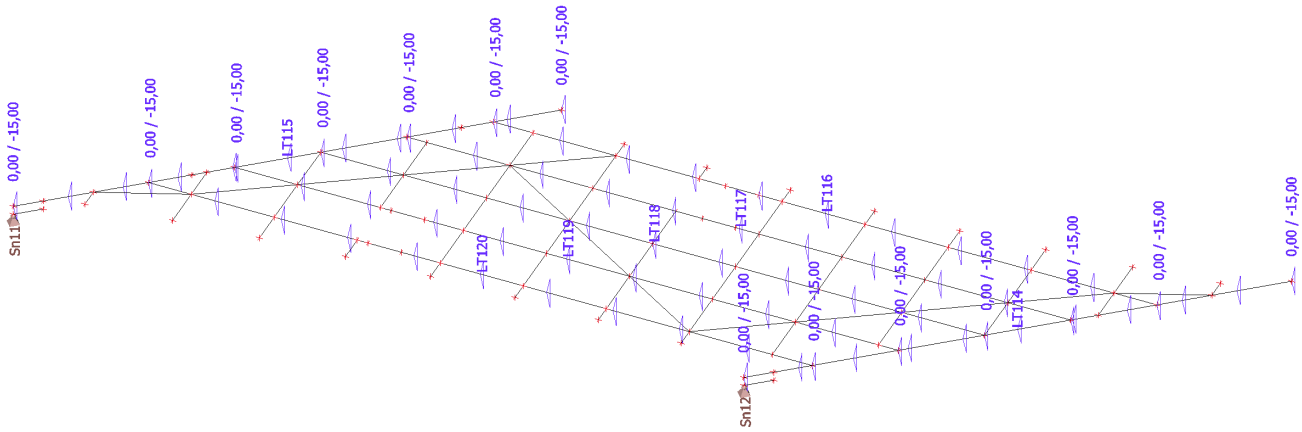
20. LC16 Onderhoud e



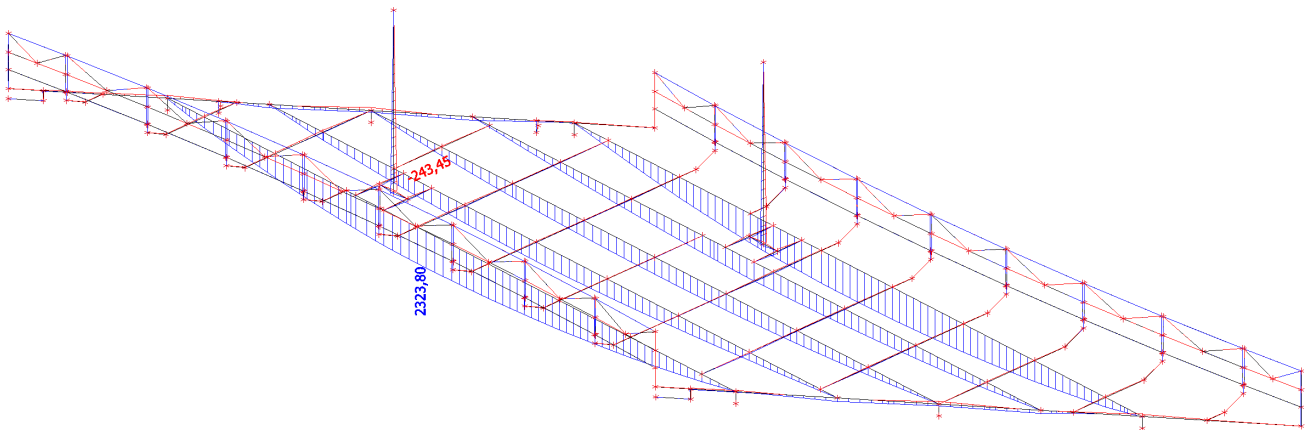
21. LC17 Onderhoud a/b horizontaal



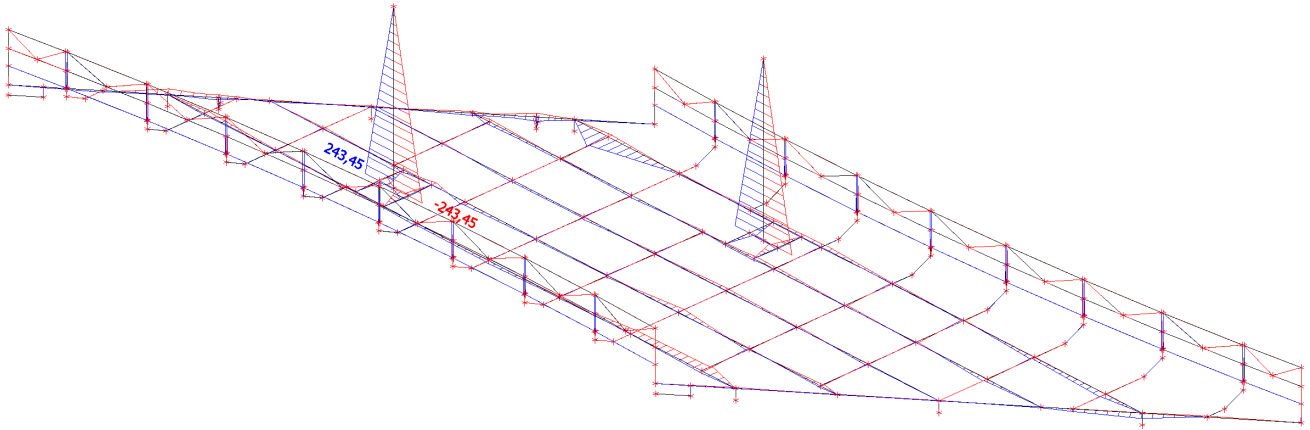
22. LC18 Temperatuursverschil onderzijde



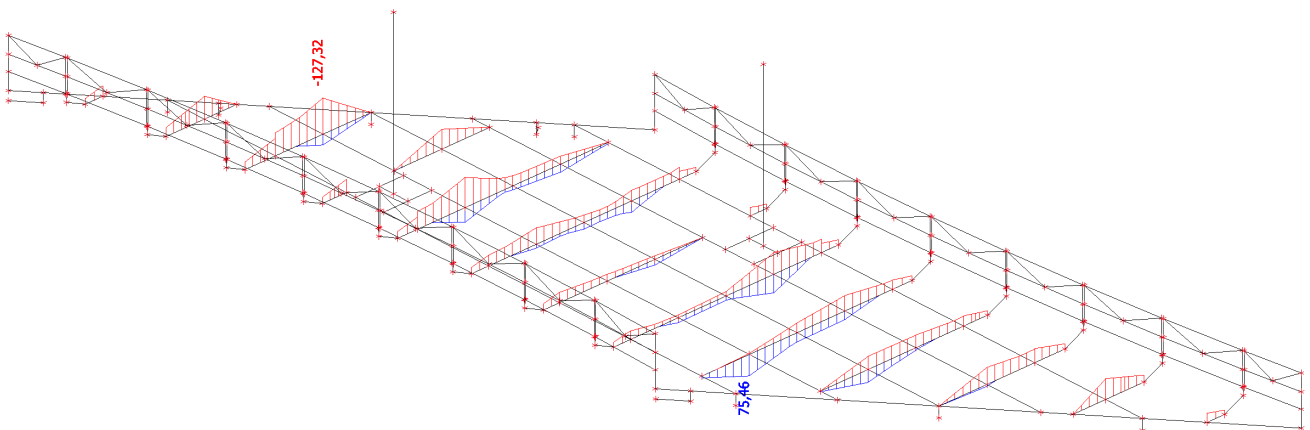
23. My op hoofdbalken



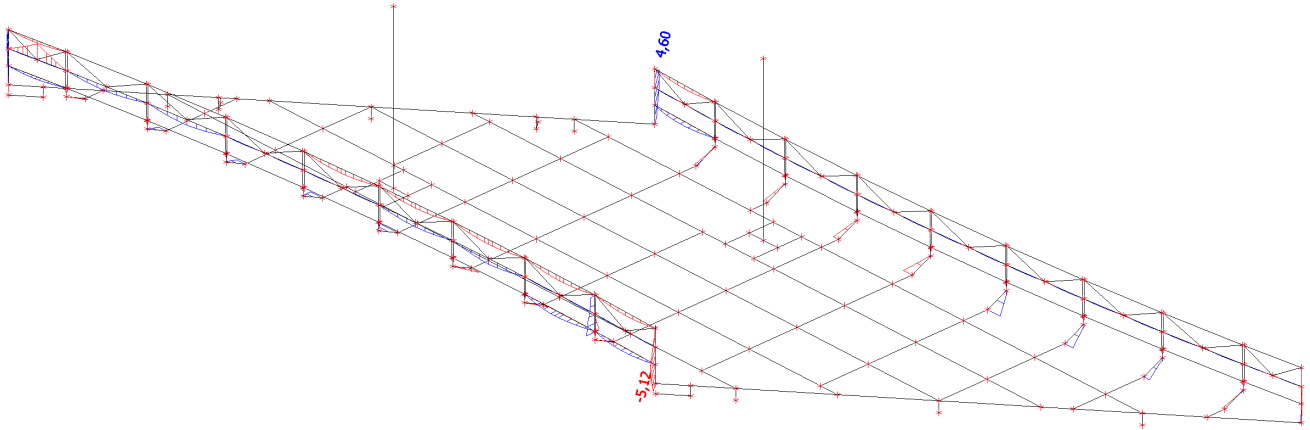
24. Mz op hoofdbalken



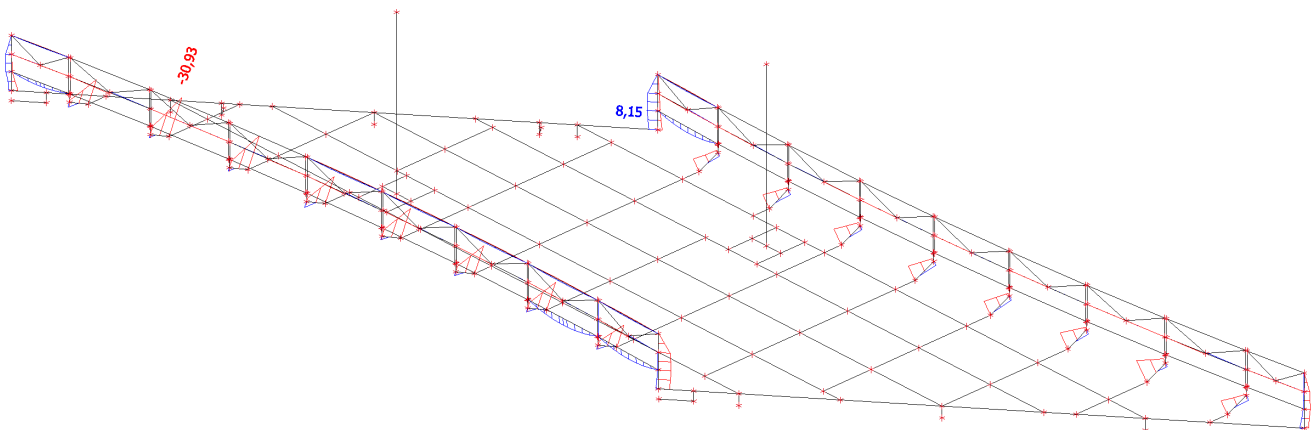
25. My op secundair frame



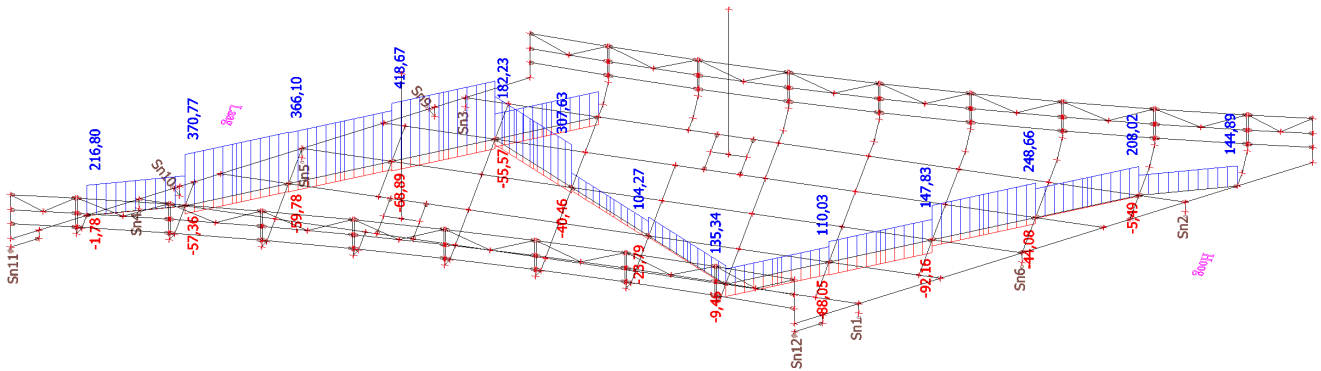
26. Mz op leuningingen



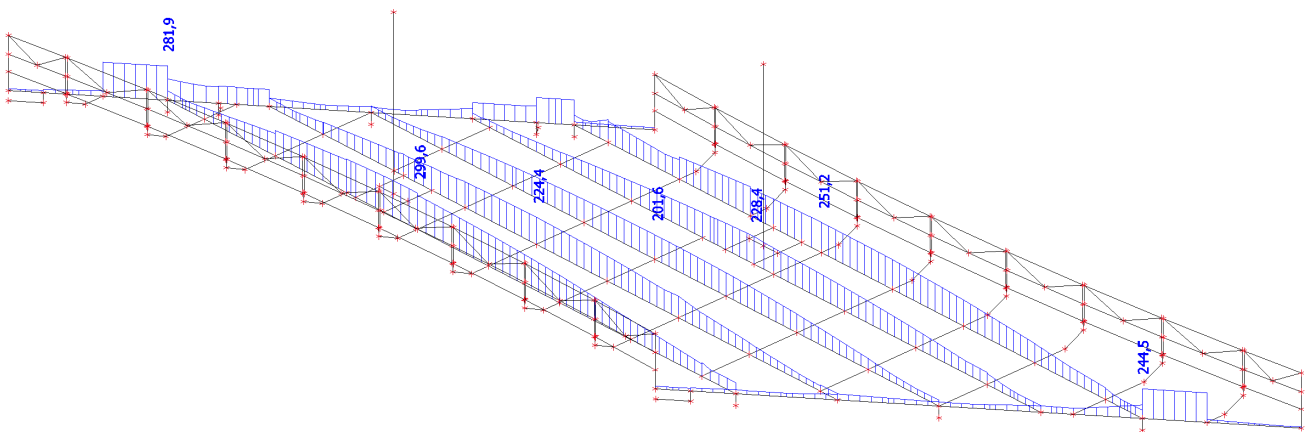
27. My op leuningingen



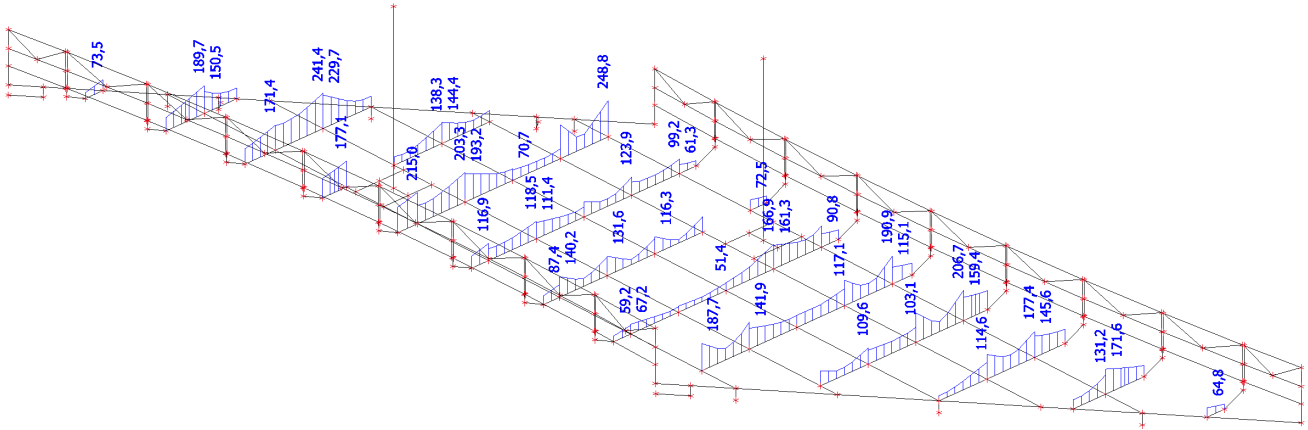
28. N- Axiaalkrachten in verbanden



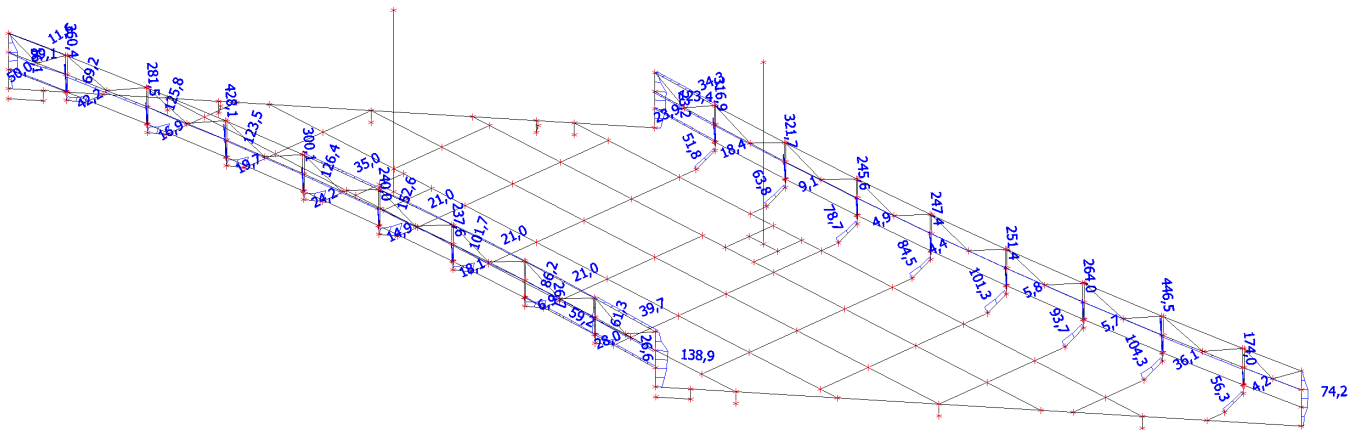
29. Stress; von Mises in hoofdbalken



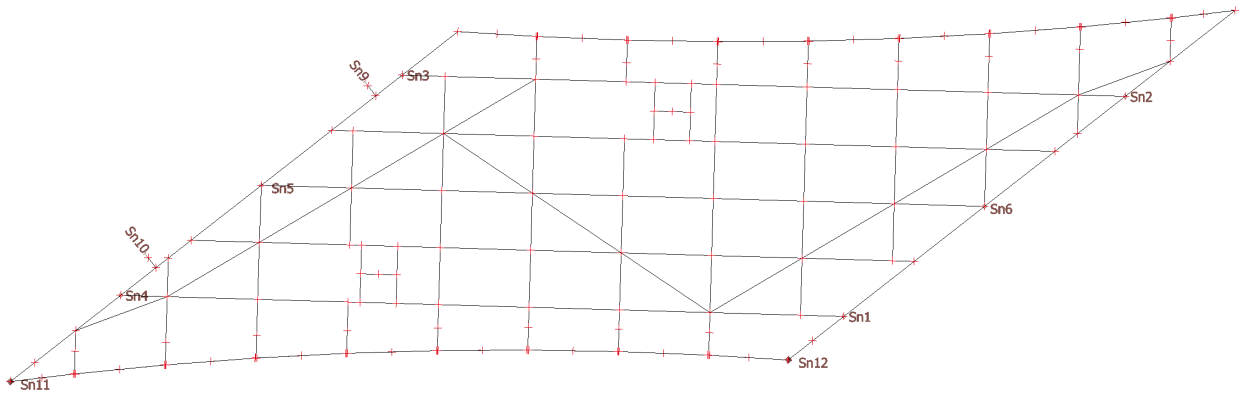
30. Stress; von Mises in dwarskoppelingen



31. Stress; von Mises



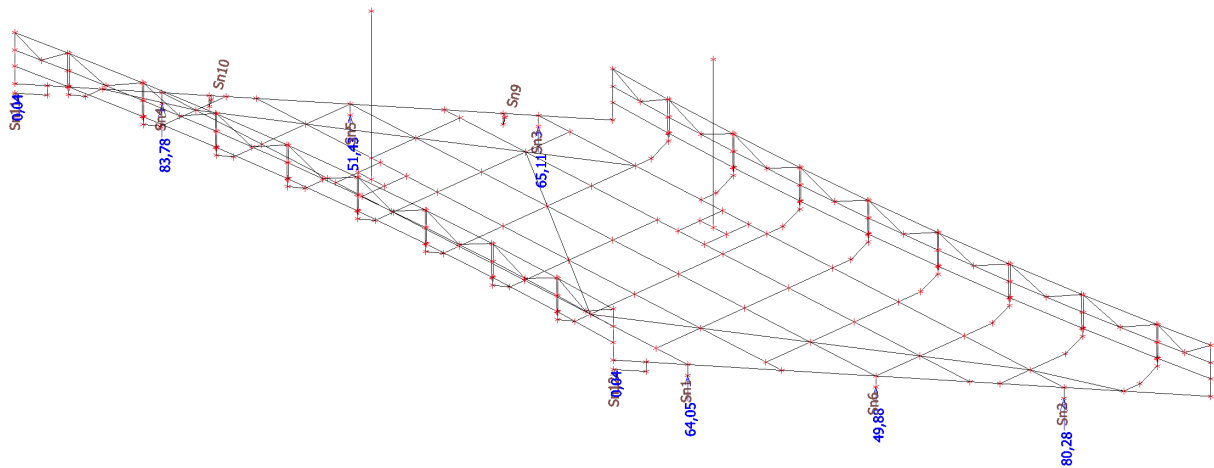
32. Nummering van de steunpunten



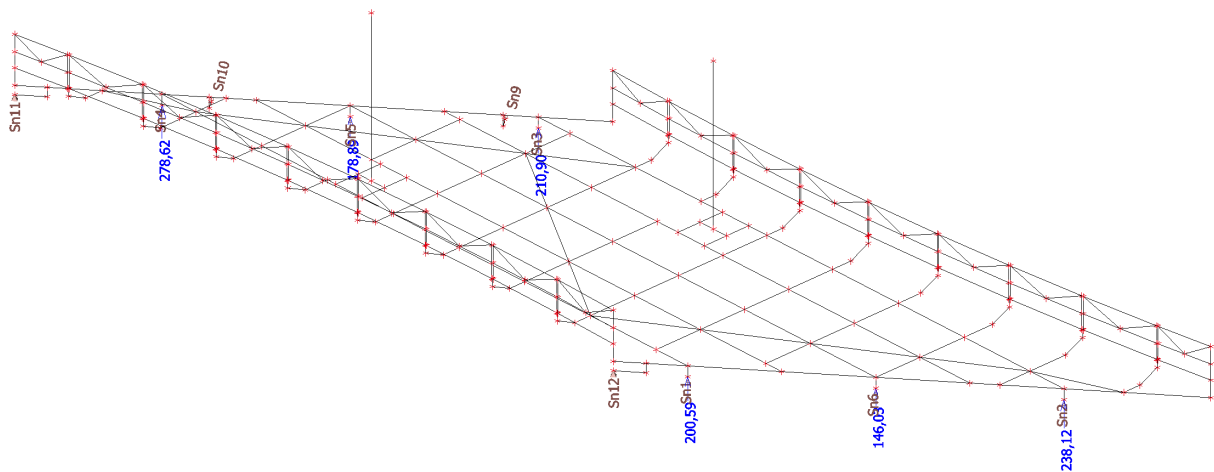
33. Reacties

Alle aangegeven reacties zijn karakteristiek tenzij anders vermeld.

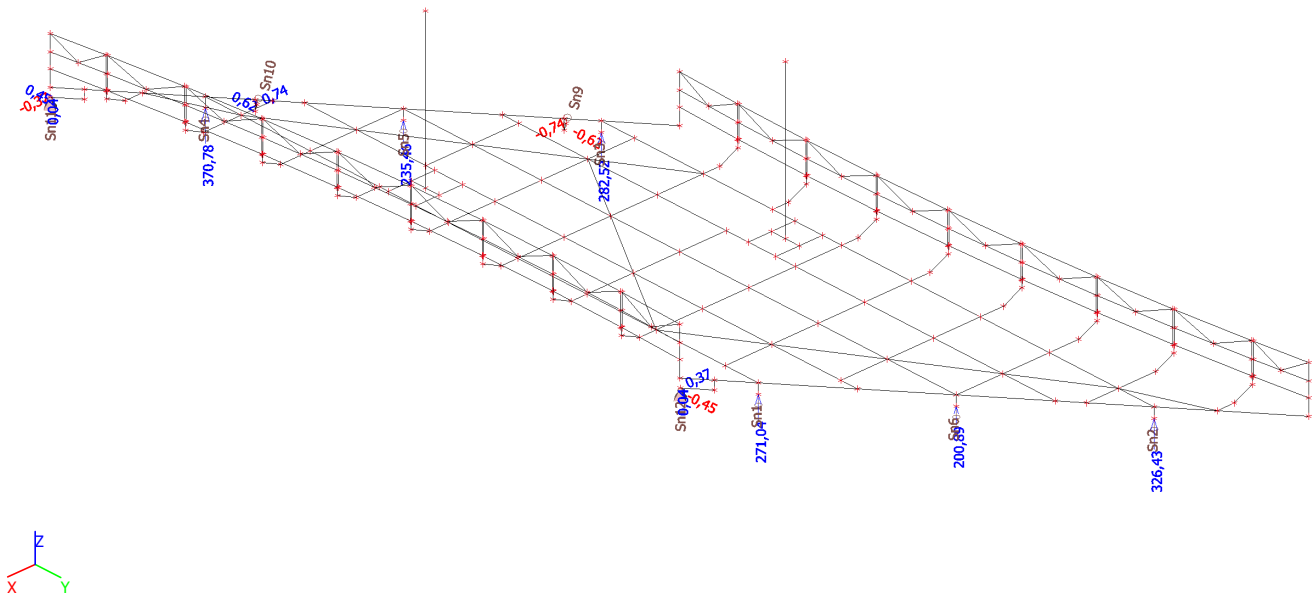
34. Reacties; Rz LC 1 Eigen gewicht constructie



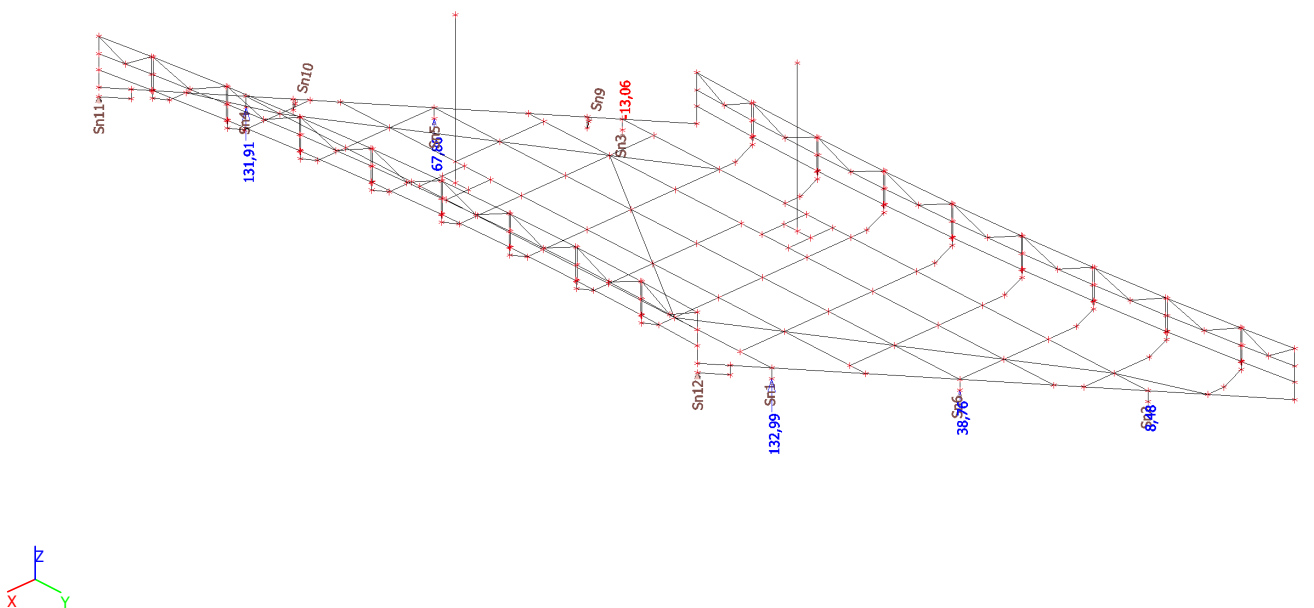
35. Reacties; Rz LC 2 Aanvullend Eigen Gewicht



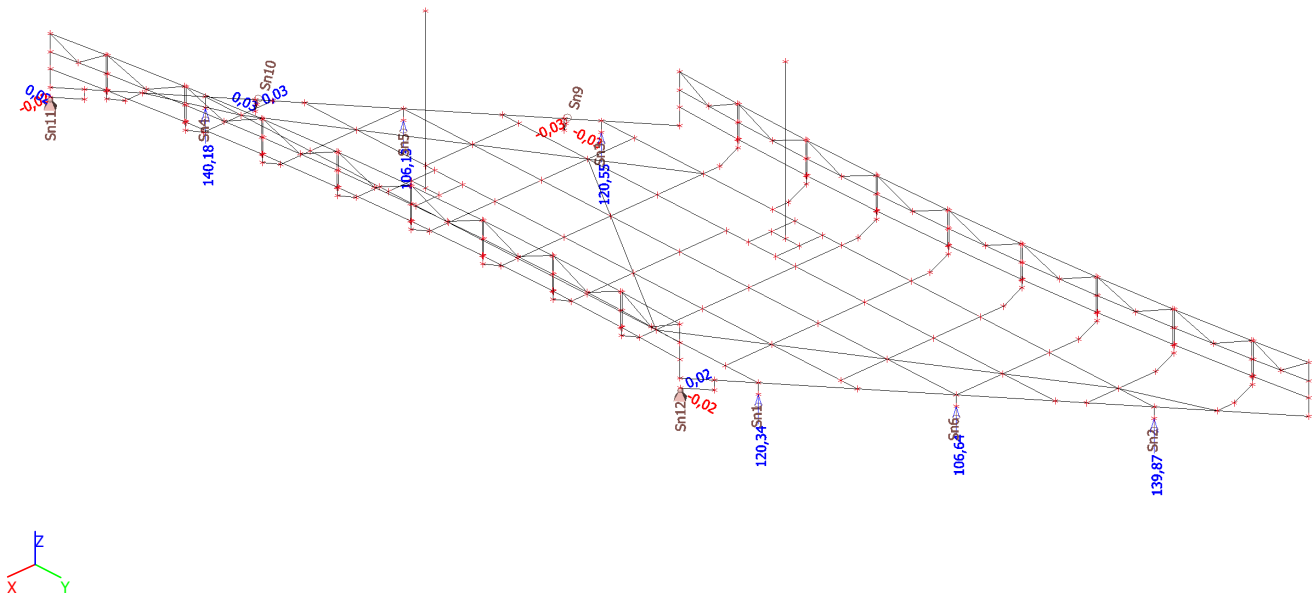
36. Reacties; Rx, Ry, Rz CO31 SLS Eigen Gewicht totaal



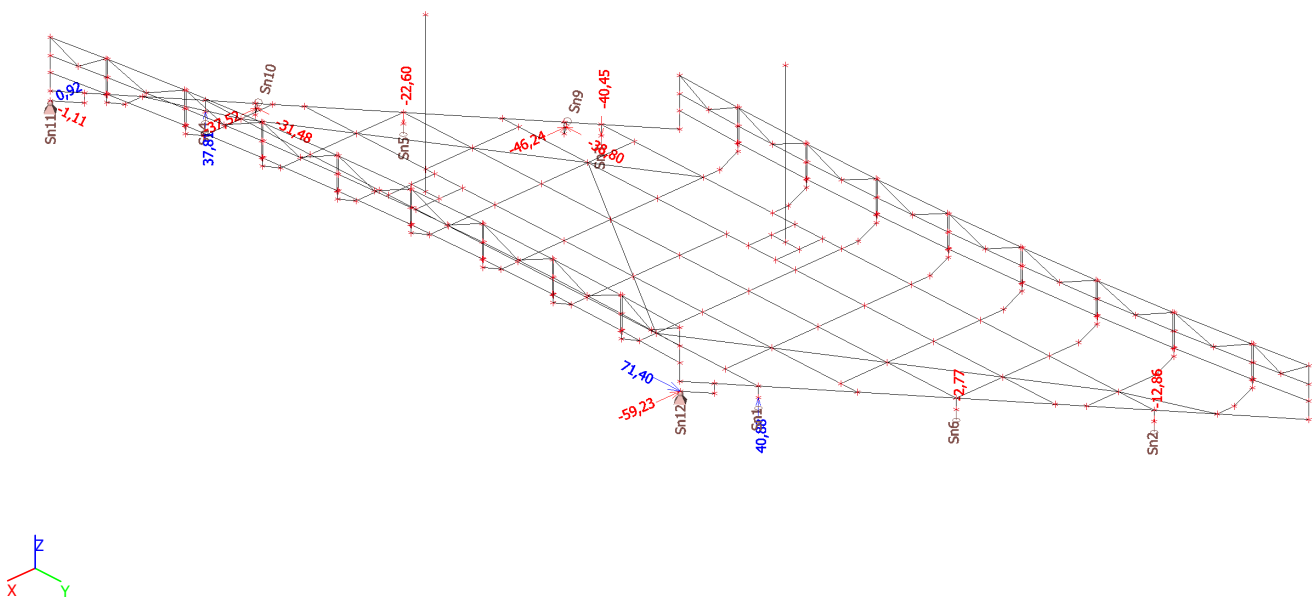
37. Reacties; Rz LC 3 Nuttige Belasting



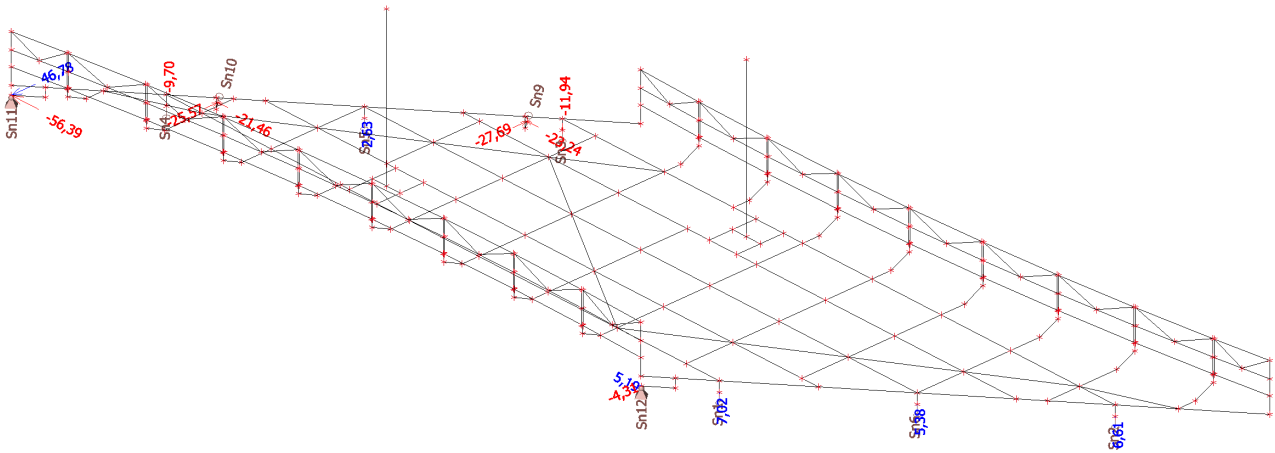
38. Reacties; Rx, Ry, Rz LC 4 Nuttige Belasting Geheel



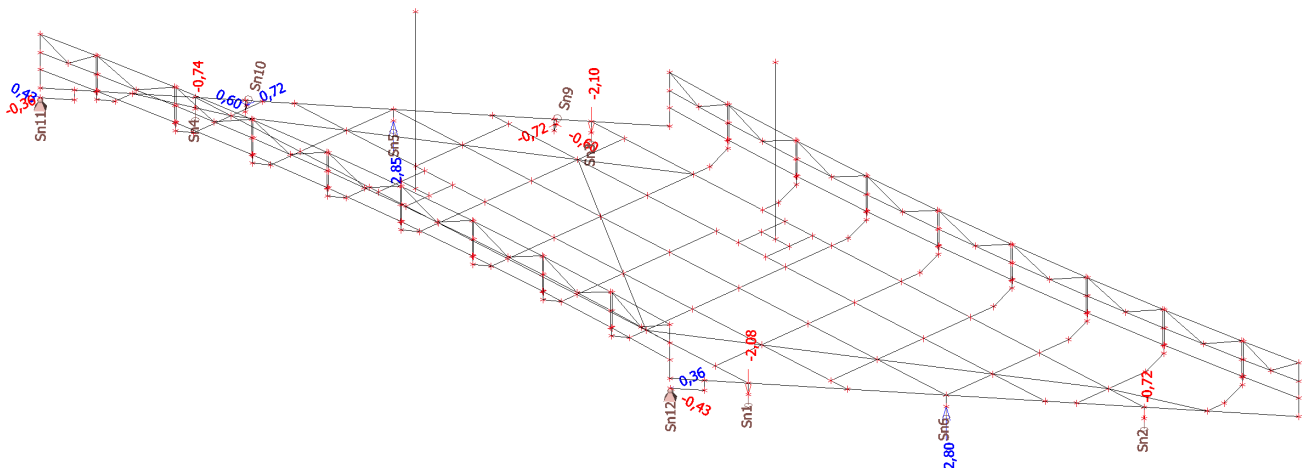
39. Reacties; Rx, Ry, Rz LC 5 Wind Dwars



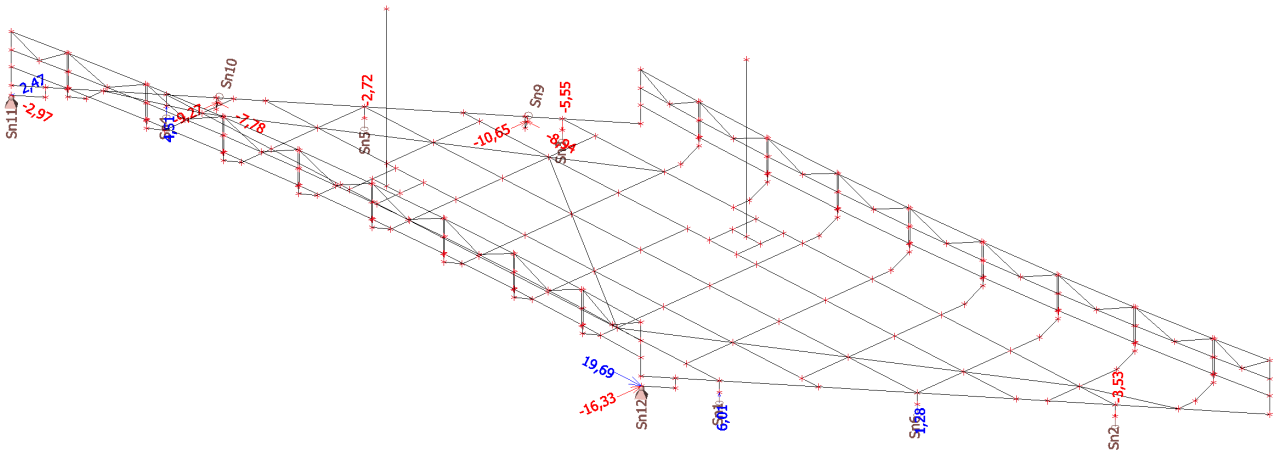
40. Reacties; Rx, Ry, Rz LC 6, Wind Langs



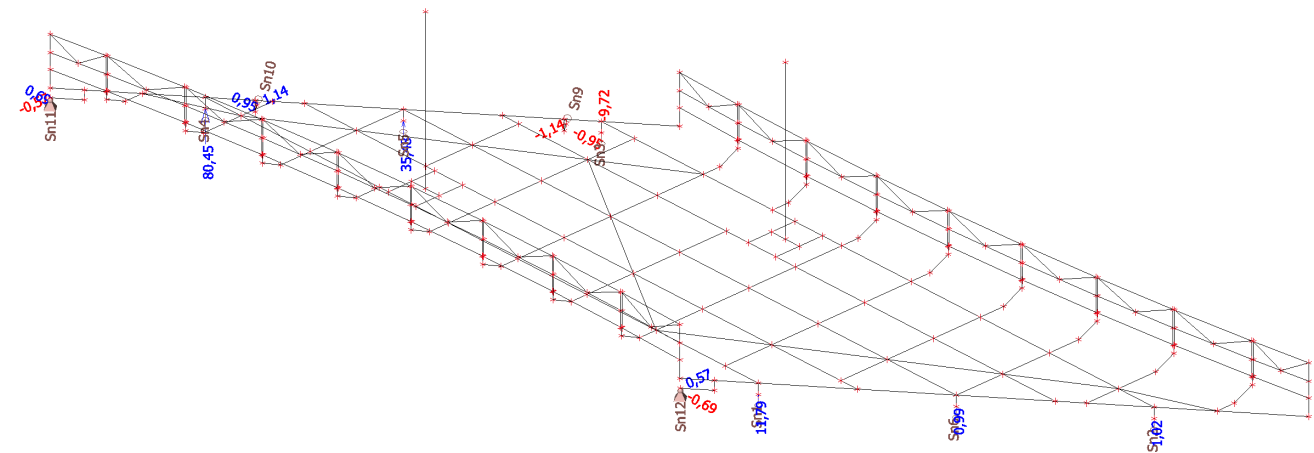
41. Reacties; Rx, Ry, Rz LC 9, Zettingen 1



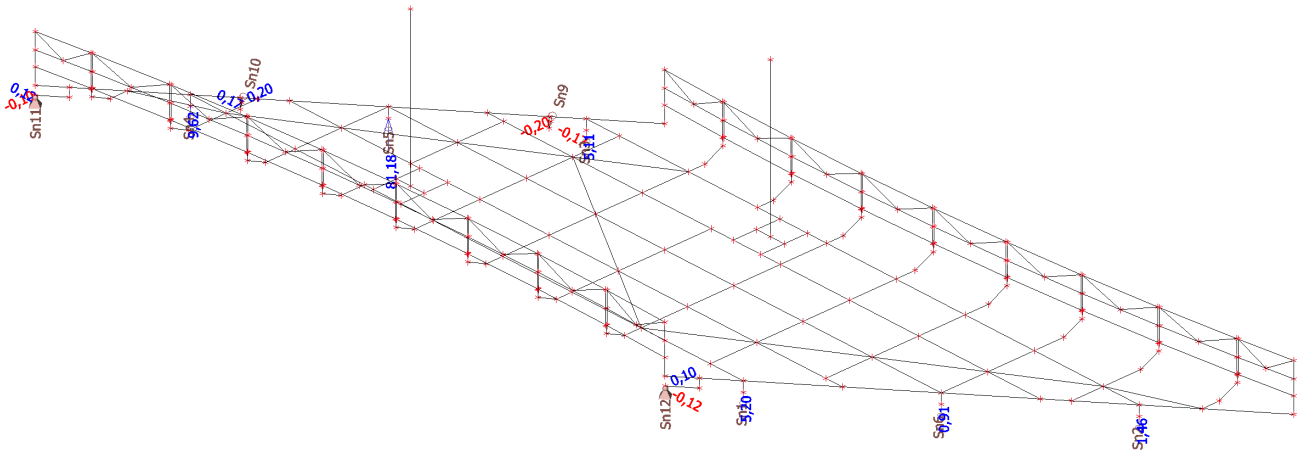
42. Reacties; Rx, Ry, Rz LC 11, Leuningbelasting



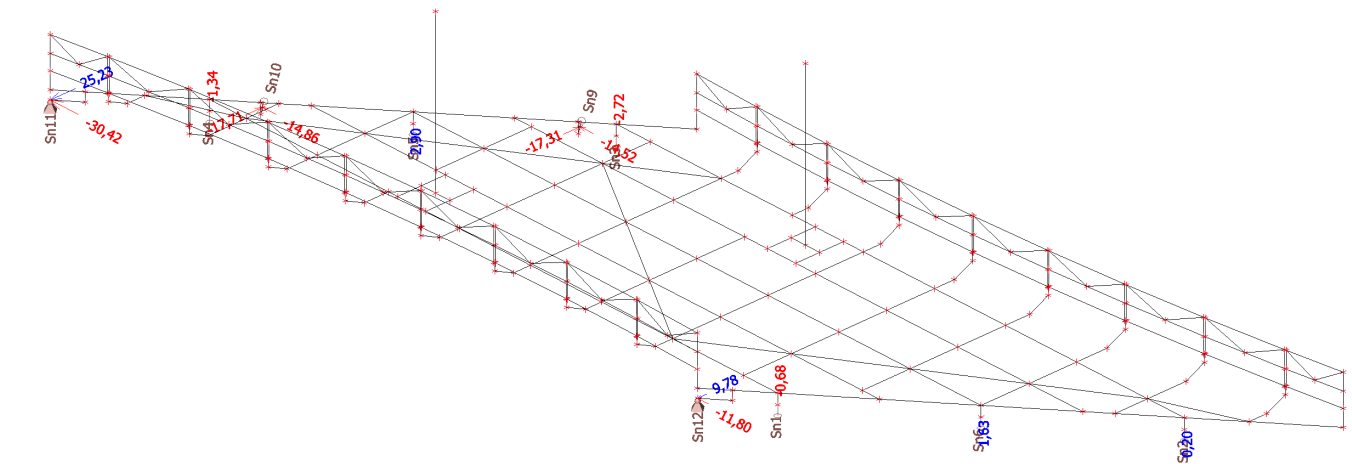
43. Reacties; Rx, Ry, Rz LC 12 Onderhoudswagen a



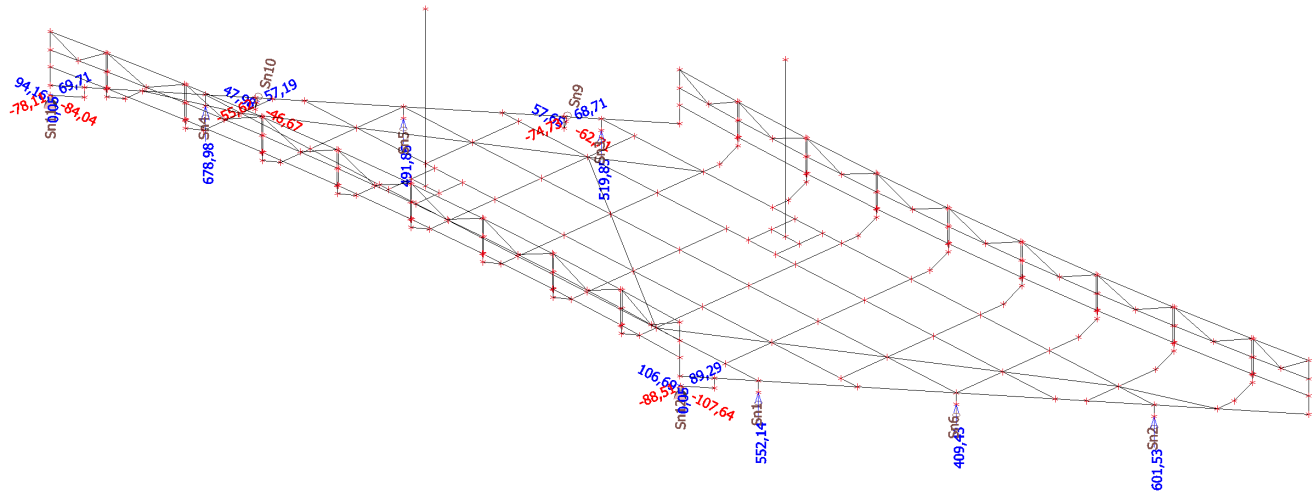
44. Reacties; Rx, Ry, Rz LC 14, Onderhoudswagen c



45. Reacties; Rx, Ry, Rz LC 17 Onderhoudswagen horizontaal



46. Reacties; Rx, Ry, Rz ULS Max



47. Reacties ULS Max

Linear calculation, Extreme : Node

Selection : All

Class : All ULS

| Support | Case | Rx [kN] | Ry [kN] | Rz [kN] |
|-----------|---------|---------------|---------------|---------------|
| Sn1/N344 | CO1/20 | 0,00 | 0,00 | 524,73 |
| Sn1/N344 | CO26/18 | 0,00 | 0,00 | 176,86 |
| Sn1/N344 | CO10/10 | 0,00 | 0,00 | 552,14 |
| Sn2/N346 | CO1/20 | 0,00 | 0,00 | 404,44 |
| Sn2/N346 | CO5/22 | 0,00 | 0,00 | 267,27 |
| Sn2/N346 | CO2/1 | 0,00 | 0,00 | 601,53 |
| Sn3/N341 | CO1/20 | 0,00 | 0,00 | 319,42 |
| Sn3/N341 | CO5/22 | 0,00 | 0,00 | 187,74 |
| Sn3/N341 | CO2/1 | 0,00 | 0,00 | 519,85 |
| Sn4/N343 | CO1/20 | 0,00 | 0,00 | 642,80 |
| Sn4/N343 | CO26/18 | 0,00 | 0,00 | 269,45 |
| Sn4/N343 | CO11/7 | 0,00 | 0,00 | 678,98 |
| Sn5/N342 | CO1/20 | 0,00 | 0,00 | 384,34 |
| Sn5/N342 | CO5/22 | 0,00 | 0,00 | 173,38 |
| Sn5/N342 | CO31/23 | 0,00 | 0,00 | 491,86 |
| Sn6/N345 | CO1/20 | 0,00 | 0,00 | 299,21 |
| Sn6/N345 | CO5/22 | 0,00 | 0,00 | 172,16 |
| Sn6/N345 | CO9/6 | 0,00 | 0,00 | 409,43 |
| Sn9/N349 | CO27/4 | -74,73 | -62,71 | 0,00 |
| Sn9/N349 | CO26/18 | 68,71 | 57,65 | 0,00 |
| Sn9/N349 | CO1/20 | -6,46 | -5,42 | 0,00 |
| Sn10/N347 | CO5/22 | -55,62 | -46,67 | 0,00 |
| Sn10/N347 | CO25/14 | 57,19 | 47,98 | 0,00 |
| Sn10/N347 | CO1/20 | 6,46 | 5,42 | 0,00 |
| Sn11/N355 | CO7/2 | -78,11 | 94,16 | 0,05 |

| Support | Case | Rx [kN] | Ry [kN] | Rz [kN] |
|-----------|---------|---------------|----------------|-------------|
| Sn11/N355 | CO6/17 | 69,71 | -84,04 | 0,05 |
| Sn11/N355 | CO5/22 | 1,05 | -1,26 | 0,04 |
| Sn11/N355 | CO1/20 | -3,25 | 3,92 | 0,05 |
| Sn12/N360 | CO5/22 | -88,51 | 106,69 | 0,04 |
| Sn12/N360 | CO25/14 | 89,29 | -107,64 | 0,05 |
| Sn12/N360 | CO1/20 | 3,25 | -3,92 | 0,05 |

48. Reacties Belasting gevallen

Linear calculation, Extreme : No

Selection : All

Class : Alle Belastinggevallen

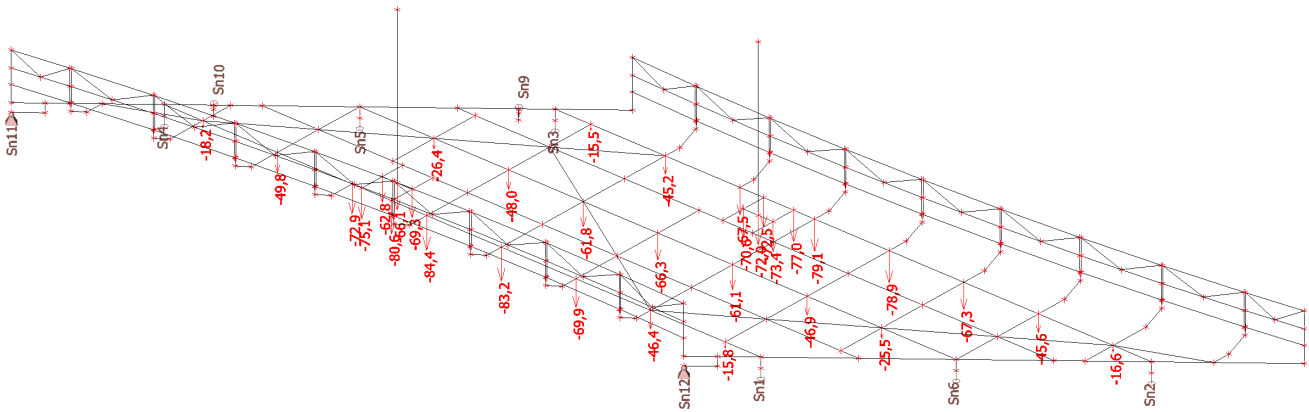
| Support | Case | Rx [kN] | Ry [kN] | Rz [kN] |
|----------|------|------------|------------|------------|
| Sn1/N344 | LC1 | 0,00 | 0,00 | 64,05 |
| Sn1/N344 | LC2 | 0,00 | 0,00 | 200,59 |
| Sn1/N344 | LC3 | 0,00 | 0,00 | 132,99 |
| Sn1/N344 | LC4 | 0,00 | 0,00 | 120,34 |
| Sn1/N344 | LC5 | 0,00 | 0,00 | 40,88 |
| Sn1/N344 | LC6 | 0,00 | 0,00 | 7,02 |
| Sn1/N344 | LC7 | 0,00 | 0,00 | -1,40 |
| Sn1/N344 | LC8 | 0,00 | 0,00 | 0,54 |
| Sn1/N344 | LC9 | 0,00 | 0,00 | -2,08 |
| Sn1/N344 | LC10 | 0,00 | 0,00 | -2,08 |
| Sn1/N344 | LC11 | 0,00 | 0,00 | 6,01 |
| Sn1/N344 | LC12 | 0,00 | 0,00 | 11,79 |
| Sn1/N344 | LC13 | 0,00 | 0,00 | 43,58 |
| Sn1/N344 | LC14 | 0,00 | 0,00 | 5,20 |
| Sn1/N344 | LC15 | 0,00 | 0,00 | 22,74 |
| Sn1/N344 | LC16 | 0,00 | 0,00 | 33,24 |
| Sn1/N344 | LC17 | 0,00 | 0,00 | -0,68 |
| Sn1/N344 | LC18 | 0,00 | 0,00 | 24,27 |
| Sn2/N346 | LC1 | 0,00 | 0,00 | 80,28 |
| Sn2/N346 | LC2 | 0,00 | 0,00 | 238,12 |
| Sn2/N346 | LC3 | 0,00 | 0,00 | 8,48 |
| Sn2/N346 | LC4 | 0,00 | 0,00 | 139,87 |
| Sn2/N346 | LC5 | 0,00 | 0,00 | -12,86 |
| Sn2/N346 | LC6 | 0,00 | 0,00 | 6,61 |
| Sn2/N346 | LC7 | 0,00 | 0,00 | 0,10 |
| Sn2/N346 | LC8 | 0,00 | 0,00 | -0,03 |
| Sn2/N346 | LC9 | 0,00 | 0,00 | -0,72 |
| Sn2/N346 | LC10 | 0,00 | 0,00 | -0,72 |
| Sn2/N346 | LC11 | 0,00 | 0,00 | -3,53 |
| Sn2/N346 | LC12 | 0,00 | 0,00 | 1,02 |
| Sn2/N346 | LC13 | 0,00 | 0,00 | 3,04 |
| Sn2/N346 | LC14 | 0,00 | 0,00 | 1,46 |
| Sn2/N346 | LC15 | 0,00 | 0,00 | 9,37 |
| Sn2/N346 | LC16 | 0,00 | 0,00 | 5,07 |
| Sn2/N346 | LC17 | 0,00 | 0,00 | 0,20 |
| Sn2/N346 | LC18 | 0,00 | 0,00 | 27,83 |
| Sn3/N341 | LC1 | 0,00 | 0,00 | 65,11 |
| Sn3/N341 | LC2 | 0,00 | 0,00 | 210,90 |
| Sn3/N341 | LC3 | 0,00 | 0,00 | -13,06 |
| Sn3/N341 | LC4 | 0,00 | 0,00 | 120,55 |
| Sn3/N341 | LC5 | 0,00 | 0,00 | -40,45 |
| Sn3/N341 | LC6 | 0,00 | 0,00 | -11,94 |
| Sn3/N341 | LC7 | 0,00 | 0,00 | -2,09 |
| Sn3/N341 | LC8 | 0,00 | 0,00 | 0,79 |
| Sn3/N341 | LC9 | 0,00 | 0,00 | -2,10 |
| Sn3/N341 | LC10 | 0,00 | 0,00 | -2,10 |
| Sn3/N341 | LC11 | 0,00 | 0,00 | -5,55 |
| Sn3/N341 | LC12 | 0,00 | 0,00 | -9,72 |
| Sn3/N341 | LC13 | 0,00 | 0,00 | -15,19 |
| Sn3/N341 | LC14 | 0,00 | 0,00 | 5,11 |
| Sn3/N341 | LC15 | 0,00 | 0,00 | 26,63 |

| Support | Case | Rx [kN] | Ry [kN] | Rz [kN] |
|----------|------|------------|------------|------------|
| Sn3/N341 | LC16 | 0,00 | 0,00 | -1,38 |
| Sn3/N341 | LC17 | 0,00 | 0,00 | -2,72 |
| Sn3/N341 | LC18 | 0,00 | 0,00 | 24,40 |
| Sn4/N343 | LC1 | 0,00 | 0,00 | 83,78 |
| Sn4/N343 | LC2 | 0,00 | 0,00 | 278,62 |
| Sn4/N343 | LC3 | 0,00 | 0,00 | 131,91 |
| Sn4/N343 | LC4 | 0,00 | 0,00 | 140,18 |
| Sn4/N343 | LC5 | 0,00 | 0,00 | 37,81 |
| Sn4/N343 | LC6 | 0,00 | 0,00 | -9,70 |
| Sn4/N343 | LC7 | 0,00 | 0,00 | -0,58 |
| Sn4/N343 | LC8 | 0,00 | 0,00 | 0,23 |
| Sn4/N343 | LC9 | 0,00 | 0,00 | -0,74 |
| Sn4/N343 | LC10 | 0,00 | 0,00 | -0,74 |
| Sn4/N343 | LC11 | 0,00 | 0,00 | 4,51 |
| Sn4/N343 | LC12 | 0,00 | 0,00 | 80,45 |
| Sn4/N343 | LC13 | 0,00 | 0,00 | 45,22 |
| Sn4/N343 | LC14 | 0,00 | 0,00 | 9,62 |
| Sn4/N343 | LC15 | 0,00 | 0,00 | 13,26 |
| Sn4/N343 | LC16 | 0,00 | 0,00 | 30,49 |
| Sn4/N343 | LC17 | 0,00 | 0,00 | -1,34 |
| Sn4/N343 | LC18 | 0,00 | 0,00 | 27,96 |
| Sn5/N342 | LC1 | 0,00 | 0,00 | 51,43 |
| Sn5/N342 | LC2 | 0,00 | 0,00 | 178,89 |
| Sn5/N342 | LC3 | 0,00 | 0,00 | 67,86 |
| Sn5/N342 | LC4 | 0,00 | 0,00 | 106,13 |
| Sn5/N342 | LC5 | 0,00 | 0,00 | -22,60 |
| Sn5/N342 | LC6 | 0,00 | 0,00 | 2,63 |
| Sn5/N342 | LC7 | 0,00 | 0,00 | 2,67 |
| Sn5/N342 | LC8 | 0,00 | 0,00 | -1,02 |
| Sn5/N342 | LC9 | 0,00 | 0,00 | 2,85 |
| Sn5/N342 | LC10 | 0,00 | 0,00 | 2,84 |
| Sn5/N342 | LC11 | 0,00 | 0,00 | -2,72 |
| Sn5/N342 | LC12 | 0,00 | 0,00 | 35,48 |
| Sn5/N342 | LC13 | 0,00 | 0,00 | 39,56 |
| Sn5/N342 | LC14 | 0,00 | 0,00 | 81,18 |
| Sn5/N342 | LC15 | 0,00 | 0,00 | 37,48 |
| Sn5/N342 | LC16 | 0,00 | 0,00 | 48,25 |
| Sn5/N342 | LC17 | 0,00 | 0,00 | 2,90 |
| Sn5/N342 | LC18 | 0,00 | 0,00 | -52,36 |
| Sn6/N345 | LC1 | 0,00 | 0,00 | 49,88 |
| Sn6/N345 | LC2 | 0,00 | 0,00 | 146,03 |
| Sn6/N345 | LC3 | 0,00 | 0,00 | 38,76 |
| Sn6/N345 | LC4 | 0,00 | 0,00 | 106,64 |
| Sn6/N345 | LC5 | 0,00 | 0,00 | -2,77 |
| Sn6/N345 | LC6 | 0,00 | 0,00 | 5,38 |
| Sn6/N345 | LC7 | 0,00 | 0,00 | 1,30 |
| Sn6/N345 | LC8 | 0,00 | 0,00 | -0,50 |
| Sn6/N345 | LC9 | 0,00 | 0,00 | 2,80 |
| Sn6/N345 | LC10 | 0,00 | 0,00 | 2,80 |
| Sn6/N345 | LC11 | 0,00 | 0,00 | 1,28 |
| Sn6/N345 | LC12 | 0,00 | 0,00 | 0,99 |
| Sn6/N345 | LC13 | 0,00 | 0,00 | 3,80 |
| Sn6/N345 | LC14 | 0,00 | 0,00 | 0,91 |
| Sn6/N345 | LC15 | 0,00 | 0,00 | 10,60 |
| Sn6/N345 | LC16 | 0,00 | 0,00 | 4,39 |
| Sn6/N345 | LC17 | 0,00 | 0,00 | 1,63 |
| Sn6/N345 | LC18 | 0,00 | 0,00 | -52,10 |
| Sn9/N349 | LC1 | -0,03 | -0,02 | 0,00 |
| Sn9/N349 | LC2 | -0,71 | -0,59 | 0,00 |
| Sn9/N349 | LC3 | -3,72 | -3,12 | 0,00 |
| Sn9/N349 | LC4 | -0,03 | -0,03 | 0,00 |
| Sn9/N349 | LC5 | -46,24 | -38,80 | 0,00 |
| Sn9/N349 | LC6 | -27,69 | -23,24 | 0,00 |
| Sn9/N349 | LC7 | -15,89 | -13,34 | 0,00 |
| Sn9/N349 | LC8 | 5,98 | 5,02 | 0,00 |
| Sn9/N349 | LC9 | -0,72 | -0,60 | 0,00 |

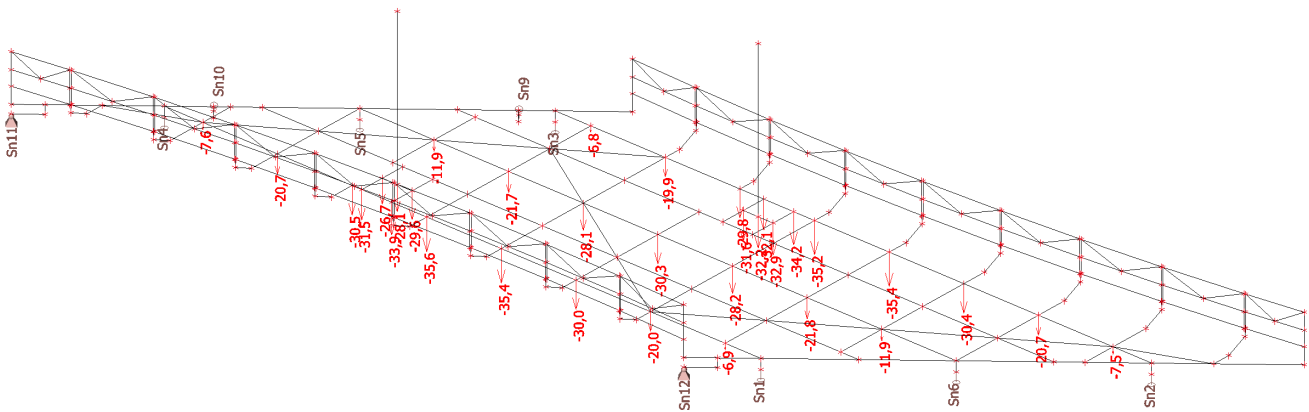
Project Jos van den Bersselaar

| Support | Case | Rx [kN] | Ry [kN] | Rz [kN] |
|-----------|------|------------|------------|------------|
| Sn9/N349 | LC10 | -0,72 | -0,60 | 0,00 |
| Sn9/N349 | LC11 | -10,65 | -8,94 | 0,00 |
| Sn9/N349 | LC12 | -1,14 | -0,95 | 0,00 |
| Sn9/N349 | LC13 | -2,23 | -1,87 | 0,00 |
| Sn9/N349 | LC14 | -0,20 | -0,17 | 0,00 |
| Sn9/N349 | LC15 | 0,01 | 0,01 | 0,00 |
| Sn9/N349 | LC16 | -1,35 | -1,13 | 0,00 |
| Sn9/N349 | LC17 | -17,31 | -14,52 | 0,00 |
| Sn9/N349 | LC18 | 1,86 | 1,56 | 0,00 |
| Sn10/N347 | LC1 | 0,03 | 0,02 | 0,00 |
| Sn10/N347 | LC2 | 0,71 | 0,59 | 0,00 |
| Sn10/N347 | LC3 | 3,72 | 3,12 | 0,00 |
| Sn10/N347 | LC4 | 0,03 | 0,03 | 0,00 |
| Sn10/N347 | LC5 | -37,52 | -31,48 | 0,00 |
| Sn10/N347 | LC6 | -25,57 | -21,46 | 0,00 |
| Sn10/N347 | LC7 | 15,89 | 13,34 | 0,00 |
| Sn10/N347 | LC8 | -5,98 | -5,02 | 0,00 |
| Sn10/N347 | LC9 | 0,72 | 0,60 | 0,00 |
| Sn10/N347 | LC10 | 0,72 | 0,60 | 0,00 |
| Sn10/N347 | LC11 | -9,27 | -7,78 | 0,00 |
| Sn10/N347 | LC12 | 1,14 | 0,95 | 0,00 |
| Sn10/N347 | LC13 | 2,23 | 1,87 | 0,00 |
| Sn10/N347 | LC14 | 0,20 | 0,17 | 0,00 |
| Sn10/N347 | LC15 | -0,01 | -0,01 | 0,00 |
| Sn10/N347 | LC16 | 1,35 | 1,13 | 0,00 |
| Sn10/N347 | LC17 | -17,71 | -14,86 | 0,00 |
| Sn10/N347 | LC18 | -1,86 | -1,56 | 0,00 |
| Sn11/N355 | LC1 | -0,01 | 0,02 | 0,04 |
| Sn11/N355 | LC2 | -0,36 | 0,43 | 0,00 |
| Sn11/N355 | LC3 | -1,87 | 2,26 | 0,00 |
| Sn11/N355 | LC4 | -0,02 | 0,02 | 0,00 |
| Sn11/N355 | LC5 | 0,92 | -1,11 | 0,00 |
| Sn11/N355 | LC6 | 46,78 | -56,39 | 0,00 |
| Sn11/N355 | LC7 | -8,00 | 9,65 | 0,00 |
| Sn11/N355 | LC8 | 3,01 | -3,63 | 0,00 |
| Sn11/N355 | LC9 | -0,36 | 0,43 | 0,00 |
| Sn11/N355 | LC10 | -0,36 | 0,43 | 0,00 |
| Sn11/N355 | LC11 | 2,47 | -2,97 | 0,00 |
| Sn11/N355 | LC12 | -0,57 | 0,69 | 0,00 |
| Sn11/N355 | LC13 | -1,12 | 1,36 | 0,00 |
| Sn11/N355 | LC14 | -0,10 | 0,12 | 0,00 |
| Sn11/N355 | LC15 | 0,00 | 0,00 | 0,00 |
| Sn11/N355 | LC16 | -0,68 | 0,82 | 0,00 |
| Sn11/N355 | LC17 | 25,23 | -30,42 | 0,00 |
| Sn11/N355 | LC18 | 0,94 | -1,13 | 0,00 |
| Sn12/N360 | LC1 | 0,01 | -0,02 | 0,04 |
| Sn12/N360 | LC2 | 0,36 | -0,43 | 0,00 |
| Sn12/N360 | LC3 | 1,87 | -2,26 | 0,00 |
| Sn12/N360 | LC4 | 0,02 | -0,02 | 0,00 |
| Sn12/N360 | LC5 | -59,23 | 71,40 | 0,00 |
| Sn12/N360 | LC6 | -4,31 | 5,19 | 0,00 |
| Sn12/N360 | LC7 | 8,00 | -9,65 | 0,00 |
| Sn12/N360 | LC8 | -3,01 | 3,63 | 0,00 |
| Sn12/N360 | LC9 | 0,36 | -0,43 | 0,00 |
| Sn12/N360 | LC10 | 0,36 | -0,43 | 0,00 |
| Sn12/N360 | LC11 | -16,33 | 19,69 | 0,00 |
| Sn12/N360 | LC12 | 0,57 | -0,69 | 0,00 |
| Sn12/N360 | LC13 | 1,12 | -1,36 | 0,00 |
| Sn12/N360 | LC14 | 0,10 | -0,12 | 0,00 |
| Sn12/N360 | LC15 | 0,00 | 0,00 | 0,00 |
| Sn12/N360 | LC16 | 0,68 | -0,82 | 0,00 |
| Sn12/N360 | LC17 | 9,78 | -11,80 | 0,00 |
| Sn12/N360 | LC18 | -0,94 | 1,13 | 0,00 |

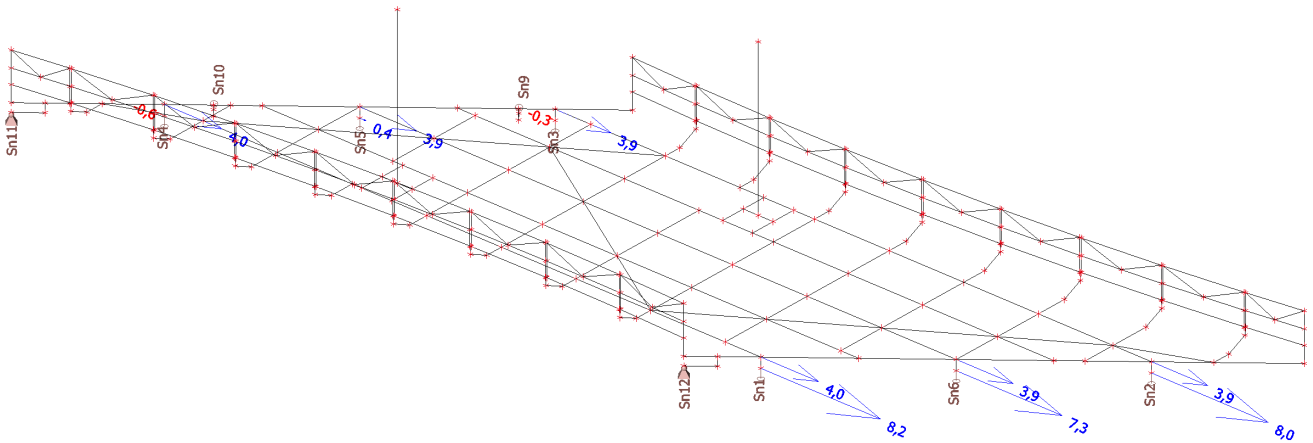
49. Uz hoofdbalken C031 Eigen Gewicht Compleet



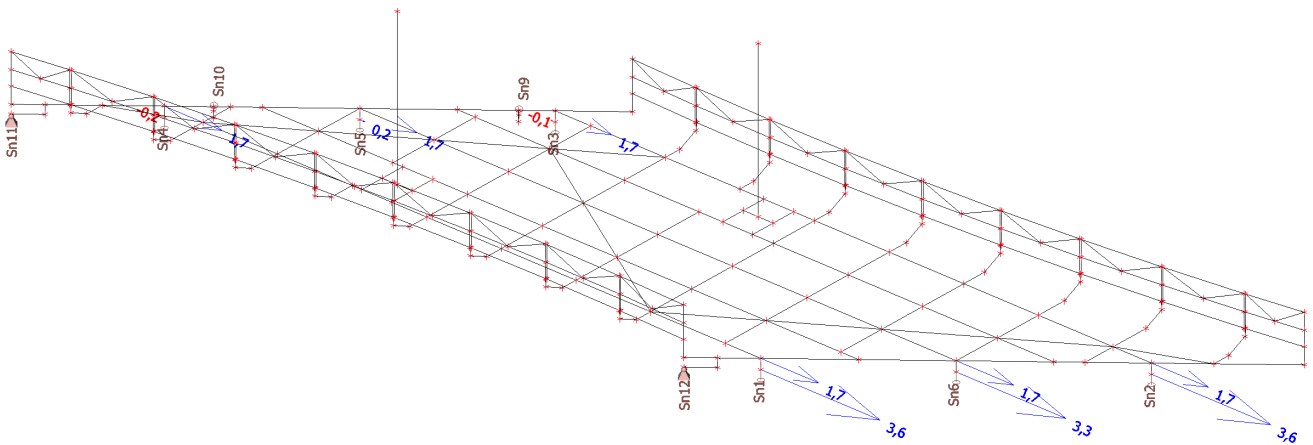
50. Uz hoofdbalken LC 4 Nuttige Belasting Geheel



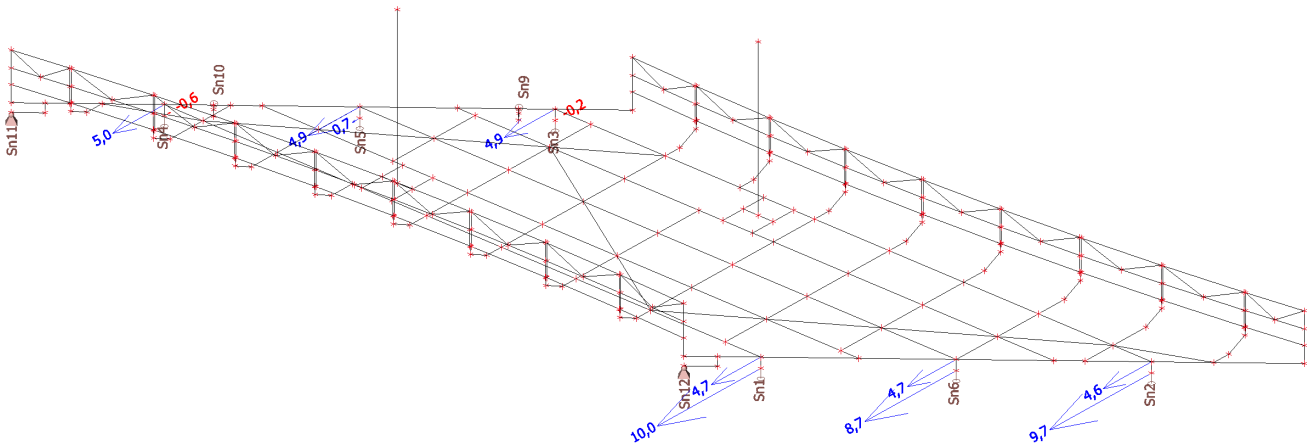
51. Uy C0 31 Eigen Gewicht compleet bij steunpunten



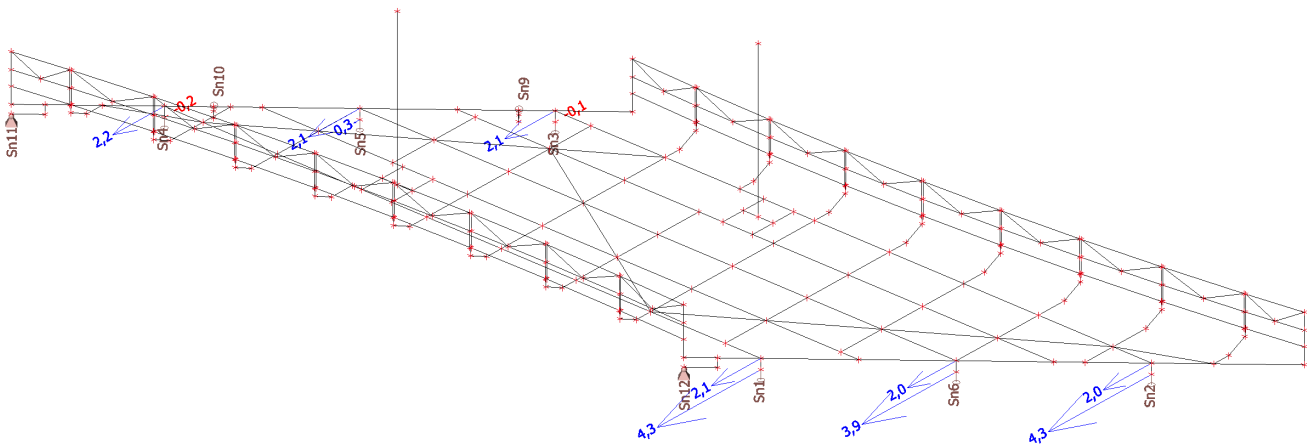
52. Uy LC 4, N.B. Geheel



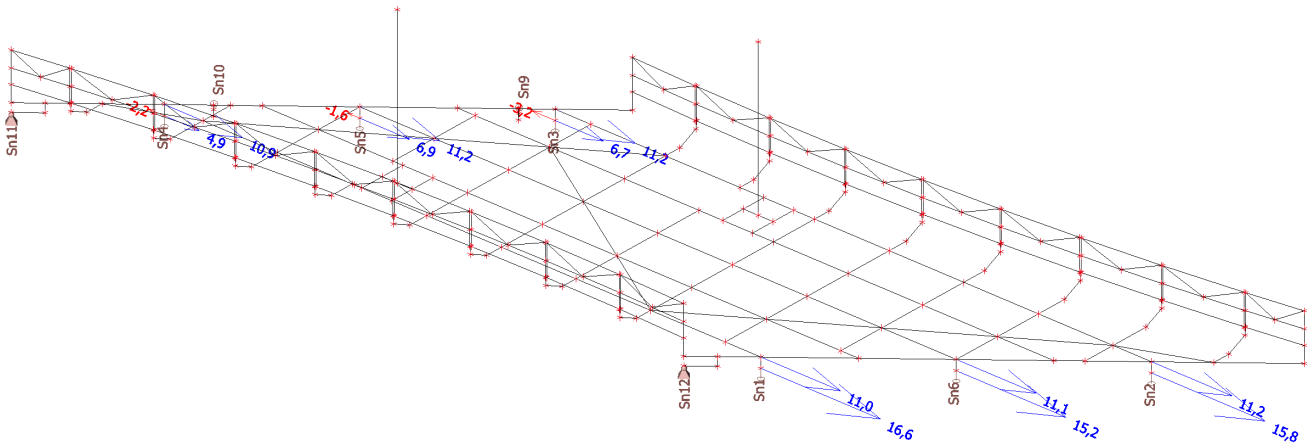
53. Ux, C0 31 Eigen Gewicht Compleet



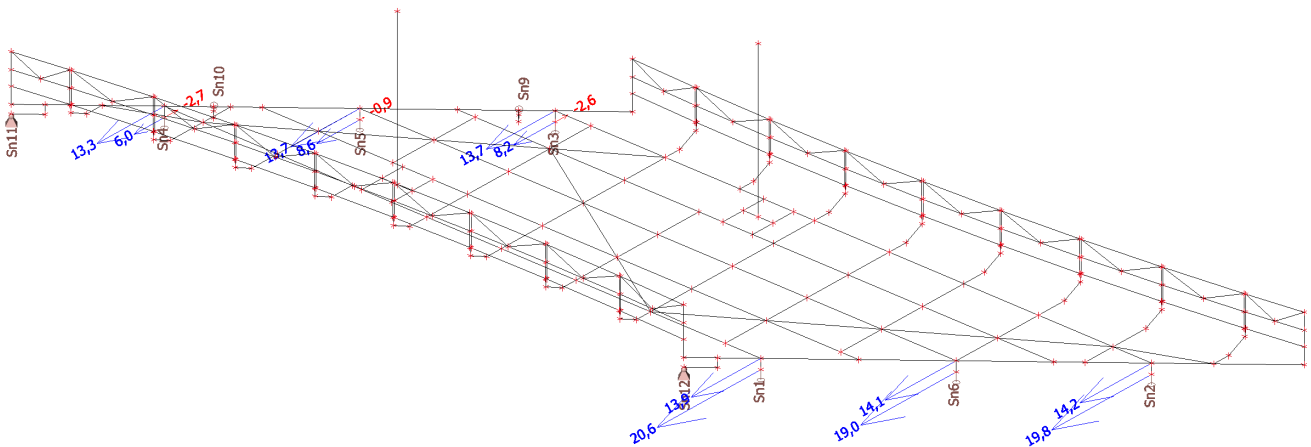
54. Ux LC 4, N.B. Geheel



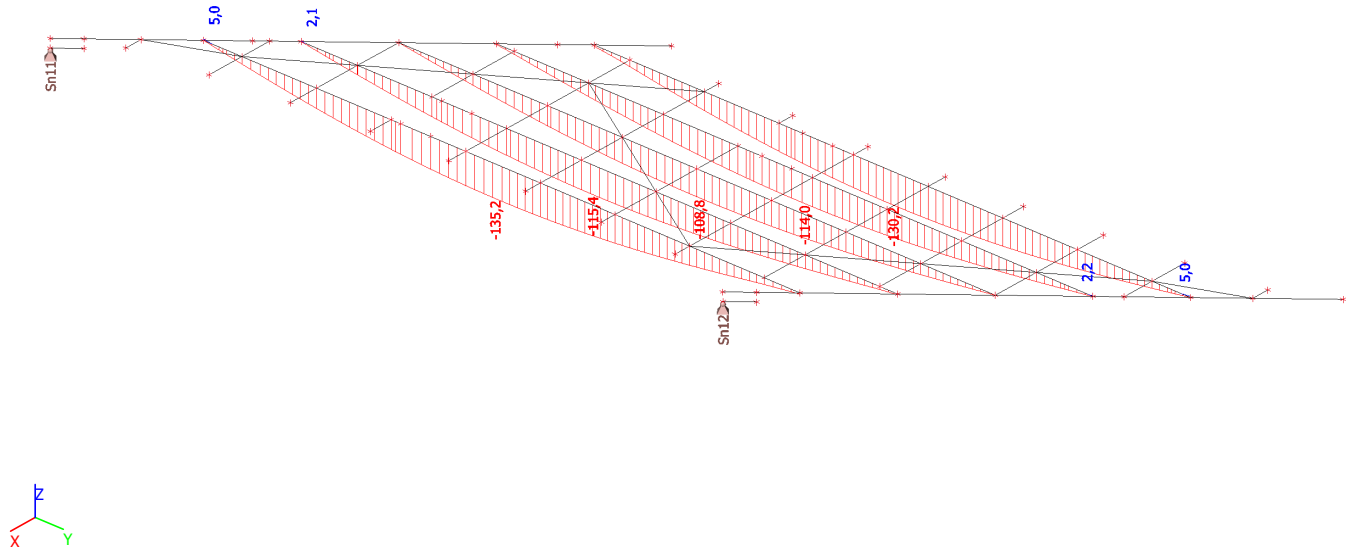
55. Uy, maximale verplaatsing steunpunten SLS



56. Ux, maximale verplaatsingen bij steunpunten



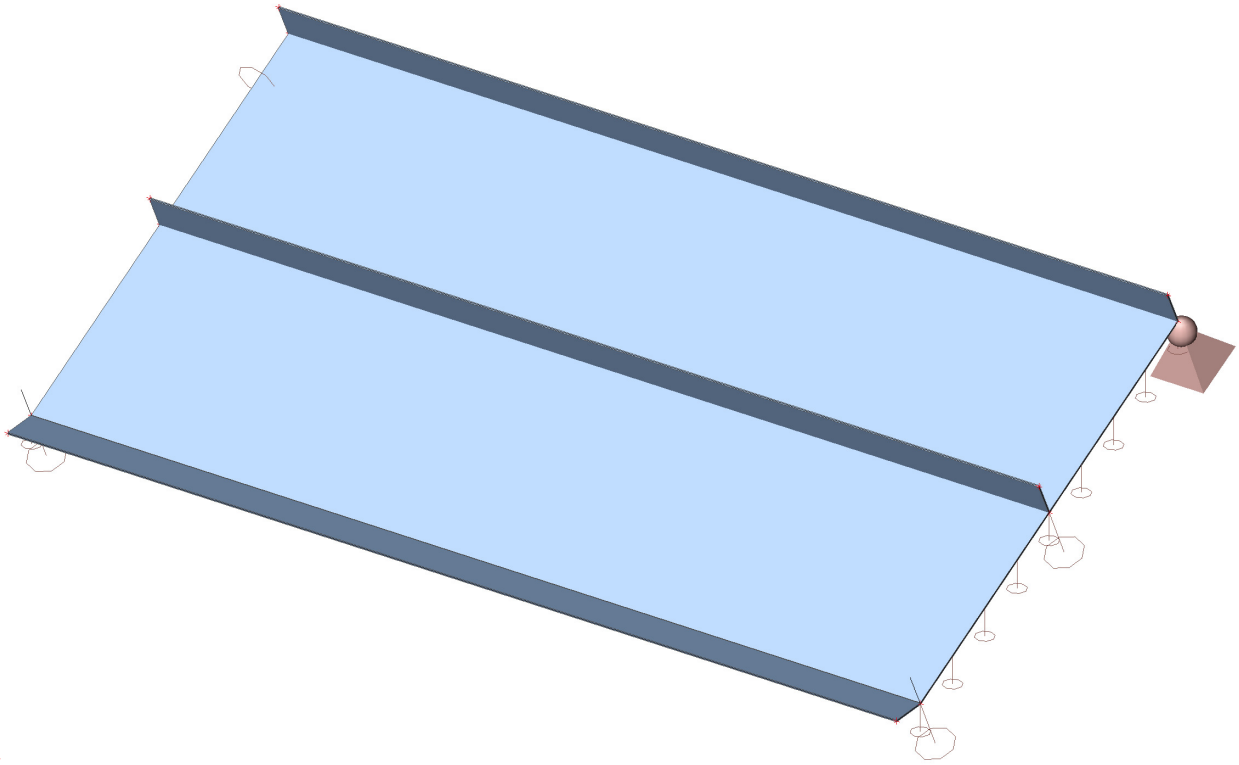
57. Maximale doorbuigingen Uz van alle SLS gevallen



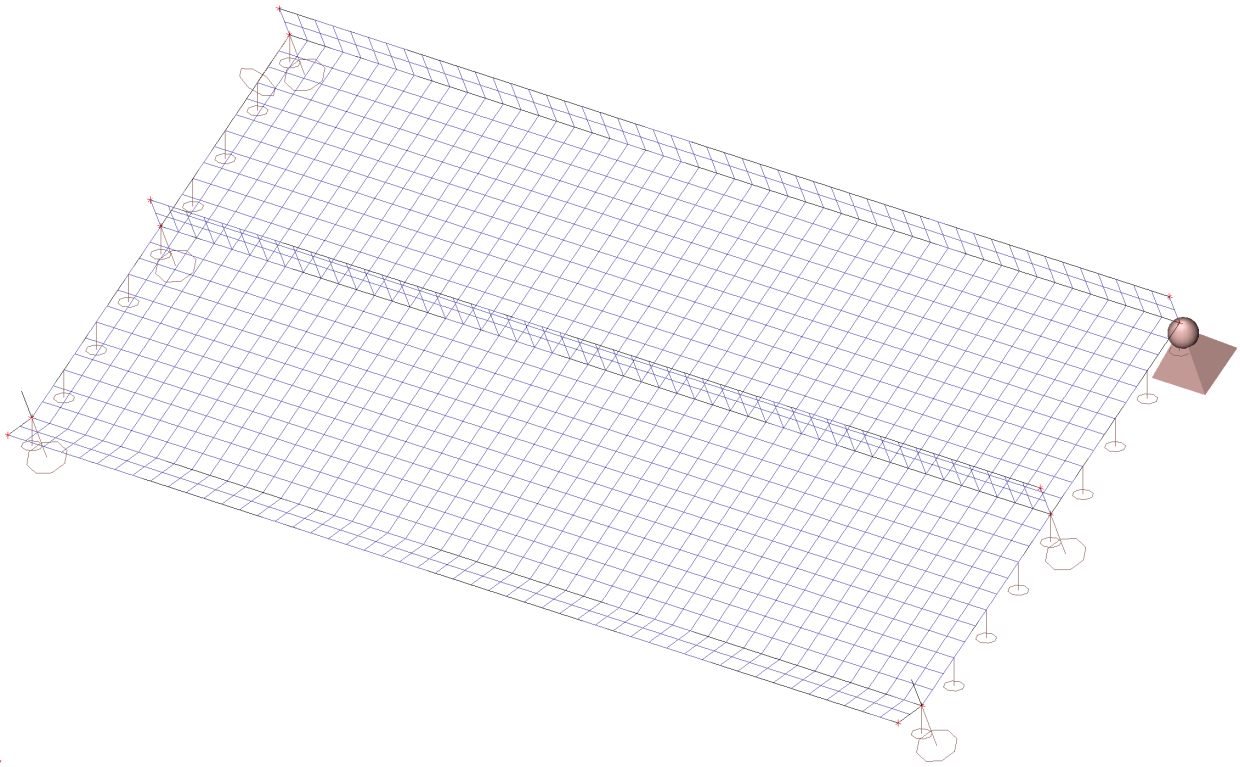
1. Algemene Informatie

Plaatmateriaal 5mm dik
Corten staal, $f_{yud}=355\text{N/mm}^2$
Platen aan de rand 100mm omgezet (Zie ook tek 105-002)
Mesh 50mm

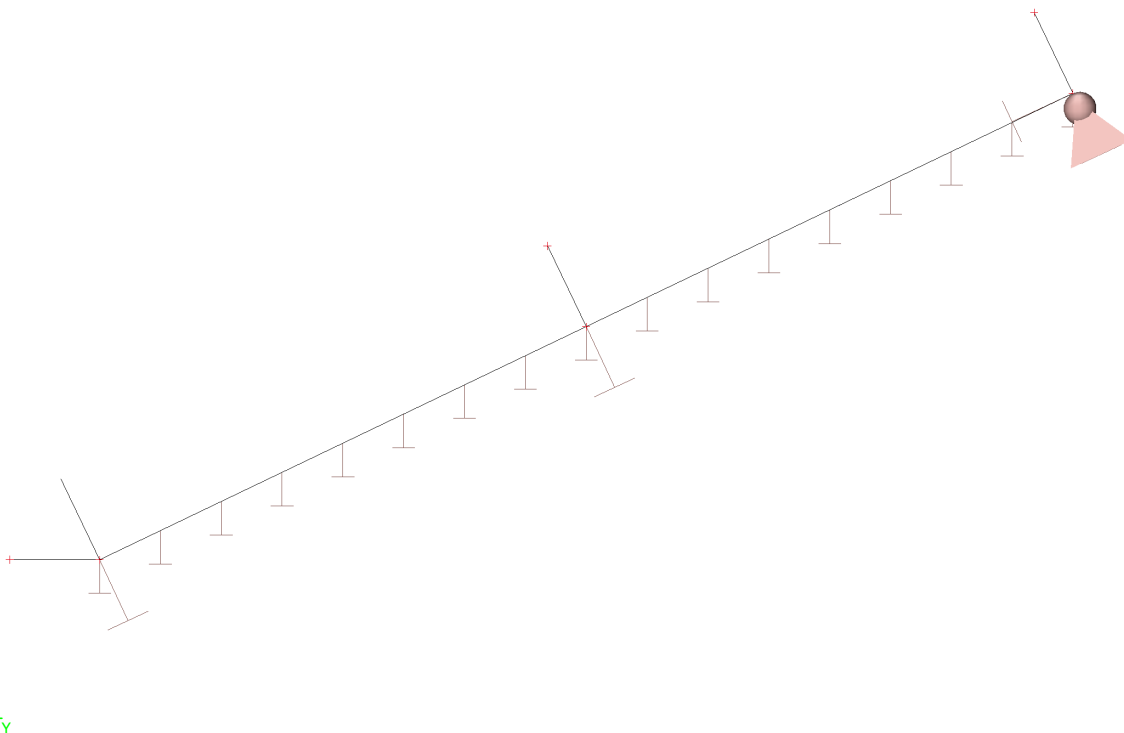
2. Analysis model



3. Analysis model met mesh 50mm



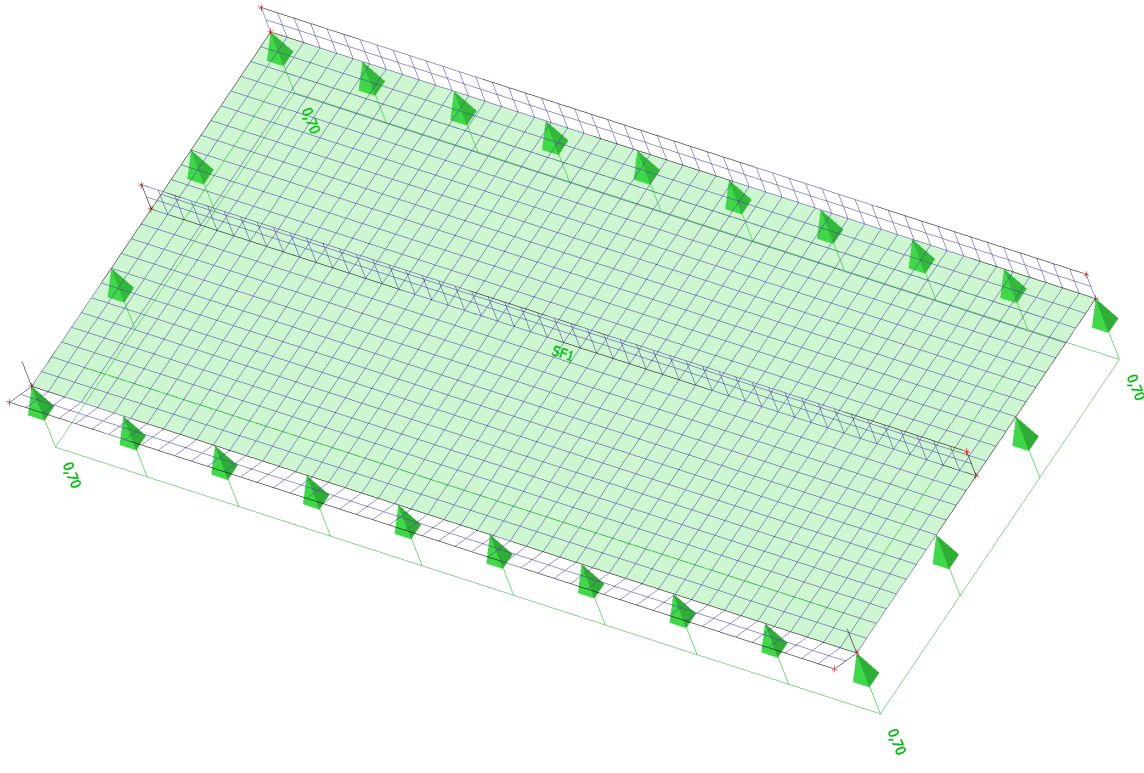
4. Analysis model



5. Wind belasting

$q_p(z) = 0.55 \text{ kN/m}^2$. Aangehouden winddruk belasting $1.2 \times 0.55 = 0.66 \text{ kN/m}^2$, afgerond naar 0.7 kN/m^2 . Windzuiging $0.8 / 1.2 \times 0.7 = 0.47 \text{ kN/m}^2$.

6. LC2 Wind



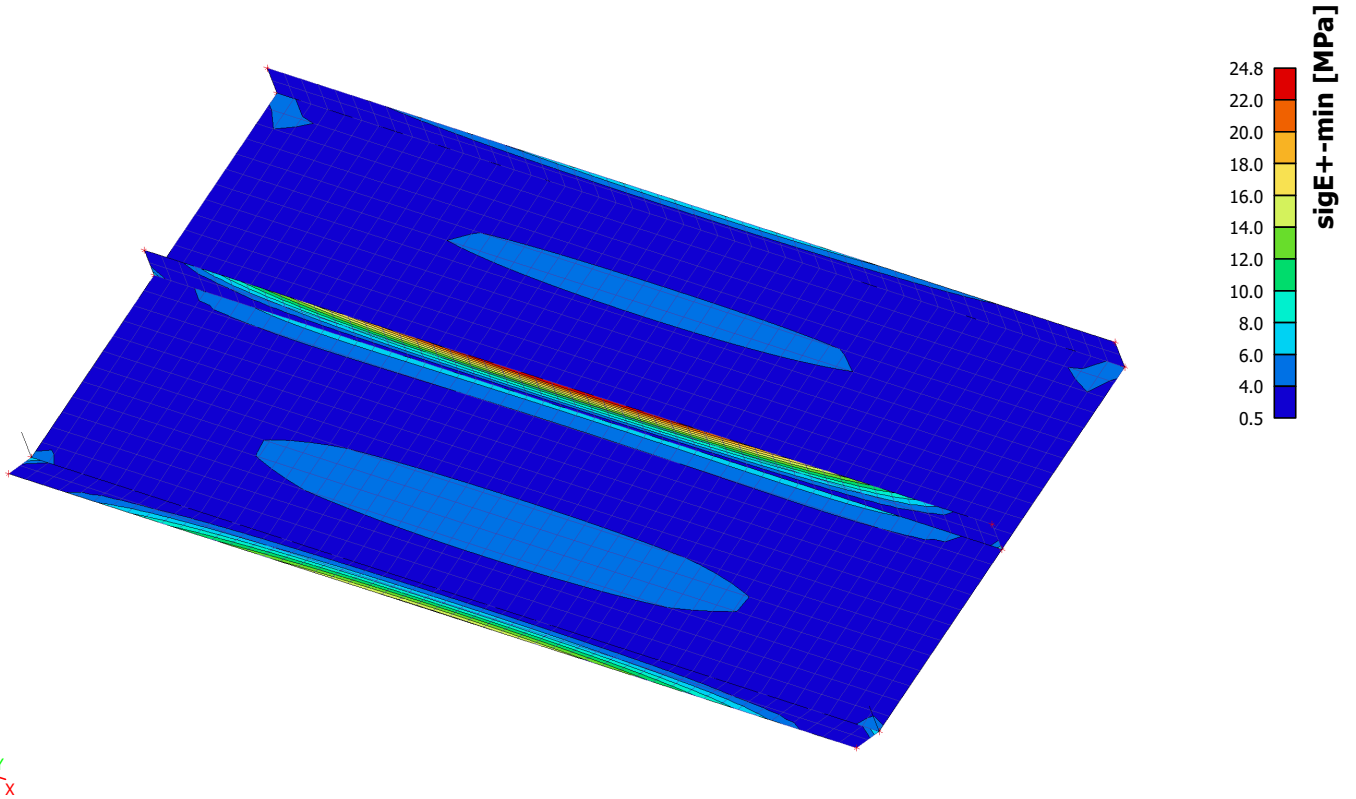
7. Load cases

| Name | Description Spec | Action type Load type | LoadGroup | Direction |
|------|---------------------|--------------------------|-----------|-----------|
| LC1 | | Permanent Self weight | LG1 | -Z |
| LC2 | Wind | Permanent Standard | LG1 | |

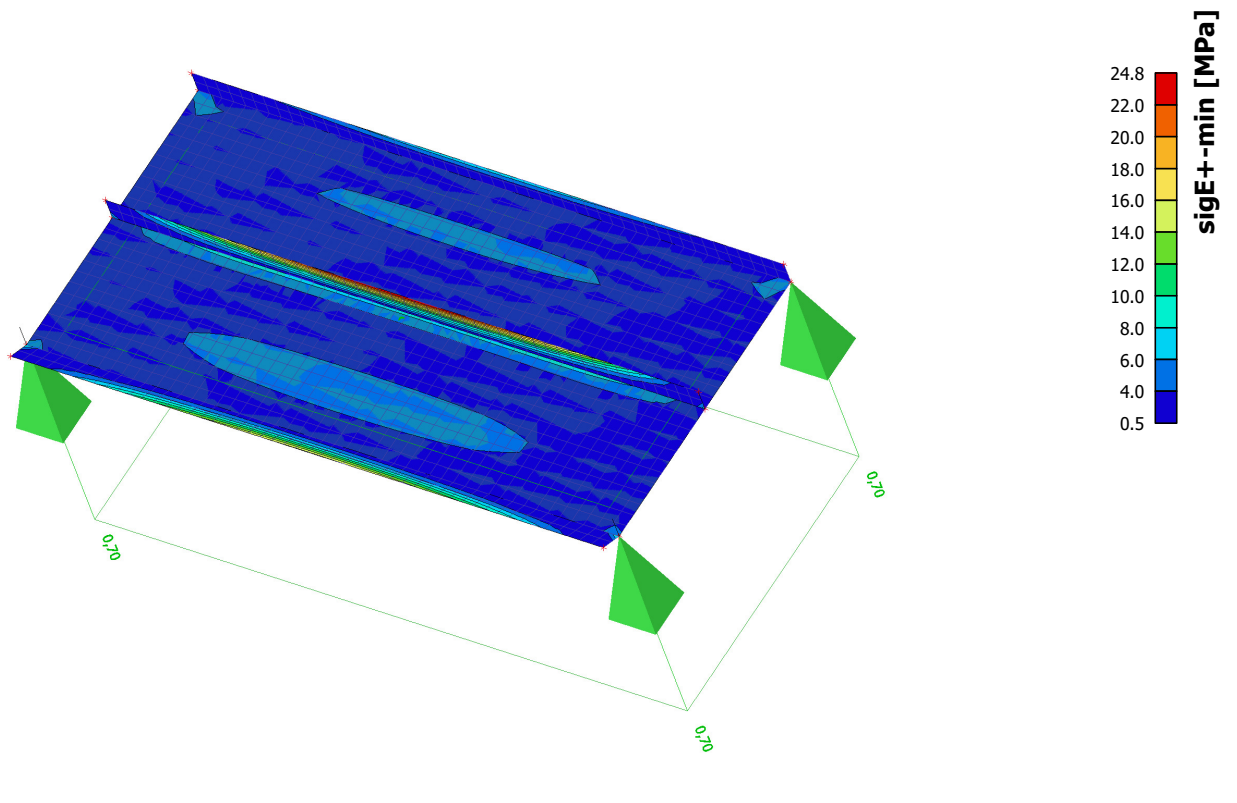
8. Combinations

| Name | Description | Type | Load cases | Coeff. [-] |
|------|-------------|---------------------|------------|---------------|
| CO1 | | Envelope - ultimate | LC1 | 1,00 |
| | | | LC2 - Wind | 1,00 |
| CO2 | | Envelope - ultimate | LC1 | 0,90 |
| | | | LC2 - Wind | 1,50 |
| CO3 | | Envelope - ultimate | LC1 | 1,20 |
| | | | LC2 - Wind | -1,00 |
| CO4 | | Envelope - ultimate | LC1 | 1,00 |
| | | | LC2 - Wind | -0,50 |

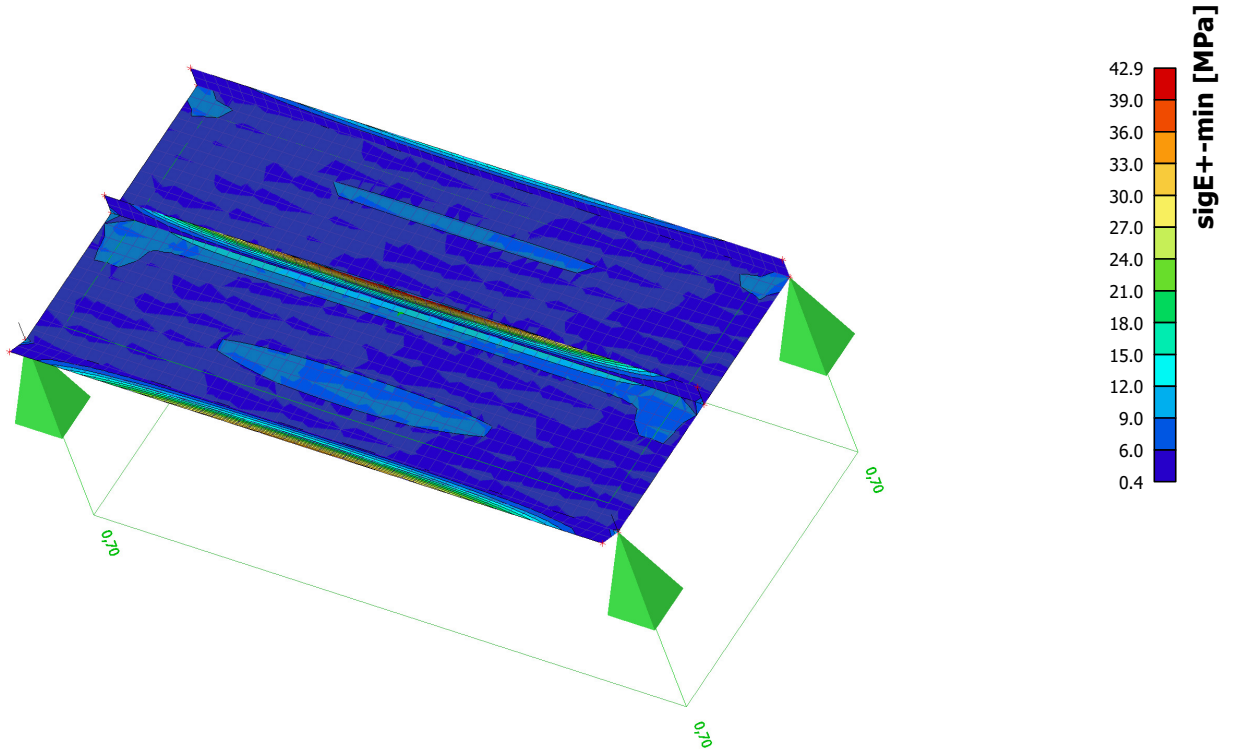
9. Von Mises Stress Eigen Gewicht



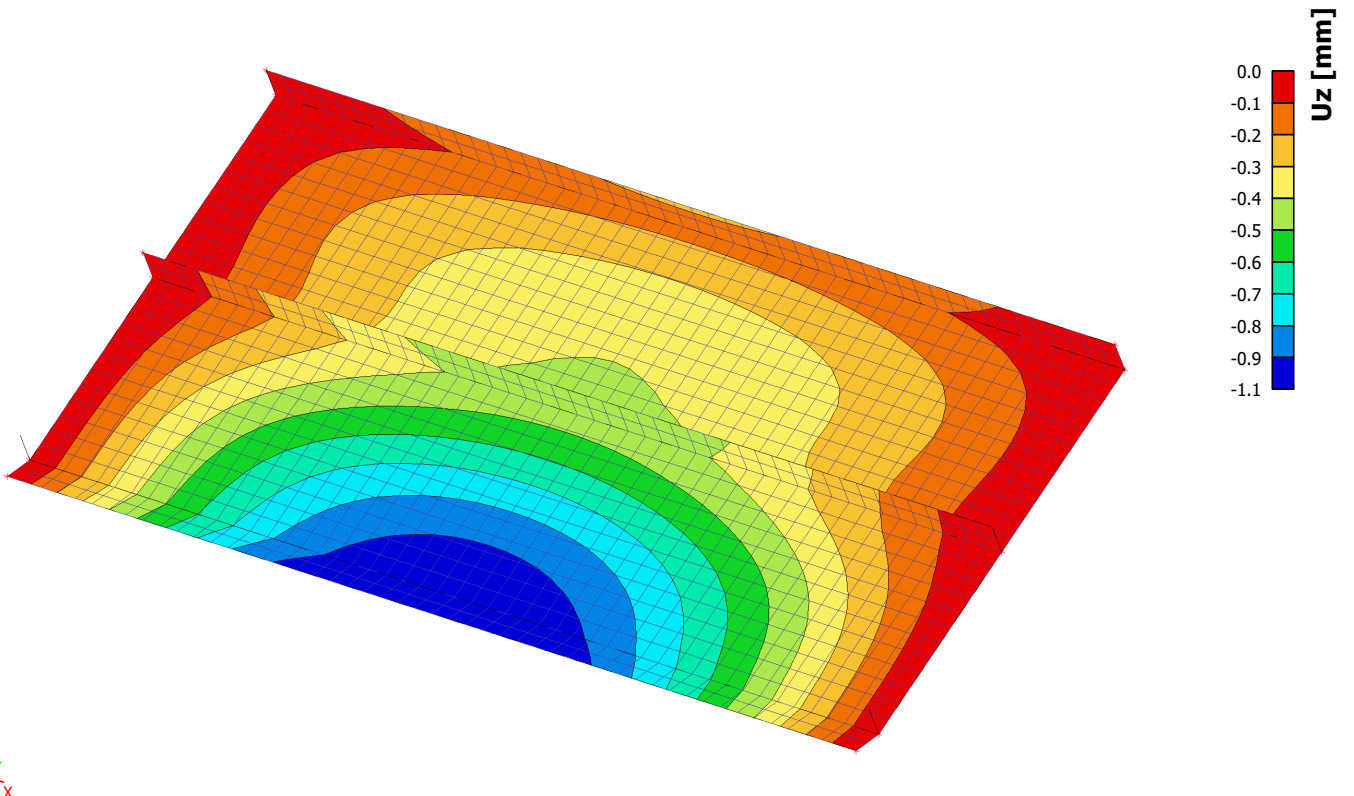
10. Von Mises Stress Combinatie 2

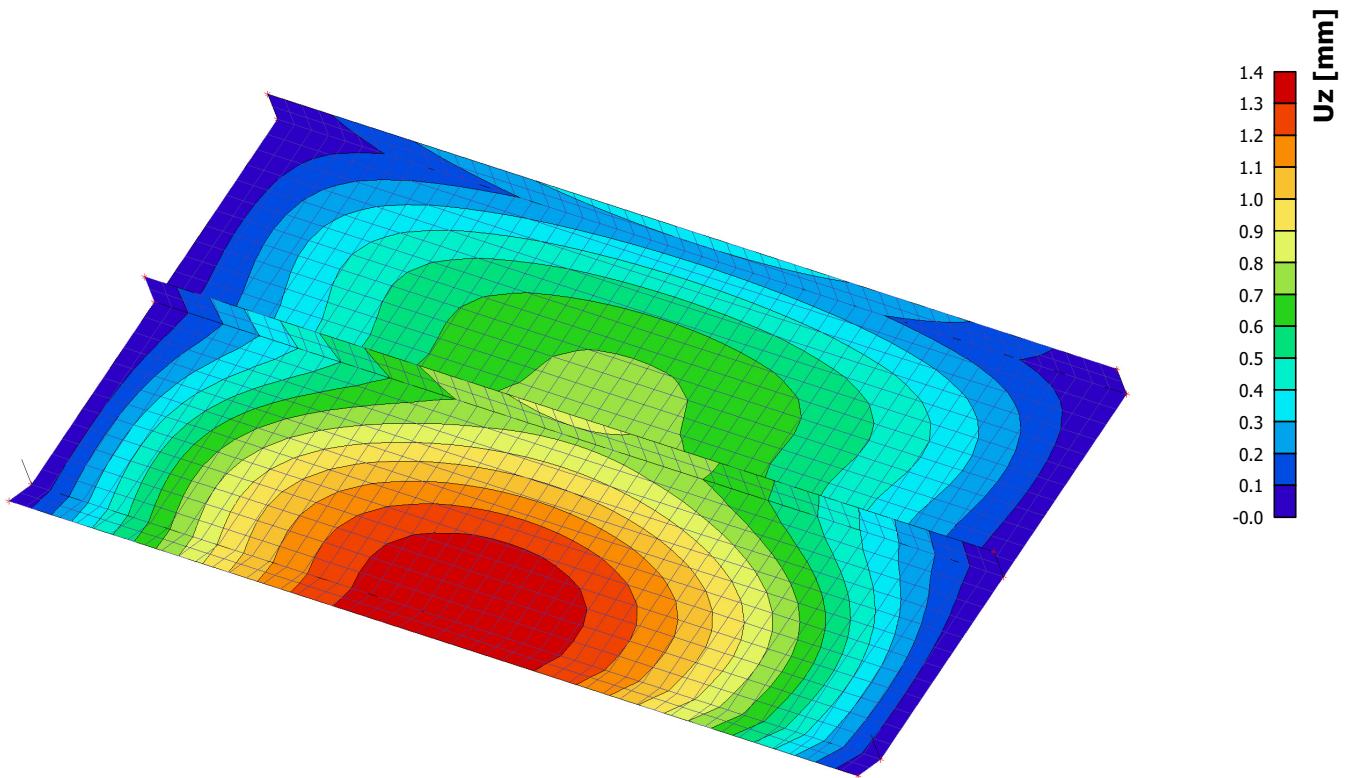


11. Von Misses Stress C03

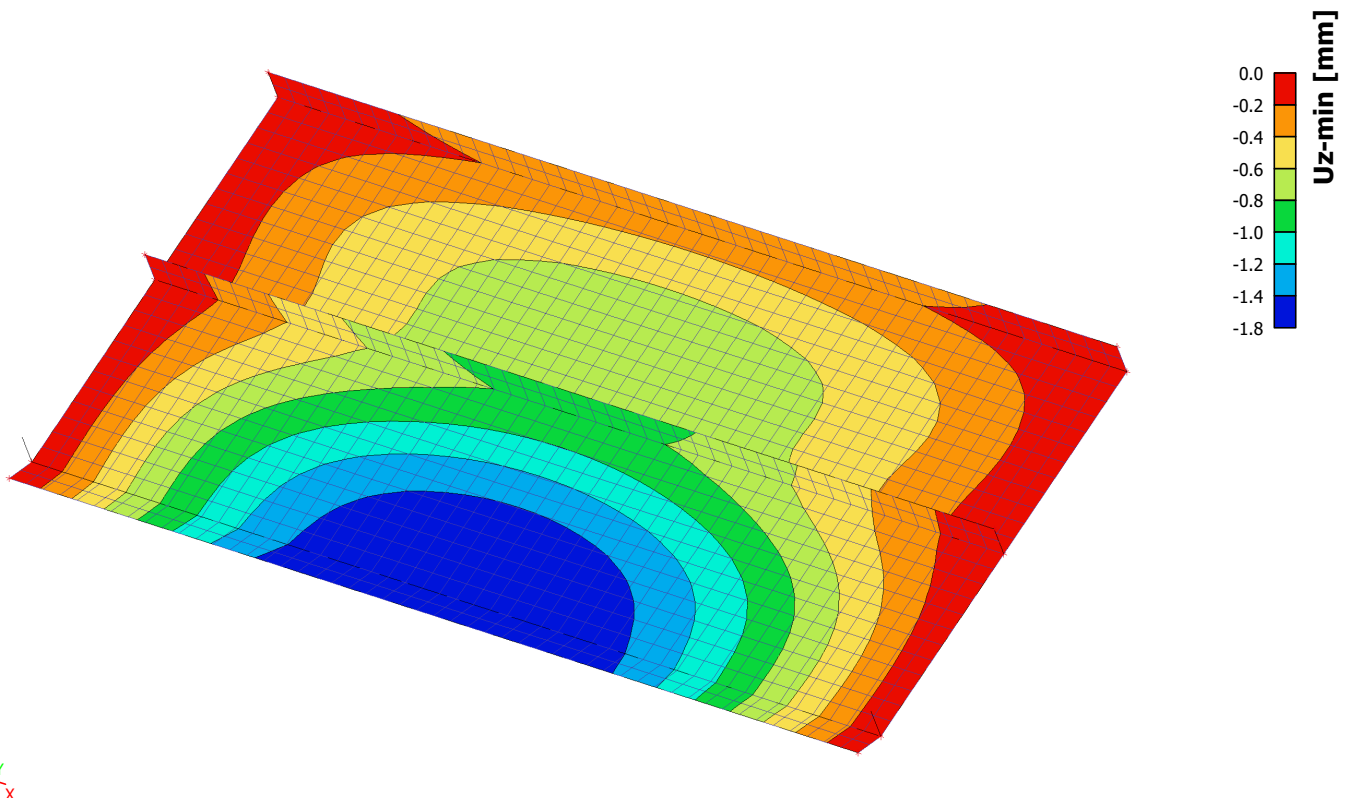


12. Uz in gevolge E.G.

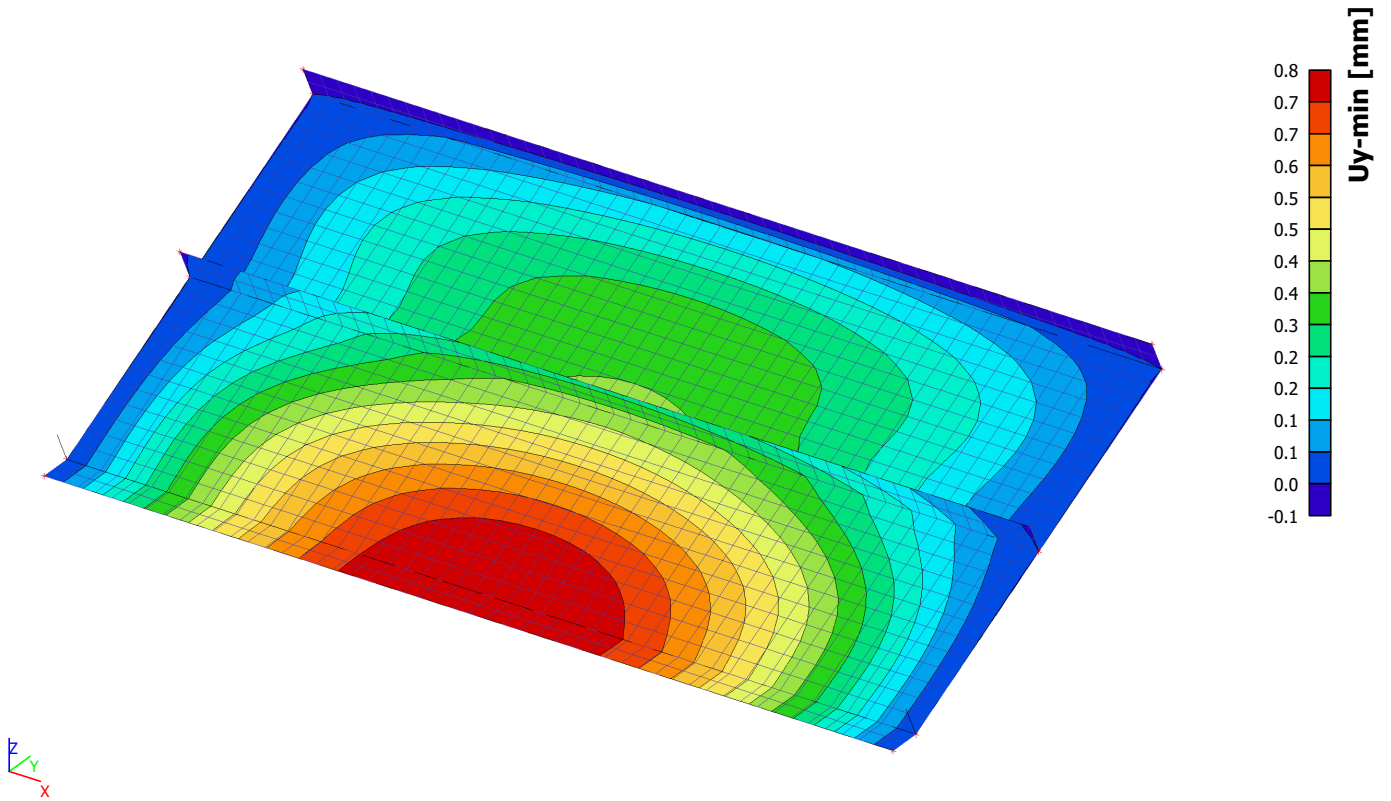




13. U_z door eigen gewicht + wind zuiging



14. Uy door eigen gewicht + wind zuiging



| | | |
|--|--|--|
|  Tel (0)10 - 482 68 50 www.pt-structural.com | Brug Golfbaan Cromvoirts Landgoed BV | Doc.nr. : 009 Rev.nr. : 0 Datum : 06-06-2017 |
| | Jos van den Bersselaar Constructie BV Statische berekening van de Golfbrugconstructie | Pagina : 10 |

Appendix D Detail controles

- D 1 Komt niet voor
- D 2 Verbinding IPE 300 aan opvangbalk HE650A en Balk 3
- D 3 Doorverbinding IPE300, dwarskoppelingen
- D 4 Oplegdetails
- D 5 Aansluiting verbandstaaf HE140A
- D 6 Aansluiting verbandstaaf HE160A
- D 7 Aansluiting HE650A/HE650M op oplegbalk HE650A

| | |
|---------|---------|
| Datum: | 6-06-17 |
| Rev: | 0 |
| Auteur: | DvG |

Betreft: **Golfbrug Cromvoirt, Jos van den Besselaar**

Doorverbinding IPE300 op opvangbalk HE650A en Balk 3

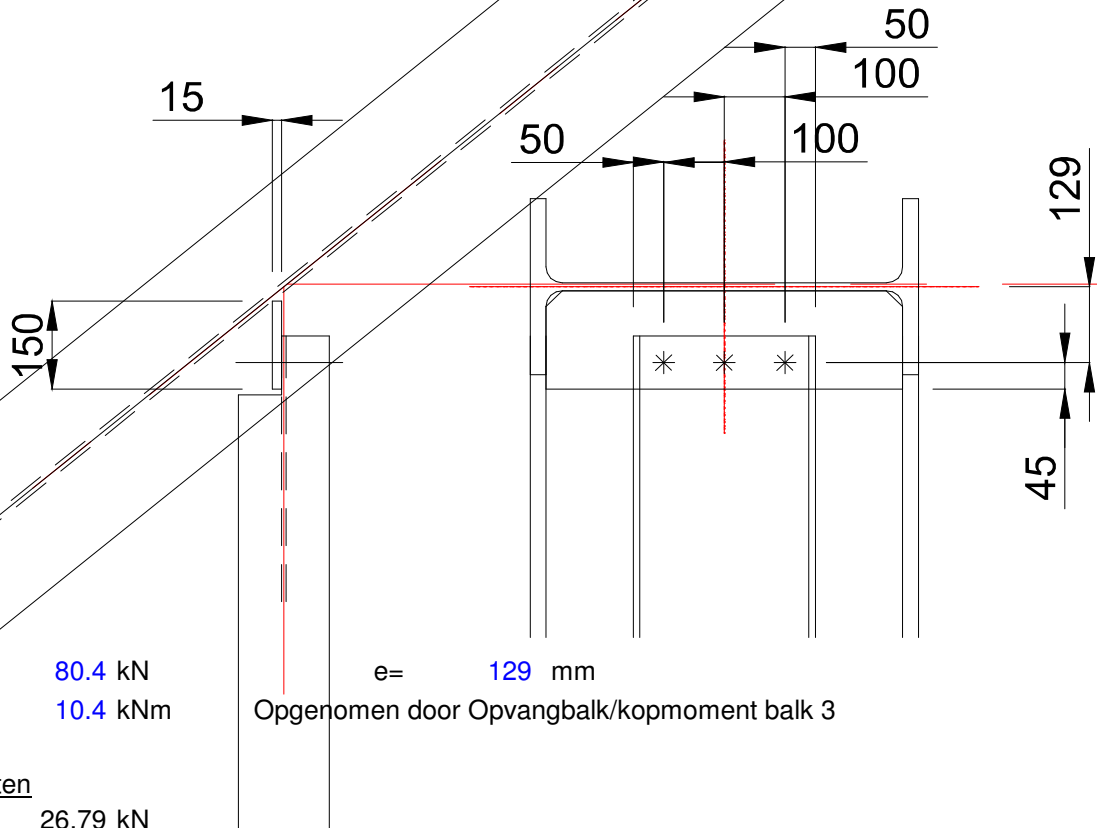
Materiaal **S355**

$f_{y,u;d} = 355 \text{ N/mm}^2$

$E = 210000 \text{ N/mm}^2$

$f_{w,u;d} = 261.7 \text{ N/mm}^2$ Lassen

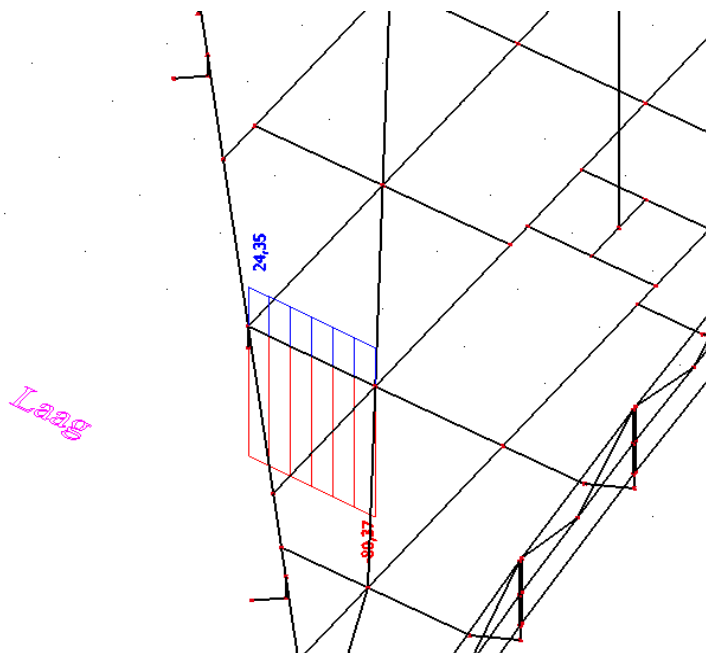
$f_{t,u;d} = 510 \text{ N/mm}^2$



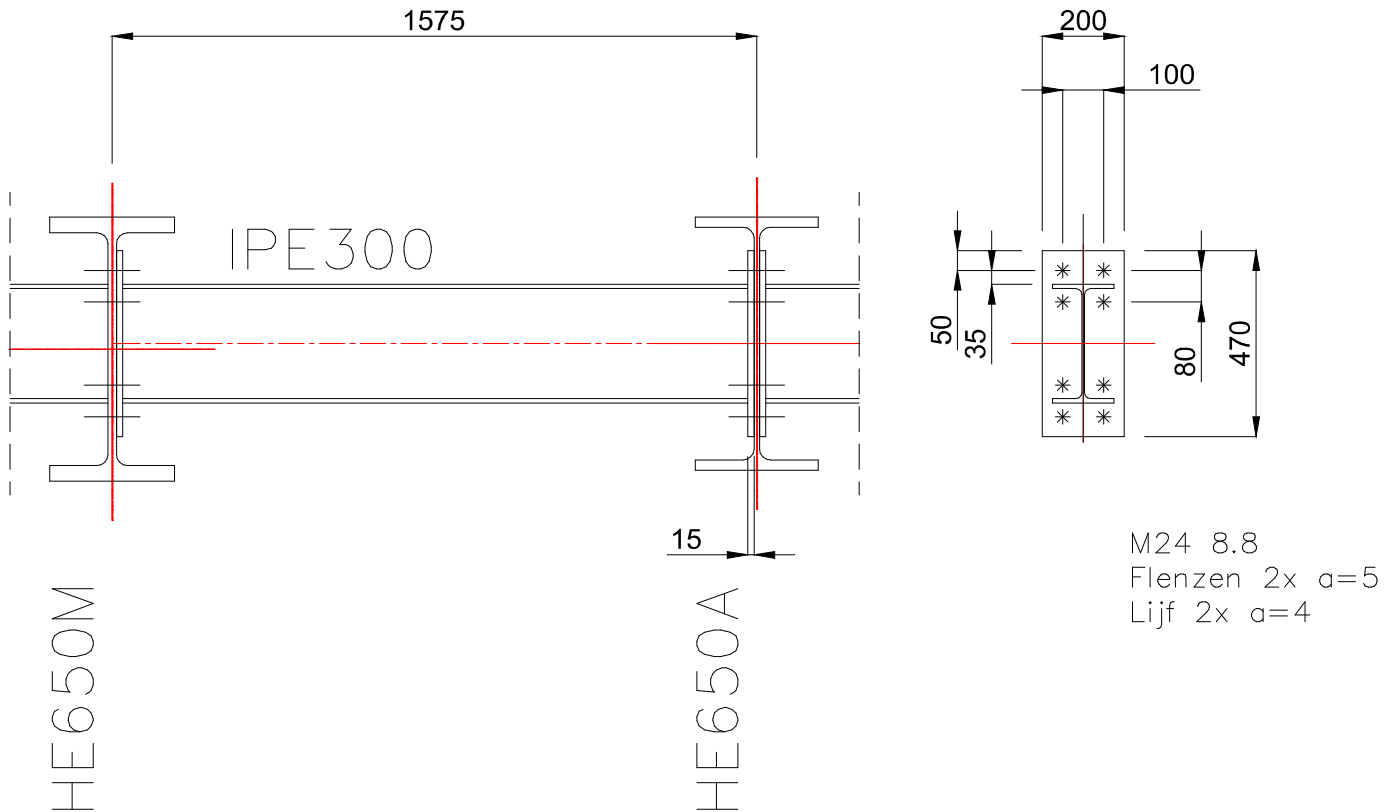
Controle bouten

$V1 = 26.79 \text{ kN}$

Aansluiting praktisch



| | |
|---------|---------|
| Datum: | 6-06-17 |
| Rev: | 0 |
| Auteur: | DvG |

Betreft: **Golfbrug Cromvoirt, Jos van den Besselaar****Doorverbinding IPE300 Dwarskoppelingen**Materiaal **S355**
 $f_{y;u;d} = 355 \text{ N/mm}^2$ $E = 210000 \text{ N/mm}^2$
 $f_{w;u;d} = 261.7 \text{ N/mm}^2$ Lassen $f_{t;u;d} = 510 \text{ N/mm}^2$

 $M_y = 127.8 \text{ kNm}$
 -74.9 kNm
Controle druk/trek doorvoer flenzen
 $N_{ctot} = 441.9 \text{ kN} = M_y / h_{flens}$
Profile **IPE300** $A_{fl} = 16.1 \text{ cm}^2$ $h_{flens} = 289.3 \text{ mm}$ $A_{koppl} = 37.8 \text{ cm}^2$

Gereduceerde opp.

Spanningscontrole bij kopplaat

[N/mm²] $\sigma_{max} = 275.3 = N_{ctot} / A$ $\sigma_{max} = 117.0 = N_{ctot} / A_{koppl}$

| | |
|--------|------|
| U.C. = | 0.78 |
| | 0.33 |

Lassen dubbel hoek 4 praktisch

Controle kopplaat op trek $F_{ttot} = 569.8 \text{ kN}$ $F_{tud} = 551.0 \text{ kN}$

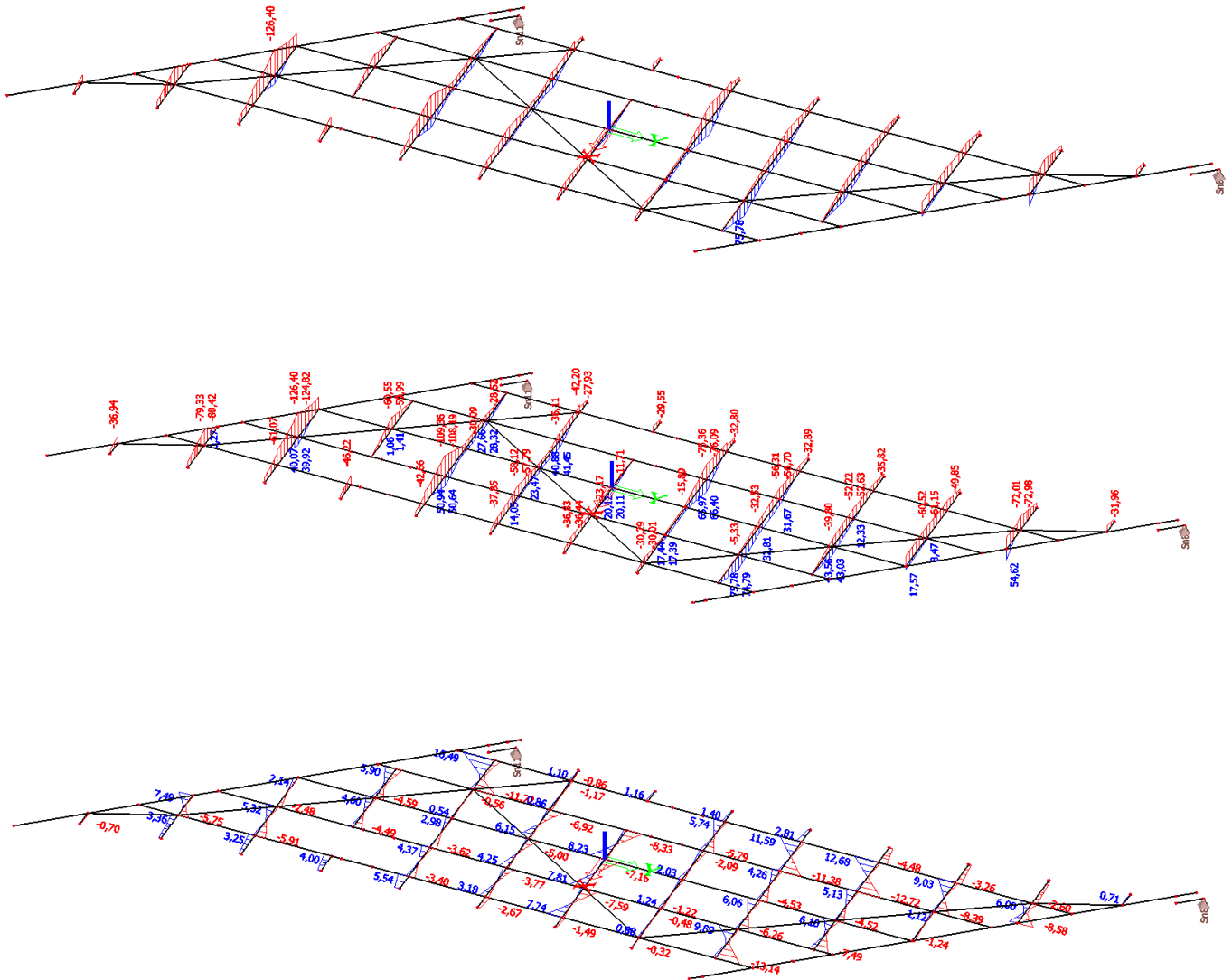
Zie blad B 3.2

| | |
|--------|------|
| U.C. = | 1.03 |
|--------|------|

| | |
|---------|---------|
| Datum: | 6-06-17 |
| Rev: | 0 |
| Auteur: | DvG |

Betreft: **Golfbrug Cromvoirt, Jos van den Besselaar**

Doorverbinding IPE300 Dwarskoppelingen

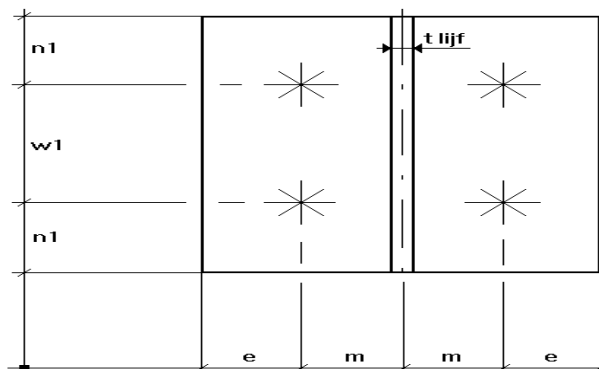


| | |
|---------|---------|
| Datum: | 6-06-17 |
| Rev: | 0 |
| Auteur: | DvG |

Concerns: **Golfbrug Cromvoirt, Jos van den Besselaar**

Equivalent T-Stub in tension (Unstiffened, Double symmetric)

EN 1993-1-8, art 6.2.4



Standard picture

Dimensions of indicative T-Stub

(See figure 6.2 as well)

*** Plate **Kopplaat IPE300**

| | | |
|---------|---------|---------------------------|
| m= | 40 mm | (centre pl- centre hole) |
| e= | 50 mm | (end measure) |
| n1= | 50 mm | (end measure) |
| w1=p= | 100 mm | (distance betw. boltrows) |
| a.weld= | 5 mm | |
| r= | 0 mm | |
| tweb= | 10.7 mm | S355 |
| tpl= | 15 mm | S355 |

| | |
|---------------|-----------------------|
| $f_{y;u;d}$ = | 355 N/mm ² |
| $f_{y;u;d}$ = | 355 N/mm ² |

| | |
|----------|-------------|
| B=Width= | 200.0 mm |
| Leff= | 200.0 mm |
| m1= | 29.0 mm |
| n = | 36.2 mm |
| mp= | 20.0 kNm/mm |

| | |
|----------|----------|
| Fweld= | 641.1 kN |
| Fweb pl= | 759.7 kN |

***BOLTS

| | | |
|-----------|------------|------------------------------|
| Bolt rows | 2 -> | 4 Bolts (amount in total) |
| Bolts | M24 | |
| Quality | 8.8 | (4.6, 5.6, 6.8, 8.8 or 10.9) |

Table 6.2

| | | | |
|--------------|----------|-----------|--------|
| $F_{t;Rd}$ = | 551.0 kN | Plate | Mode 1 |
| $F_{t;Rd}$ = | 573.6 kN | Bolts+pl. | Mode 2 |
| $F_{t;Rd}$ = | 812.1 kN | Bolts | Mode 3 |

Shear $F_{v,Ed}$ **0.0 kN(totaal)**

| | |
|--------------|----------|
| $F_{t;Rd}$ = | 551.0 kN |
|--------------|----------|

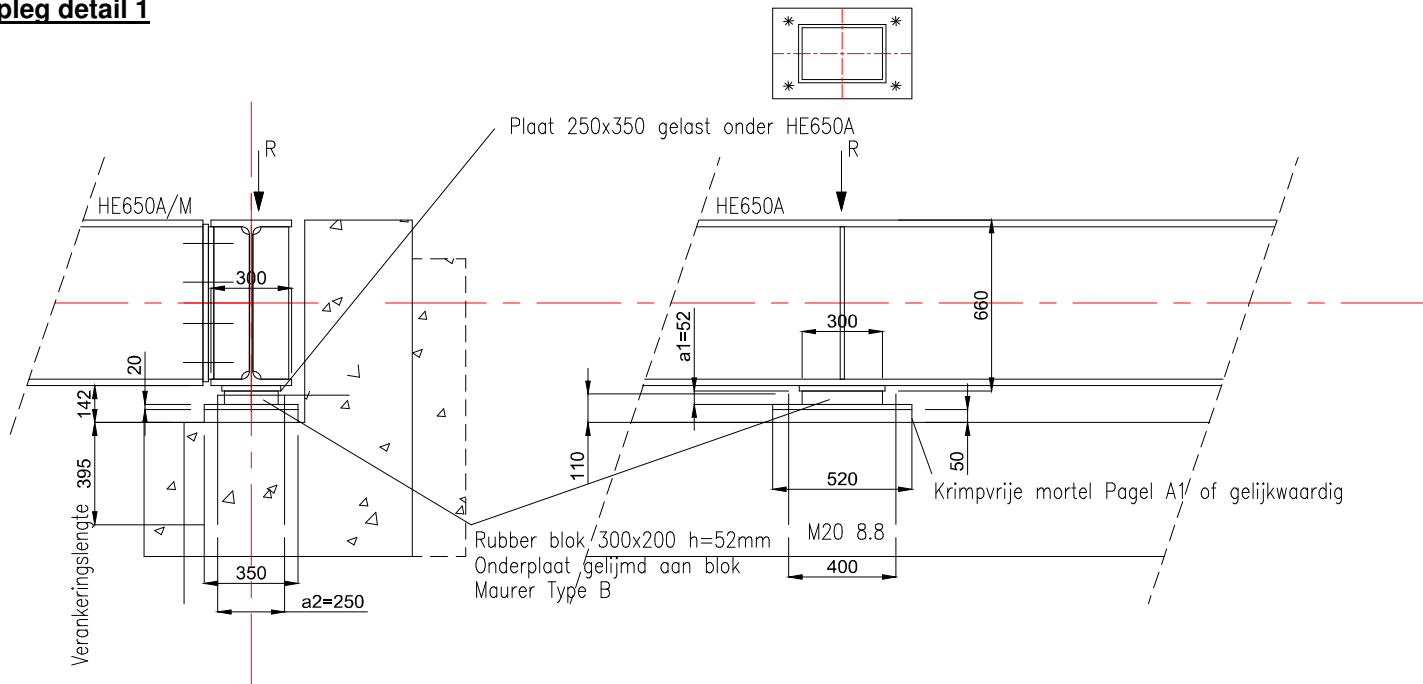
(PLATE decisive)

| | |
|---------|---------|
| Datum: | 6-06-17 |
| Rev: | 0 |
| Auteur: | DvG |

 Betreft: **Golfbrug Cromvoirt, Jos van den Besselaar**
Oplegdetails

Materiaal S355

| | | | |
|---------------|-----------------------|---|--------------------------|
| $f_{y,u;d}$ = | 355 N/mm ² | E= | 210000 N/mm ² |
| $f_{w,u;d}$ = | 262 N/mm ² | (uiterste spanning in de las volgens de EN) | |
| γ_g = | 1.2 LF E.G. | γ_{M1} = | 1.00 |
| γ_v = | 1.5 LF N.B. | | |

Opleg detail 1


Oplegdetail 1, alleen Z-richting

| | | | | |
|-------------------------------------|---------|-----------------|--|---|
| | | a_1 = | 52 mm | |
| Maximale oplegreactie in Z-richting | | H= | 10.0% Aanname wrijving (zeer conservatief) | |
| R= | 538 kN | SLS H= | 53.83 kN | M= 27.99 kNcm =H.a1 |
| Rsd= | 672 kN | ULS H= | 67.23 kN | M= 34.96 kNcm =H.a2 |
| δ_{max} = | 26.5 mm | Uit model | G= | 0.85 Glijdingsmodulus Bij 55°C |
| | | | | 1.00 Glijdingsmodulus Bij 20°C |
| | | | τ = | 4.25 N/mm ² Maximum gecombineerde spanning |
| Afmetingen rubberblok | | Enkele spanning | | |
| b= | 300 mm | σ = | 15 N/mm ² | Toelaatbaar |
| l= | 200 mm | | | |
| h= | 52 mm | | | |
| hmin= | 37.8 mm | | | |
| | | τ_p = | 8.97 N/mm ² | =P/A |

| | |
|---------|---------|
| Datum: | 6-06-17 |
| Rev: | 0 |
| Auteur: | DvG |

 Betreft: **Golfbrug Cromvoirt, Jos van den Besselaar**
Oplegdetails
Rechthoekige opleggingen

| L lengte | B breedte | T dikte | n_r aantal rubber lagen | d rubber laag dikte | t staal plaat dikte | P_{min} | P ($\sigma=15$) | P ($\sigma=20$) | P (ϕ_{max}) | Δ_{max} (incl.omh.) | ϕ (Δ_{max}) |
|-------------|--------------|------------|------------------------------------|------------------------------|------------------------------|-----------|----------------------|----------------------|-----------------------|-------------------------------|------------------------------|
| mm | mm | mm | - | mm | mm | kN | kN | kN | kN | mm | rad |
| 100 | 100 | 14 | 1 | 5 | 2 | 35 | 150 | 200 | 89 | 7.0 | 0.0113 |
| | | 21 | 2 | | | | | | | 10.5 | 0.0215 |
| | | 28 | 3 | | | | | | | 14.0 | 0.0323 |
| 150 | 100 | 14 | 1 | 5 | 2 | 53 | 225 | 300 | 149 | 7.0 | 0.0109 |
| | | 21 | 2 | | | | | | | 10.5 | 0.0215 |
| | | 28 | 3 | | | | | | | 14.0 | 0.0323 |
| 200 | 150 | 14 | 1 | 5 | 2 | 105 | 450 | 600 | 434 | 7.0 | 0.0049 |
| | | 21 | 2 | | | | | | | 10.5 | 0.0096 |
| | | 28 | 3 | | | | | | | 14.0 | 0.0143 |
| | | 35 | 4 | | | | | | | 17.5 | 0.0191 |
| | | 42 | 5 | | | | | | | 21.0 | 0.0239 |
| | | 49 | 6 | | | | | | | 24.5 | 0.0287 |
| 250 | 200 | 19 | 1 | 8 | 3 | 175 | 750 | 1000 | 593 | 9.1 | 0.0070 |
| | | 30 | 2 | | | | | | | 14.7 | 0.0138 |
| | | 41 | 3 | | | | | | | 20.3 | 0.0206 |
| | | 52 | 4 | | | | | | | 25.9 | 0.0275 |
| | | 63 | 5 | | | | | | | 31.5 | 0.0344 |
| 300 | 200 | 19 | 1 | 8 | 3 | 210 | 900 | 1200 | 744 | 9.1 | 0.0070 |
| | | 30 | 2 | | | | | | | 14.7 | 0.0138 |
| | | 41 | 3 | | | | | | | 20.3 | 0.0206 |
| | | 52 | 4 | | | | | | | 25.9 | 0.0275 |
| | | 63 | 5 | | | | | | | 31.5 | 0.0344 |
| 300 | 250 | 19 | 1 | 8 | 3 | 263 | 1125 | 1500 | 1117 | 9.1 | 0.0046 |
| | | 30 | 2 | | | | | | | 14.7 | 0.0091 |
| | | 41 | 3 | | | | | | | 20.3 | 0.0136 |
| | | 52 | 4 | | | | | | | 25.9 | 0.0181 |
| | | 63 | 5 | | | | | | | 31.5 | 0.0226 |

Controle ankers

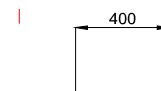
Voor controle zie D 4.3

Aantal ankers 4 a2= 250 mm (tussenmaat ankers/hefboomsarm)

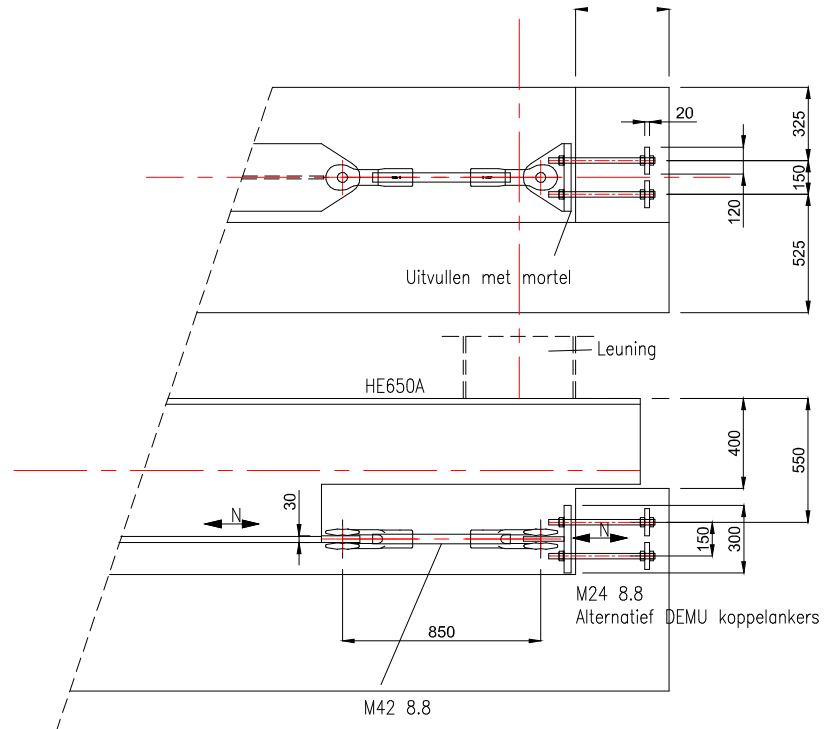
H= 16.81 kN/ anker

Ft= 13.98 kN/ 2 ankers =M/a2

6.99 kN/ anker



| | |
|---------|---------|
| Datum: | 6-06-17 |
| Rev: | 0 |
| Auteur: | DvG |

 Betreft: **Golfbrug Cromvoirt, Jos van den Besselaar**
Oplegdetails
Opleg detail 2


Oplegdetail 2, alleen Dwarsrichting

N= 222.49 kN

In langsrichting van de eindbalk/fundering

4

Gaffels M42, Willemsstang

Material 8.8

 $L_{knik} = 850$ mm

 $\lambda = 81.0$ Buck.curve

A

 $\lambda_{rel} = 1.42$ $\omega_{buc} = 0.41$
CHS

Diameter= 42 mm

 A= 13.85 cm²

Thickness= 21 mm

 I= 15.3 cm⁴

Mass= 10.9 kg/m

i= 10.5 mm

Class. of sect. 1

 $N_{c;u;d} = 360.94$ kN

 $F_{t;u;d} = 886.68$ kN

U.C.= 0.62 druk

U.C.= 0.25 trek

 Bouten/Ankers $F_{trek} = 222.49$ kN/4 ankers

Boutrij 2

4 Bouten in totaal

Bouten M24

Kwaliteit 8.8 (4.6, 5.6, 6.8, 8.8 or 10.9)

| | |
|---------|---------|
| Datum: | 6-06-17 |
| Rev: | 0 |
| Auteur: | DvG |

 Betreft: **Golfbrug Cromvoirt, Jos van den Besselaar**
Oplegdetails

$$A_{b;s} = 352 \text{ mm}^2$$

$$\gamma_{M2} = 1.25$$

$$f_{t;u;d} = 800 \text{ N/mm}^2$$

$$\text{Steeldiameter} = 24 \text{ mm}$$

$$F_{t\text{boutud}} = 203.0 \text{ kN}$$

$$\text{U.C.} = 0.27$$

Ankerplaat/schieter

$$h = 120 \text{ mm}$$

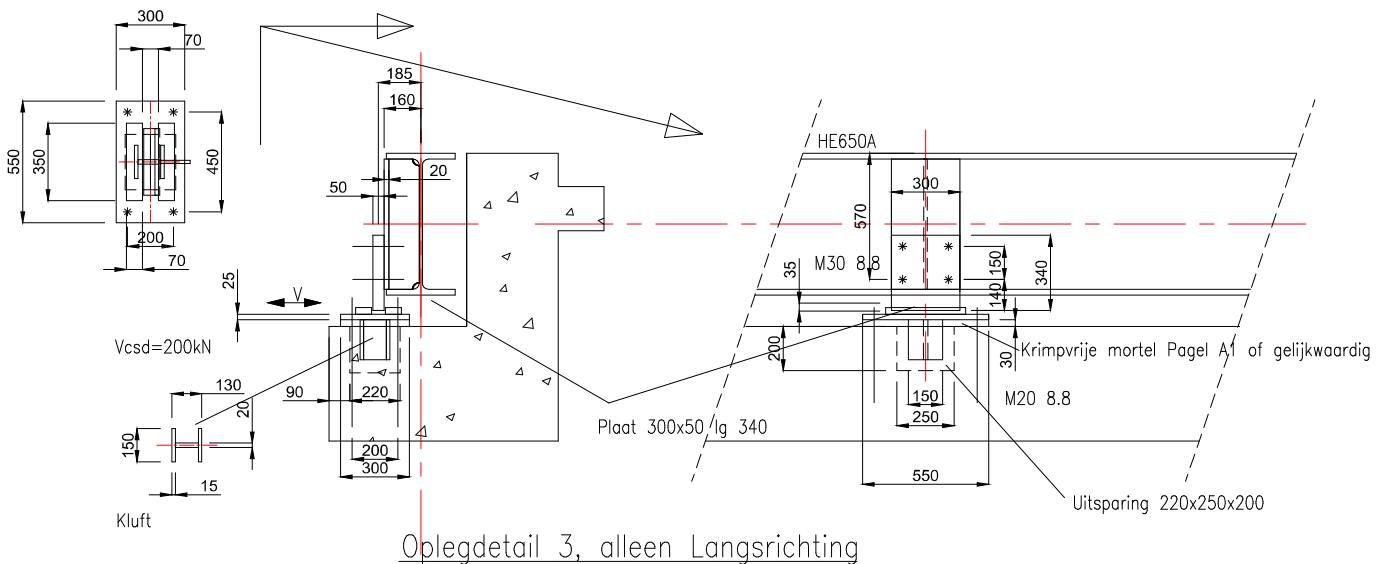
$$A = 144 \text{ cm}^2$$

$$b = 120 \text{ mm}$$

$$f_{cd} = 22.2 \text{ N/mm}^2$$

$$F_{t\text{schieterud}} = 319.7 \text{ kN}$$

$$\text{U.C.} = 0.17$$

Opleg detail 3


$$V_{sd} = 151.49 \text{ kN}$$

Haaks op de eindbalk/fundering

Verbindingsplaat/key

$$h_1 = 140 \text{ mm}$$

$$h_2 = 150 \text{ mm}$$

$$h_{tot} = 290 \text{ mm}$$

$$M_b = 21.21 \text{ kNm}$$

$$b = 300 \text{ mm}$$

$$W_{el} = 125 \text{ cm}^3$$

$$t = 50 \text{ mm}$$

$$\sigma_b = 169.7 \text{ N/mm}^2$$

$$\text{U.C.} = 0.48$$

| | |
|--------|---------|
| Datum: | 6-06-17 |
| Rev: | 0 |
| Auteur | DvG |

 Betreft: **Golfbrug Cromvoirt, Jos van den Besselaar**
Oplegdetails

Bouten $F_{\text{trek}} =$ 292.89 kN/2 bouten
 Boutrij **1** 2 Bouten in totaal
 Bouten **M30**
 Kwaliteit **8.8** (4.6, 5.6, 6.8, 8.8 or 10.9)

$A_{b,s} =$ 561 mm² $\gamma_{M2} =$ 1.25
 $f_{t,u;d} =$ 800 N/mm² Steeldiame 30 mm

| |
|---------------------------------|
| $F_{\text{tboutud}} =$ 322.9 kN |
|---------------------------------|

| |
|-------------|
| U.C. = 0.23 |
|-------------|

| | |
|---------|---------|
| Datum: | 6-06-17 |
| Rev: | 0 |
| Auteur: | DvG |

 Betreft: **Golfbrug Cromvoirt, Jos van den Besselaar**

Colum rectangular baseplate CENTRIC COMPRESSION NEN EN 1993-1-8:2006 + C1:2006, Art. 6.2.5

| | | | | | |
|------------|------------------------|----------------------|--------------------------------|------------------------|-------------------------|
| $d_1 =$ | 400 mm → | Baseplate height (y) | $d_2 =$ | 600 mm | |
| $A_r =$ | 100 mm | | $b_2 =$ | 1050 mm | |
| $b_1 =$ | 350 mm → | Baseplate width (x) | $A_{c0} =$ | 1400 cm ² | |
| $B_r =$ | 1000 mm | | $A_{c1} =$ | 6300 cm ² | |
| $h =$ | 1000 mm → | Height of concrete | $K_b = \sqrt{(A_{c1}/A_{c0})}$ | 2.12 | |
| Concrete | C30/37 | $\beta_j =$ | 0.67 | $f_{jd} =$ | 31.40 N/mm ² |
| $f_{cd} =$ | 22.2 N/mm ² | $F_{Rdu} =$ | 6593.1 kN | EN 1992-1-1+C2:2011, § | |

 PROFILE **K300*200*30**

(centric on baseplate)

 $f_{yud} =$ 235 N/mm²

| | | | | | |
|-----------------|------------|---------------------------|--------------|------------------------|--------|
| $H_{col} =$ | 300 mm --> | (Correspond. with d_1) | $A_{prof} =$ | 256.27 cm ² | |
| $B_{col} =$ | 200 mm --> | (Correspond. with b_1) | | | |
| $T_{web\ bo} =$ | 30 mm | $Y_{buiten} =$ | 50.0 mm | $Y_{bin} =$ | 240 mm |
| $T_{web\ lr} =$ | 30 mm | $X_{buiten} =$ | 75.0 mm | $X_{bin} =$ | 140 mm |

| | | | | | |
|--------------|-----------------------|-----------------|--------------|-----------------|-----------------------|
| $t_{bpl} =$ | 20 mm | | Baseplate | $f_{yud} =$ | 355 N/mm ² |
| $C_x =$ | 38.8 mm | 38.8 mm | $b_{effy} =$ | 107.7 mm | |
| $C_y =$ | 38.8 mm | 38.8 mm | $b_{effx} =$ | 107.7 mm | |
| $Ab_{tot} =$ | 947.4 cm ² | $\gamma_{M0} =$ | 1.00 | $H_{effbplX} =$ | 277.7 mm |
| $F_{C,Rd} =$ | 2974.4 kN | | | $H_{effbplY} =$ | 377.7 mm |

$$F_{Rdu} = A_{c0} \times f_{cd} \times K_b \quad (6.63)$$

$$F_{C,Rd} = \sum f_{jd} \times b_{eff} \times l_{eff} \quad (6.4)$$

$$F_{C,Rd} = 2974.4 \text{ kN}$$

| | |
|---------|---------|
| Datum: | 6-06-17 |
| Rev: | 0 |
| Auteur: | DvG |

Betreft: **Golfbrug Cromvoirt, Jos van den Besselaar****Anker controle voetplaat**

Anchors Art. 6.2.6.12 EN1993-1-8

$F_{tsd} = 7.0$ kN
 $V_{csd} = 16.8$ kN
 Diameter = **M20**
 Thread **1** (0= rolled/1=cut)
 Quality **8.8**

| | | |
|-------------|------|-------------------------|
| U.C.= | 0.04 | $= F_{tsd} / F_{t,u;d}$ |
| U.C.= | 0.56 | $= V_{csd} / F_{c;u;d}$ |
| $A_{b;s} =$ | 3.14 | cm ² |

$f_{ub} = 800$ N/mm² Table 3.1
 $\beta_r = 0.250$

 $\emptyset k = 20$ mm $\alpha_{red2} = 0.6$

NEN 6772 (11.7-12)

 $k_2 = 0.9$

Table 3.4

 $F_{c;u;d} = 30.16$ kN $= \beta_r \cdot \alpha_v \cdot f_{ub} \cdot A_s / \gamma_{M2}$ $F_{t,Rd} = 180.96$ kN $= 0.9 \cdot f_{ub} \cdot A_s / \gamma_{M2}$

EN 1993-1-8:2005

Concrete EN 1992-1-1+C2:2011

 $A_{sreq} = 0.31$ cm² $N_{di} = 18.20$ kN $A_{sreq} = 0.23$ cm²Concrete covering C_d **50** mmConcrete **C30/37** $f_{ctd} = 1.45$ N/mm² (tension) $f_{bd} = 1.63$ N/mm² 8.4.2 (8.2)

| | | |
|-------|------|----------------------|
| U.C.= | 0.10 | $A_{sreq} / A_{b;s}$ |
| U.C.= | 0.04 | F_{tsd} / F_{tud} |
| U.C.= | 0.07 | $A_{sreq} / A_{b;s}$ |

 $\eta_1 = 1.0$ $\eta_2 = 1.0$ $\eta_3 = 0.5$ Not in code used for ribbed or

smooth, according NEN 6720

Anchors **1** (0= ribbed/1=smooth)**1** (0= Straight bar, 1=bended bar) $C_d / \emptyset = 2.50$ $\sigma_{sd} = 22.3$ N/mm² Table 8.2 $l_{b,rqd} = 68.2$ mm. (8.3) $\alpha_1 = 1.0$ $l_{b,min} = 200$ mm. $\alpha_2 = 0.8$ $l_{bd} = 52.9$ mm. (8.4) $\alpha_3 = 1.0$ No reduction $\alpha_4 = 1.0$ Geen opsluiting $\alpha_5 = 1.0$ Geen dwarsdruk

| | | |
|-------------------|-----|----|
| Min. anchorlength | 200 | mm |
|-------------------|-----|----|

Verankeringslengte 395mm

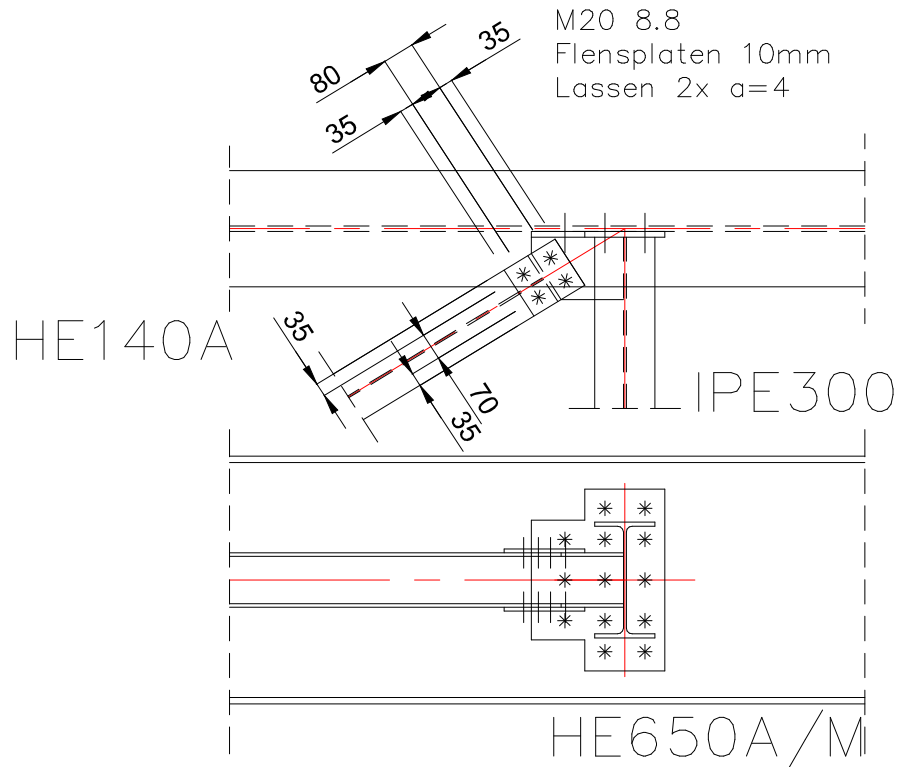
| | |
|---------|---------|
| Datum: | 6-06-17 |
| Rev: | 0 |
| Auteur: | DvG |

Betreft: **Golfbrug Cromvoirt, Jos van den Besselaar**

Aansluiting verbandstaaf HE140A

Materiaal **S355**

$f_{y,u;d} = 355 \text{ N/mm}^2$ $E = 210000 \text{ N/mm}^2$
 $f_{w,u;d} = 261.7 \text{ N/mm}^2$ Lassen $f_{t,u;d} = 510 \text{ N/mm}^2$



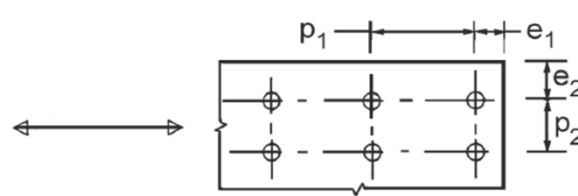
$N_{tsd} = N_{csd} = 352 \text{ kN}$

Controle flensplaten (trek) en bouten

$b = 140 \text{ mm}$
 $t_{fl} = 8.5 \text{ mm}$
 Gat dia = 22 mm
 Bouten 4
 Anetto = 8.16 cm²/plaat $N_{ult} = 579.4 \text{ kN}$

U.C. = 0.61

Bouten



$p1 = 0 \text{ mm (p1)}$ $F_{c,u;d} = 173.4 \text{ kN}$
 $e1 = 35 \text{ mm (e1)}$ $F_{c,u;d} = 92.0 \text{ kN}$
 $p2 = 70 \text{ mm (p2)}$ $F_{c,u;d} = 173.4 \text{ kN (max)}$
 $e2 = 35 \text{ mm (e2)}$ $F_{v,u;d} = 94.0 \text{ kN (bolt, thread)}$

$f_{ub} =$
 Bout **M20** 800 N/mm² $\alpha_v = 0.6$

| | |
|---------|---------|
| Datum: | 6-06-17 |
| Rev: | 0 |
| Auteur: | DvG |

Betreft: **Golfbrug Cromvoirt, Jos van den Besselaar****Aansluiting verbandstaaf HE140A**

| | | | | |
|---------------|------------------------|-----------------------|----------------------|-------------|
| Qual. | 8.8 | $f_u =$ | $\alpha_b = 1.0$ | |
| Material | S355 | 510 N/mm ² | $\alpha_d = 1.000$ | End bolts |
| t= | 8.5 mm, platethickness | | $\alpha_d = 0.530$ | Inner bolts |
| $d_{b,nom} =$ | 20 mm (bolt diameter) | | $\gamma_{m2} = 1.25$ | |
| $d_{o,nom} =$ | 22 mm (hole diameter) | | | |

| | |
|--------------|----------------|
| $F_{b,Rd} =$ | 92.0 kN/bolt |
| $F_{b,Rd} =$ | 367.8 kN total |

| | |
|--------|------|
| U.C. = | 0.96 |
|--------|------|

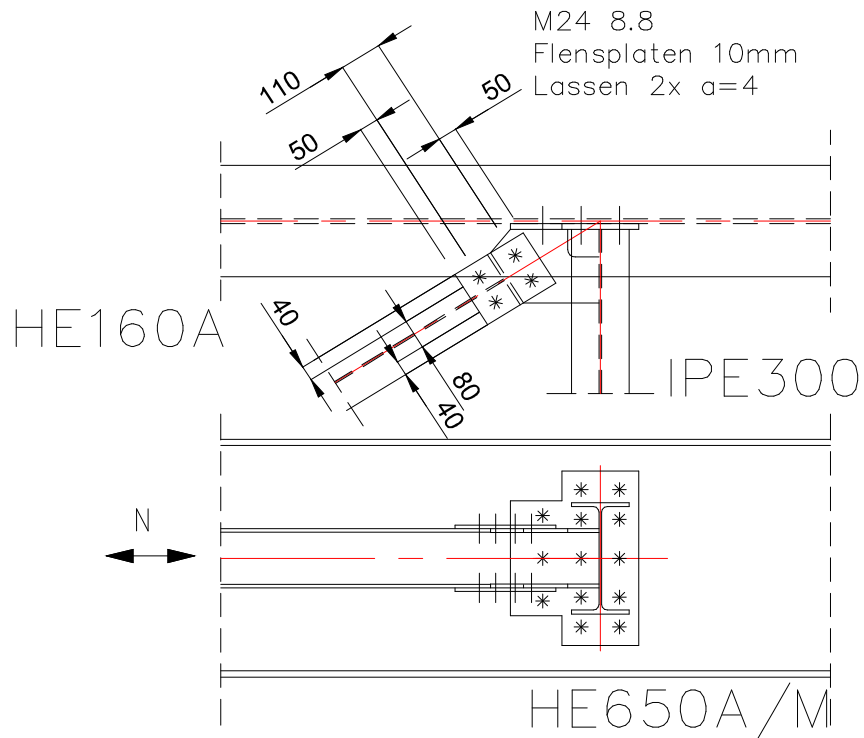
| | |
|---------|---------|
| Datum: | 6-06-17 |
| Rev: | 0 |
| Auteur: | DvG |

Betreft: **Golfbrug Cromvoirt, Jos van den Besselaar**

Aansluiting Verbandstaaf HE160A

Materiaal **S355**

$f_{y,u;d} = 355 \text{ N/mm}^2$ $E = 210000 \text{ N/mm}^2$
 $f_{w,u;d} = 261.7 \text{ N/mm}^2$ Lassen $f_{t,u;d} = 510 \text{ N/mm}^2$



$N_{tsd} = N_{csd} = 425 \text{ kN}$

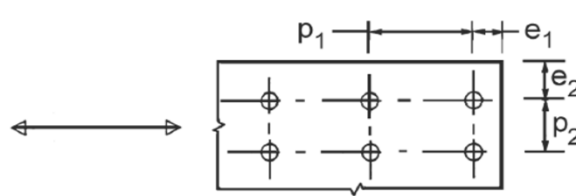
Controle flensplaten (trek) en bouten

$b = 160 \text{ mm}$
 $t_{fl} = 9 \text{ mm}$
 Gat dia = 26 mm
 Bouten 4
 Anetto = 9.72 cm²/plaat

$N_{ult} = 690.1 \text{ kN}$

U.C. = 0.62

Bouten



$p1 = 0 \text{ mm (p1)}$ $F_{c,u;d} = 220.3 \text{ kN}$
 $e1 = 50 \text{ mm (e1)}$ $F_{c,u;d} = 141.2 \text{ kN}$
 $p2 = 80 \text{ mm (p2)}$ $F_{c,u;d} = 220.3 \text{ kN (max)}$
 $e2 = 40 \text{ mm (e2)}$ $F_{v,u;d} = 135.4 \text{ kN (bolt, thread)}$

$f_{ub} =$
 Bout **M24** 800 N/mm² $\alpha_v = 0.6$

| | |
|---------|---------|
| Datum: | 6-06-17 |
| Rev: | 0 |
| Auteur: | DvG |

Betreft: **Golfbrug Cromvoirt, Jos van den Besselaar****Aansluiting Verbandstaaf HE160A**

| | | | | |
|---------------|-----------------------|-----------------------|----------------------|-------------|
| Qual. | 8.8 | $f_u =$ | $\alpha_b = 1.0$ | |
| Material | S355 | 510 N/mm ² | $\alpha_d = 1.000$ | End bolts |
| t= | 9 mm, platethickness | | $\alpha_d = 0.641$ | Inner bolts |
| $d_{b,nom} =$ | 24 mm (bolt diameter) | | $\gamma_{m2} = 1.25$ | |
| $d_{o,nom} =$ | 26 mm (hole diameter) | | | |

| | |
|--------------|----------------|
| $F_{b,Rd} =$ | 135.4 kN/bolt |
| $F_{b,Rd} =$ | 541.4 kN total |

| | |
|-------|------|
| U.C.= | 0.78 |
|-------|------|

| | |
|---------|---------|
| Datum: | 6-06-17 |
| Rev: | 0 |
| Auteur: | DvG |

Betreft: **Golfbrug Cromvoirt, Jos van den Besselaar****Aansluiting Vloerbalk HE650A/HE650M op oplegbalk HE650A**Materiaal **S355**

$f_{y;u;d} = 355 \text{ N/mm}^2$

$E = 210000 \text{ N/mm}^2$

$f_{w;u;d} = 261.7 \text{ N/mm}^2$ Lassen

$f_{t;u;d} = 510 \text{ N/mm}^2$

$N_{tsd} = 130 \text{ kN}$

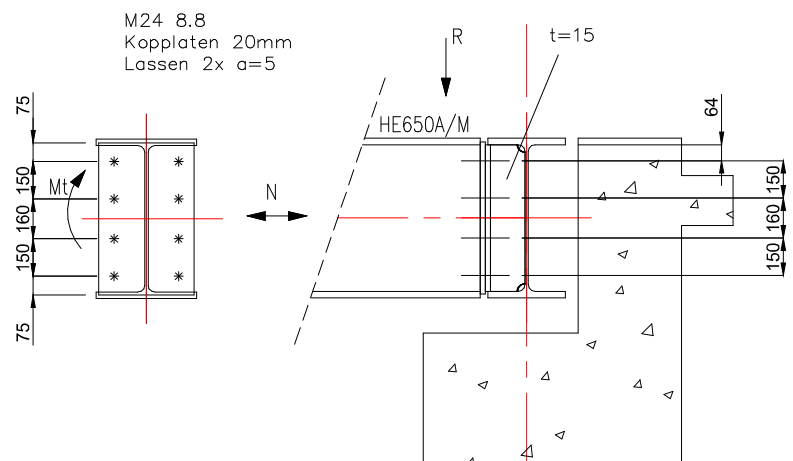
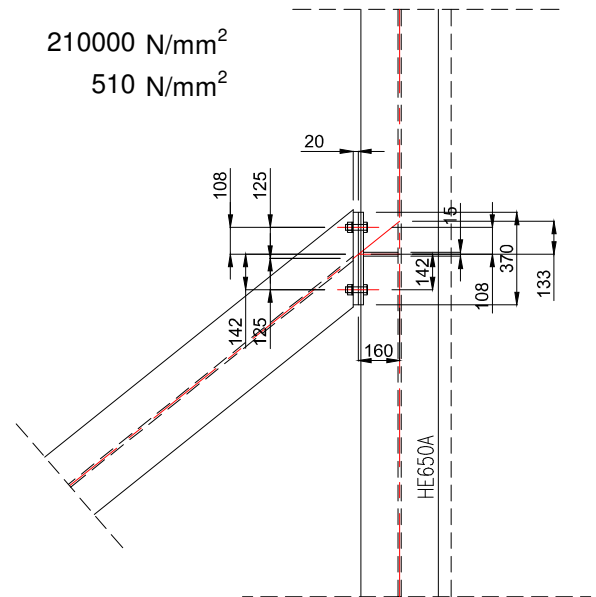
$R_{zsd} = 525 \text{ kN}$

$a_1 = 160 \text{ mm}$

$a_2 = 133 \text{ mm}$

$M_{y;verbsd} = 84.0 \text{ kNm}$

$M_{t;verbsd} = 69.8 \text{ kNm}$

Controle bouten en kopplaat

1) Afschuiving bouten

AANTAL BOUTEN=

8

VERT. KRACHT=

525 kN (OMHOOG = POSITIEF)

HORZ. KRACHT=

0 kN (RECHTS = POSITIEF)

MOMENT=

69.8 kNm (RECHTSOM = POSITIEF)



Boelewerf 22
Tel.

2987VD Ridderkerk
(+31) 10 - 4826850

| | |
|---------|---------|
| Datum: | 6-06-17 |
| Rev: | 0 |
| Auteur: | DvG |

Betreft: **Golfbrug Cromvoirt, Jos van den Besselaar**

Aansluiting Vloerbalk HE650A/HE650M op oplegbalk HE650A

ZWAARTEPUNT

$$\begin{aligned}
 X &= 17 \text{ mm} & (x^2) &= 125000 \text{ mm}^2 \\
 Y &= -294 \text{ mm} & (y^2) &= 237200 \text{ mm}^2 \\
 & & (x^2+y^2) &= 362200 \text{ mm}^2
 \end{aligned}$$

| BOUW | X | Y | X T.O.V. ZWP | Y T.O.V. ZWP | x ² | y ² | Fv | Fh | Fr |
|------|------|------|--------------------|--------------------|----------------|----------------|-------|--------|--------|
| 1 | -108 | -64 | -125 | 230 | 15625 | 52900 | 89.72 | 44.34 | 100.08 |
| 2 | -108 | -214 | -125 | 80 | 15625 | 6400 | 89.72 | 15.42 | 91.04 |
| 3 | -108 | -374 | -125 | -80 | 15625 | 6400 | 89.72 | -15.42 | 91.04 |
| 4 | -108 | -524 | -125 | -230 | 15625 | 52900 | 89.72 | -44.34 | 100.08 |
| 5 | 142 | -64 | 125 | 230 | 15625 | 52900 | 41.53 | 44.34 | 60.75 |
| 6 | 142 | -214 | 125 | 80 | 15625 | 6400 | 41.53 | 15.42 | 44.30 |
| 7 | 142 | -374 | 125 | -80 | 15625 | 6400 | 41.53 | -15.42 | 44.30 |
| 8 | 142 | -524 | 125 | -230 | 15625 | 52900 | 41.53 | -44.34 | 60.75 |
| 9 | 0 | 0 | 0 | 0 | 0 | 0 | 0.00 | 0.00 | 0.00 |
| 10 | 0 | 0 | 0 | 0 | 0 | 0 | 0.00 | 0.00 | 0.00 |

[kN]
Afschuiving Bout 7+8 105.05

2) Trek bouten

| Trek | S= [cm] | I= [cm ²] | Ft= [kN/rij] | |
|------|------------|--------------------------|-----------------|----------|
| a1= | 6 | 36 | 11.08 | Bout 1+2 |
| a2= | 21 | 441 | 38.77 | Bout 3+4 |
| a3= | 37 | 1369 | 68.31 | Bout 5+6 |
| a4= | 52 | 2704 | 96.00 | Bout 7+8 |
| | 116 | 4550 | 214.15 | |

$$\begin{aligned}
 F_{tsd} &= 96.00 \text{ kN} \\
 V_{zsd} &= 105.05 \text{ kN}
 \end{aligned}$$

Zie B 7.2

$$\begin{aligned}
 F_{tud} &= 183.44 \text{ kN 1)} \\
 \text{U.C.} &= 0.52
 \end{aligned}$$

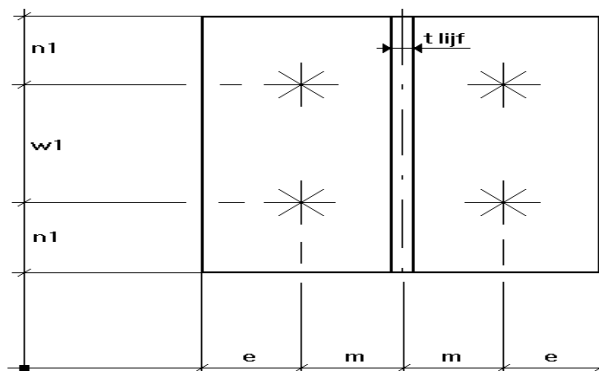
1) = grenstrekkkracht van 2e boutrij. Onderste boutrij heeft hogere capaciteit

| | |
|---------|---------|
| Datum: | 6-06-17 |
| Rev: | 0 |
| Auteur: | DvG |

Concerns: **Golfbrug Cromvoirt, Jos van den Besselaar**

Equivalent T-Stub in tension (Unstiffened, Double symmetric)

EN 1993-1-8, art 6.2.4



Standard picture

Dimensions of indicative T-Stub

(See figure 6.2 as well)

*** Plate **Kopplaat HE650A/HE650M**

| | | | |
|---------|---------------------------------|---------------|-----------------------|
| m= | 125 mm (centre pl- centre hole) | B=Width= | 150.0 mm |
| e= | 60 mm (end measure) | Leff= | 150.0 mm |
| n1= | 75 mm (end measure) | m1= | 111.8 mm |
| w1=p= | 0 mm (distance betw. boltrows) | n = | 60.0 mm |
| a.weld= | 5 mm | mp= | 35.5 kNm/mm |
| r= | 0 mm | | |
| tweb= | 15.0 mm S355 | $f_{y;u;d}$ = | 355 N/mm ² |
| tpl= | 20 mm S355 | $f_{y;u;d}$ = | 355 N/mm ² |
| | | Fweld= | 463.3 kN |
| | | Fweb pl= | 777.8 kN |

***BOLTS

| | | |
|-----------|---|---------------------------|
| Bolt rows | 1 -> | 2 Bolts (amount in total) |
| Bolts | M24 | |
| Quality | 8.8 (4.6, 5.6, 6.8, 8.8 or 10.9) | |

Shear $F_{v,Ed}$ = **105.0 kN(totaal)**

| | | | |
|--------------|----------|-----------|-----------|
| $F_{t;Rd}$ = | 190.4 kN | Plate | Table 6.2 |
| $F_{t;Rd}$ = | 183.4 kN | Bolts+pl. | Mode 2 |
| $F_{t;Rd}$ = | 347.9 kN | Bolts | Mode 3 |

| | |
|--------------|-----------------|
| $F_{t;Rd}$ = | 183.4 kN |
|--------------|-----------------|

(BOLTS+P decisive)